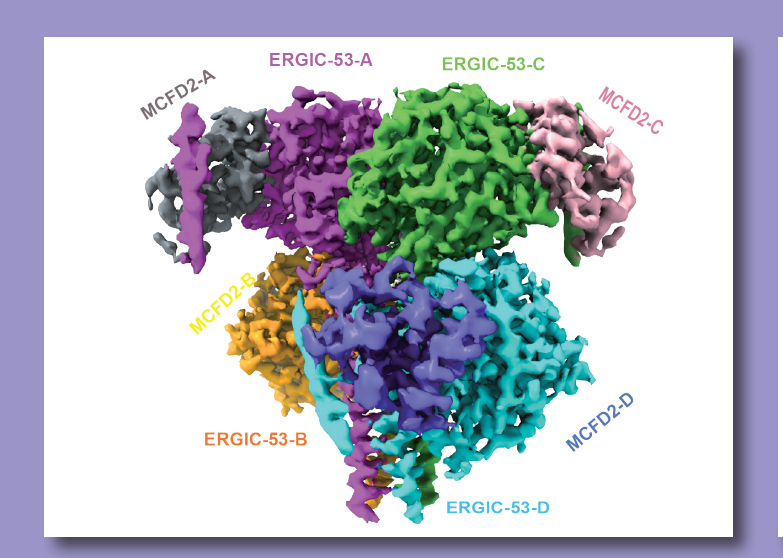
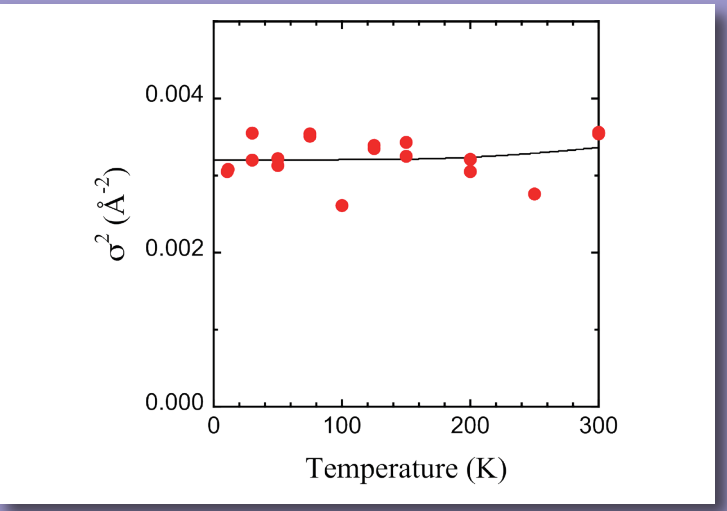
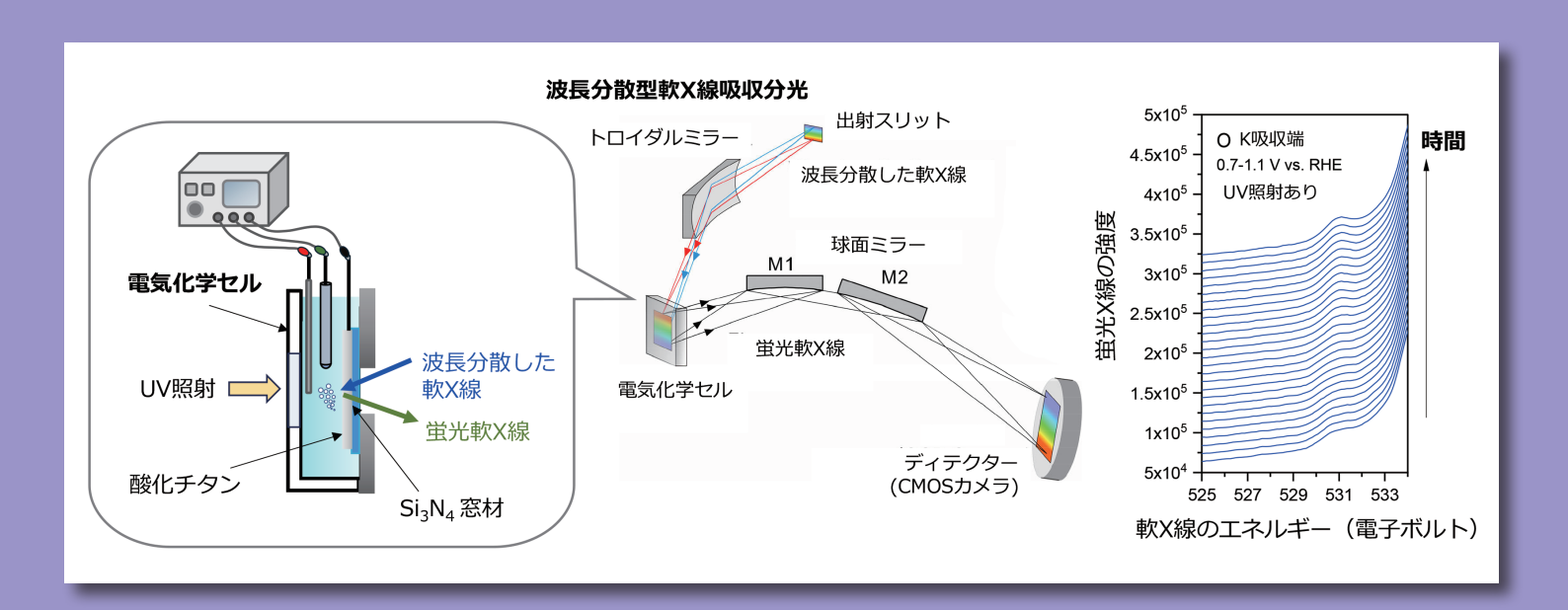
- 血液凝固因子の正常な分泌に必須なカーゴ受容体のクライオ電子顕微鏡構造解析
- 水分解用光触媒電極の固液界面反応の波長分散型軟X線吸収分光法によるリアルタイム・オペランド観察
- α-SのS-K端XAFSの温度依存測定からわかった異常に強いS-S結合







施設だより		五十嵐	教之		• 1
現		惠郷	博文		. 2
光源の現状	7	忘郊 帯名			
放射光実験施設の現状		五十嵐	教之		
放射光科学第一,第二研究系の現状・・・・・・・・・・・・・・・・・・・・・・・・・・・・・・・・・・・・		雨宮		• • • • • • • • • • • • • • • • • • • •	
低速陽電子実験施設の現状・・・・・・・・・・・・・・・・・・・・・・・・・・・・・・・・・・・・	••• 5	和田	健		13
最近の研究から 血液凝固因子の正常な分泌に必須なカーゴ受容体のクライオ電子顕微鏡構造解析					
Cryo-EM Structure of a Cargo Receptor for Normal Secretion of Blood Coagulation Factors					
渡部	聡,	稲葉	謙次		16
水分解用光触媒電極の固液界面反応の					
波長分散型軟 X 線吸収分光法によるリアルタイム・オペランド観察 Real-time and <i>Operando</i> Observation of Intermediates at the Solid-liquid Interface of Photoca	talvet	Floots	rodo		
using Wavelength-dispersive Soft X-ray Absorption Spectroscopy	taryst	Elecu	oue		
	穂,	雨宮	健太		21
α-S の S-K 端 XAFS の温度依存測定からわかった異常に強い S-S 結合					
Extraordinary Rigid S-S Bond of α -S through Investigation via					
Temperature-Dependent Measurements of S-K Edge XAFS	ن خ	豆永	學中		25
プレスリリース	1/二,	L1/10	小人		20
天然メタンハイドレートのマクロとミクロの構造可視化に成功					
メタンハイドレートを高密度分解能・高空間分解能で三次元非破壊測定					32
木質由来の低分子性リグニンを分解できる細菌の炭素利用の一端を解明 バイオマスの利用に向けて					32
半導体デバイスの動作中に内部構造の可視化に成功 半導体を評価する新しい手法の提案 …					32
バルクでは磁石につかない物質を原子属厚の薄膜で磁石に変換					02
一次世代スピントロニクスへの応用に期待一	• • • • • • •	• • • • • • • •			33
研究会等の開催・参加報告 2004年度 2015年11日 日本 第16日 11日 11日 11日 11日 11日 11日 11日 11日 11日	Д 1 Н	日/以土口	4-		
2024 年度量子ビームサイエンスフェスタ 第 16 回 MLF シンポジウム/第 42 回 PF シンポジ 木村 正	サム原	利性報	古 ゴル		3/
2024 年度量子ビートサイエンスフェスタに参加して 1		村野			
2024 年度量子ビームサイエンスフェスタに参加して 2		本間	飛鳥		35
PF 研究会「放射光科学での DX:Digital transformation in research using synchrotron radiation」開催報告	;	木村	正雄		36
ユーザーとスタッフの広場 PFトピックス一覧(2月~4月)・・・・・・・・・・・・・・・・・・・・・・・・・・・・・・・・・・・					38
PF-UA だより					30
2024 年度量子ビートサイエンスフェスタ 学生授励賞について	達,	北口	雅暁		39
令和 6 年度 第4 回 PF-UA 幹事会 議事録 である 6 年度 第4 回 PF-UA 幹事会 第5 回 PF-UA PF					40
令和 6 年度 第4 回 PF-UA 幹事会 議事録 令和 6 年度 PF-UA 総会 議事録					40
〒和 6 年度 - PF-UA 総会 - 職事録 - PF-UA 幹事名簿, PF-UA 運営委員名簿 - PF-UA 幹事名簿, PF-UA 連営委員名簿 - PF-UA 幹事名簿, PF-UA 総会 - 職事録 - PF-UA 特別 - PF-UA 常会 - PF-UA 総会 - 職事録 - PF-UA 常会 - PF-UA を表する					40
ユーザーグループー覧					43
人。事					
人事異動					44
新人紹介					45
Photon Factory Activity Report 2024 ユーザーレポート執筆のお願い	7	松垣	直宏		46
「第 13 回対称性・群論トレーニングコース」基礎コース(英語講座・日本語講座)開催のお知らせ		五十嵐	教之		46
総合研究大学院大学 先端学術院 先端学術専攻物質構造科学コース 大学院説明会及び学生募集のお知らせ]	熊井	玲児		47
2025 年度後期フォトンファクトリー研究会の募集		九十風	教之		48 48
2025 年度後期フォトンファクトリー研究会の募集 予定一覧 運転スケジュール (Apr. ~ Jul. 2025)					49
揭示板					
放射光共同利用実験審査委員会速報	<u>'</u> —,	北島	義典		50
第 180 回 物質構造科字研究所連宮会議議事次弟 物構研コロセウル					50
放射光共同利用実験審查委員会委員名簿					52
放射光共同利用実験審查委員会委員名簿(分科会別), 2025 年度 客員研究員一覧					53
2024 年度 PF 課題(PF-S PF-G PF-T)一覧 ····································					54
2024 年度 PF 課題(PF-SBRC)一覧,2024 年度 PF 課題(PF-CIQuS)一覧 ····························· 2024 年度第 3 期配分結果一覧 ····································					55
2024 平度第 5 州町 万和末					50
「PF ニュース」からのお知らせ ·······					58
投稿のお願い					58
編集後記					
②小月刊					59
〈表紙説明〉最近の研究から					
(左上) 血液凝固因子の正常な分泌に必須なカーゴ受容体のクライオ電子顕微鏡構造解析(「血液凝固因子の正常な分泌に必須なカーゴ受容体のクライオ電子顕微鏡構造解析(「血液凝固因子の正常な分泌に必須なカーゴ受容体のクライオ電子顕微鏡構造解析(「血液凝固因子の正常な分泌に必須なか」	分泌に並	公須な力	ーゴ受容	ダ体のクラ-	イオ
電子顕微鏡構造解析」より)					
(右上) ほとんど温度依存性が見られない、 α -S の S-S 結合の平均 2 乗相対変位 (MSRD) の温度変化(Γ α -S の S-K 単異常に強い S-S 結合」より)	引 XAFS	の温度	依存測知	ミからわか・	った
(下) 波長分散型軟 X 線吸収分光と電気化学セルを組み合わせた光電極触媒(酸化チタン)の観察(「水分解用光解	虫媒電棒	極の固液	界面反应	の波長分散	 教型
軟 X 線吸収分光法によるリアルタイム・オペランド観察」より)					

新放射光源施設計画については、これまで施設内外で慎重に議論を重ね、検討を進めてきましたが、現在その大枠を決める非常に重要なタイミングとなっています。実現に向けては大きな課題がいくつかありますが、その中でもサイエンスケースについては放射光利用の新機軸による新たな研究分野(Leading Field と呼ぶ)を創成することが非常に重要です。そこで、PFでは新たな利用形態として2ビーム同時利用を提案し、ユーザーの皆さまや放射光科学の専門家とともに様々な検討を重ねてきました。研究会等を通じて寄せられた数多くの提案をもとに、PF測定装置部門を中心に内容を煮詰め、我々の目指すLeading Field の叩き台をいくつか作成しましたので、この機会に紹介したいと思います。

2 ビーム同時利用としては、2 種類のプローブ光を利用する研究と、片方をポンプ光、もう片方をプローブ光として利用する研究(ポンプ・プローブ実験)が考えられます。2 種類のプローブ光の同時利用については、一つの試料で複数ビームラインに持ち込んで複数回の実験で実現できることは同時利用の提案には含まれません。期待している研究対象としては、不均質系の観測、また不均質状態により発現する機能の研究が新たな2 ビーム同時利用のターゲットとなると考えています。元素選択的に構造と電子状態を解明し、それらの空間相関、時間相関、その観測したパラメータ間の相関を見てやることで、物質・生命の機能発現、劣化、破壊の起源・機構の本質に迫れるものと考えています。

ポンプ・プローブ実験では、放射光をポンプ光として用いることにより、特定の軌道の励起や、場所選択的な照射だけでなく、パルス特性、構造化された光等の様々な特徴を活かすことができます。ここではX線ならではの励起効果の発見、宇宙における物質・生命の化学進化の解明、医療標的分子のX線反応制御、光ドミノ効果の起源の微視的な解明等、様々な分野でこれまでできなかった多様な研究展開が可能になると考えています。

上述の2ビーム同時利用に加えて、低速陽電子と放射光 を組み合わせた同時利用も放射光利用の新機軸として提案 します。物性・機能の鍵を握る表面構造を低速陽電子で決 定し、電子状態を放射光で観測することで、スピントロニ クス材料等、様々な材料研究に貢献できると考えています。 これは物構研でしかできない非常にユニークな研究展開で あると言えます。

ここで紹介した Leading Field は暫定的な提案であり、今後ユーザーの皆さまも含めて関係者と意見交換をしながらブラッシュアップしていきたいと考えています。また、内容も大事ですが、これらの Leading Field を表現するキーワードも大事ですので、皆さんとイメージを共有しながら検討したいと思います。皆さま、ご協力のほどよろしくお願いいたします。

もう一つ大事なことは、2ビーム同時利用の実証実験で

す。開発研究多機能ビームライン(BL-11)がこの秋から 稼働しますので、そこで実際に色々な実験を展開すること ができるようになります。実験を展開するためには、ビー ムラインだけでなく実験装置が必要になりますが、今年度 から PF-S 課題「2025PF-S001:2 ビーム利用多目的実験シ ステムの構築 | を走らせて、今秋からの実験開始に向けて 並行して開発を進めています。ここで開発する装置は、試 料周りを簡単に交換できるような構造となっており、上 記の Leading Field に繋がるような様々な実験提案を実現 できるようにしたいと考えています。また、BL-11 の運用 については, 今春から, 共同利用実験課題の新たな審査区 分として RD 課題の募集を開始しました。この課題では、 BL-11 の利用を必須として、特に2ビーム利用実験や通常 のビームラインでは実施困難な技術開発を行うことを想定 しています。現在審査中ですが、複数の RD 課題が申請さ れており、この秋から着実に進められるように準備を進め ています。2ビーム利用実験のアイディアや興味をお持ち の方は,ぜひビームライン担当者と連絡を取っていただき, RD 課題の申請をご検討ください。

さて、BL-11 の建設作業が最終段階に入って、これから様々なコンポーネントの設置作業が予定されています。BL-11 は要素技術や実験手法の開発だけでなく、人材育成も一つ大事なミッションとなっています(RD 課題でも若手の参加を必須としています)。そこで、今回初めての取り組みですが、他施設の若手スタッフや申請中の RD 課題の若手に声をかけて、ビームライン建設に参加してもらい、ビームライン技術を学んでもらうことを企画しています。今後も学術施設や大学等と協力して、次代の放射光科学を支える若手人材の育成に繋がる企画を展開したいと考えていますので、どうぞよろしくお願いいたします。

一方、KEKでは予算削減の必要性から、2026年度以降 共同利用ユーザー向けの旅費支給を廃止する決定がなされ ました。ただし、大学院生等の若手支援と加速器運転協力 への支援については別途検討することとなっており、現在 どのような枠組みで支援するか検討を進めています。非常 に厳しい状況ではありますが、リソースを戦略的に集中さ せるということですので、この機会に若手人材育成の観点 でより良い制度になるよう努力したいと考えています。ユ ーザーの皆さまにもご検討いただき、ぜひ具体的な提案を 寄せていただければと思います。

以上のように、2 ビーム同時利用に向けて準備や検討が進んでいます。次回の PF 計画推進委員会は、7/30 13:30 から Web 会議方式で開催予定です。まだ議題は決まっていませんが、PF シンポジウムで紹介しました、蓄積リングを先行、あるいはライナックを先行して整備する段階的整備案も含めて非常に重要な議論が予定されています。どなたでも傍聴可能ですので、皆さんにもぜひ積極的に参加してくださるようお願い申し上げます。

入射器の現状

加速器第五研究系研究主幹 惠郷博文 (2025年4月4日付け)

運転状況

2024年12月27日に2024年度第2期の運転を終了し、 2025年2月10日まで冬期メンテナンスを実施した。老朽 化による故障リスクの高い直流電磁石電源の交換、発熱が 多いパルス電磁石のコイル水冷化, PCB 対策としてのクラ イストロンタンク内コンデンサ交換、高精度ビーム診断ラ インへのコリメータ設置などが主な作業である。2月10日 に全メンテナンス作業を終え、2月12日から第3期運転の 入射器立ち上げを行なった。PF リングには 2 月 25 日より ビーム入射を開始,3月18日からハイブリッドモードに入 射運転を切り替えた。PF-AR は 3 月 3 日より 6.5 GeV にて ビーム入射を開始した。今期、入射器において大きなトラ ブルはなく、インターロックによる運転停止頻度はリング への入射を始めた2月中旬には約300回/週あったが、そ の後、RF 調整やコンディショニング効果により大電力高 周波系の反射異常が改善され、3月後半には60回/週程度 まで減少した。光源リングへのビーム入射と低速陽電子加 速器の運転は3月24日に停止、これで2024年度の入射器 運転は終了となった。

SuperKEKB は 2024 年第 2 期運転終了後から 2025 年秋までメンテナンス作業を実施しているため, 2025 年度第 1 期も光源リングへの入射運転のみで再開となる。その立ち上げ日となる 4 月 21 日まで春期メンテナンス作業を実施中である。SuperKEKB電子ビーム用に新たに構築しているエネルギー圧縮システムの導波管立体回路の組立, 大電力高周波源の高圧電源整備を実施中である。これらの整備作業後,入射器を立ち上げ, PF リングは 5 月 7 日, PF-AR は 5 月 13 日にビーム入射を開始する予定である。

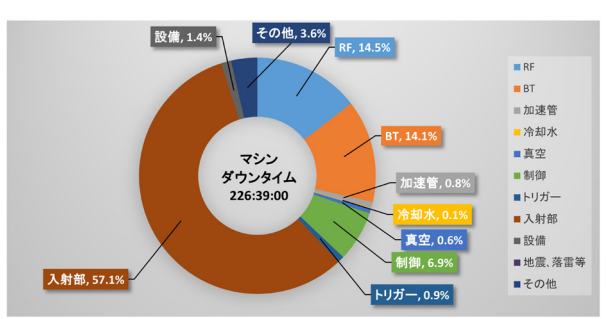
2024年度の運転記録

月間機器保守に要した 30 時間を除くと 2024 年度入射器の総運転時間は 5,439 時間, ビーム加速に必要な大電力高周波出力時間は 5,429 時間であった。4 つの蓄積リングへの入射に要した時間は 4,160 時間で総運転時間の 76%である。PF リングへの入射時間は 691 時間, PF-AR へは 201時間を要した。マシンダウンタイムは 227 時間で故障率は 4.2%, ビームロスタイムは 171 時間で停止率は 3.2% となった。図1 にマシンダウンタイム(上)とビームロスタイム(下)の内訳を示す。電子ビームを生成する入射部が主要因となっているが, これは SuperKEKB 用のフォトカソード低エミッタンス RF 電子銃の放電などによるものである。

光源リングのみへ入射運転を行なった 2024 年度第 3 期 に目を向けると運転時間は 954 時間,マシンダウンタイム

は11時間で故障率1.2%, ビームロスタイムは4時間で停止率0.4%であった。4リング同時トップアップ運転時に比べてトラブル頻度は低くなっている。ただ,入射するリングに応じて我々の入射器は仮想マシンとして動作しているため,各リング入射の運転独立性は高く,SuperKEKB入射運転の状態(RF電子銃の不調など)が,極力,光源リングの入射へ影響しないようになっている。

1982 年から、これまでの入射器運転統計を図 2 に示す。故障率、停止率は正確な記録を取り始めた年度からの記載である。TRISTAN、KEKB など大型加速器の立ち上げ時には、入射器にも改造が加えられるため、初期不良などによって故障率が高くなるが、それらが改善されると故障率は下がり、ビーム停止率も 1%未満となって安定運転状態となる。ところが、SuperKEKBへの高電荷量・低エミッタンスビーム生成に対応する入射器改造後、故障率は 2~4%で高止まりしており、停止率も 1%を超えて時間とともに増加している。これは機器改造による影響のみならず、入射器コンポーネントの経年劣化や老朽化が積み重なってきているためである。加速管の経年劣化による水漏れ、電磁石電源故障、電子銃不具合などは故障と同時にビームロスを生じるため、影響が大きい。現在、新型高電界加速管の製作、新電源への交換など、劣化対策を進めている。



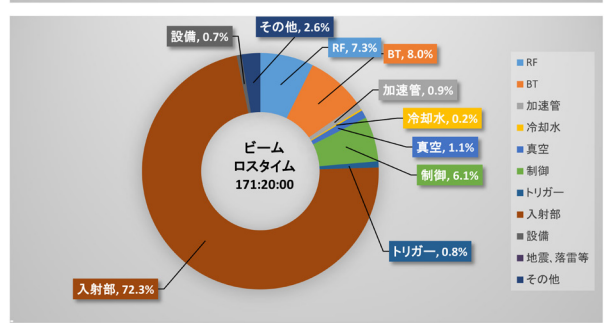


図 1 マシンダウンタイム (上) とビームロスタイム (下) の 発生原因内訳

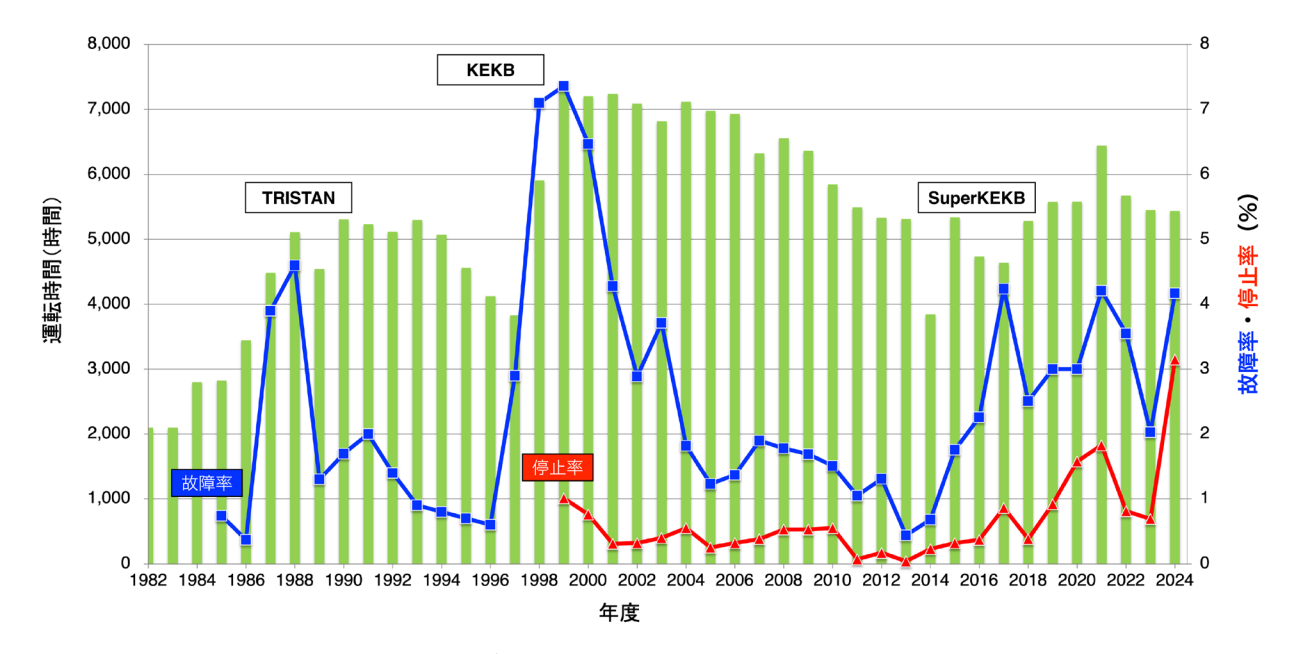


図2 年間運転時間と故障率,停止率の推移

光源リングの運転状況

図 1 に 2024 年度第 3 期(2 月 25 日 9:00 \sim 3 月 24 日 9:00 まで)の PF リングの蓄積電流値およびビーム寿命の推移を示す。2024年 12 月 20 日(金)に発生した RF 不調(A1 ステーションのクライストロン不調)のため第 2 期運転終盤には RF4 台から 3 台に減らしてビーム電流を下げた運転を実施してきたが、冬期停止期間中に集束コイルのパラメータを変えることで 4 台運転に復帰することができた。

2月25日(火)朝の立上げ時に、中型電源(4極電磁石Q5B)が不調となったため、急遽、予備電源へ配線変更を実施して運転を実施する方針とした。この影響でビーム入射開始が遅れて準夜帯となったものの、無事に入射・蓄積が可能となった。その後の調査で、電源内部PLC制御系の不具合であることが判明したため、対処の上、3期の運転終了後に戻す方針とした。当該電源は前週に実施した連続通電試験では問題は起きておらず、運転開始当日にトラブルが起きたことは典型的な老朽化現象の1つと考えている。

3月2日(日)22:10, 4極電磁石電源(Q3)のファン 異常で停止。深夜帯に職員を呼び出して対応し、インター ロック経路系含め現場での対処を実施した。当該空冷ファンは電源の内部深くにあるため簡単な対処は困難である が、外部空冷の強化など必要な対処をすることで当面の運 転継続は可能と判断した。その後、3月の運転終了まで問 題は再発していない。2025年度1期の運転では気温上昇 も見込まれるため、停止期間に必要な対処を実施する。こ ちらも老朽化の一例であり、深刻である。

このほか、3期のPFリング立ち上げ当初より、Linacか

らのビーム入射タイミングが大きく変動する現象が発生した。従来の運転状態にくらべて凡そ30倍程度大きい変動であったがこの段階では原因不明であり、リング側での入射位相および入射バケットタイミング調整を急遽作成した自動調整プログラムを実行することで当面の対処とした。最終的にLinacで動かしている入射タイミング計算プログラムが正常に動作していなかったことが判明したため、3月3日(月)10:00にタイミング系のリセットおよび調整を実施した。その後、同様の減少は発生しておらず従来通りの変動幅となった。今後、立上げ時のチェックは行うことはもちろん、同様のトラブル時に迅速に気づくことが出来るよう、Linacでのアラームプログラムの整備などを実施した。その他の重要な項目についても、アラーム登録から漏れが無いかのチェックを行う。

入射に使用する複数台のキッカー磁場波形を完全に相似形にすることが困難であることに起因して、入射時に蓄積ビームに少し擾乱を与えてしまう。通常は各期の運転開始時やモード変更時に調整していたのに対して、今期より、キッカーの電圧モニター波形(ピークタイミングと電圧)が一定になるような自動プログラムを運用開始した。図2に示すように、前期にくらべてユーザーからみた強度変動を抑制し、安定に運用できることが分かった。引き続き運転に活用していく。

また,3月14日(金)にはLinacとPFでの合同マシンスタディを実施した。最終的な目標はPF-BTでの入射ビーム位置がパルス毎に変化しないようにすることであるが、今回はそのための環境整備と基礎データ取得が主目的

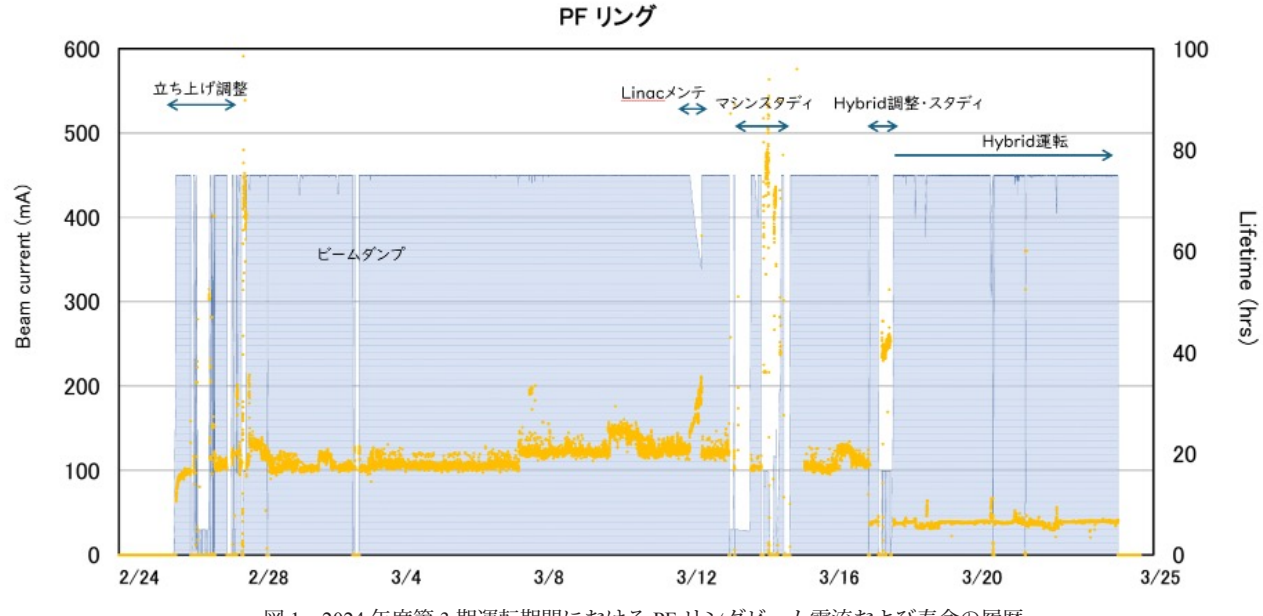


図 1 2024 年度第 3 期運転期間における PF リングビーム電流および寿命の履歴

である。これまでのスタディにより、第3スイッチヤードのアナライザーラインでのデータとPF-BTでビームの挙動が大きく変わっていることが判明しているため、キッカー波形への依存性測定や、コリメータの影響などを測定した。あわせて、上流のJ-ARC部でのエネルギーフィードバック試行などを実施した。

PF リングでは、第 3 期の立上げから新しい BPM 回路での位置測定および高速軌道フィードバックシステムの運用を開始した。新旧システムでの表示例を図 3 に示す。ユーザー運転への影響を最小にするため、基準軌道をうまく引き継げるように段階的に切り替えていった。あわせて真空封止アンジュレータのギャップを最小値(4 mm)まで閉じたときにビーム寿命への影響が無いことを検証した。また、新システムでのビームレスポンス測定と理論値(設計値)との比較も実施し、問題無いことが確認できた。その

後、新 BPM システムでのユーザー運転に入っている。

図3(右)の新システムで画面中央付近に見えている山は ID16のバンプ軌道であり、これは従来のシステムでは除外されていて見えていなかった部分である。新システムでは BPM 数も増えており、よりビーム軌道の安定化に寄与すると考えている。

現時点でも、従来に比べて高速周期での軌道フィードバックが実現できているが、新システムではさらなるパラメータ最適化が可能であるため、今後のマシンスタディを通して最適化を実施する予定である。

図4にPF-ARのビーム電流および寿命の履歴を示す。 今期は運転期間が短いこともあり、すべてビームエネルギー6.5 GeVでの運転としている。2025年3月3日(月)に偏向電磁石電源絶縁油トランスの油面計から微量の油が漏出していることが判明した。ビーム調整を中断して容器

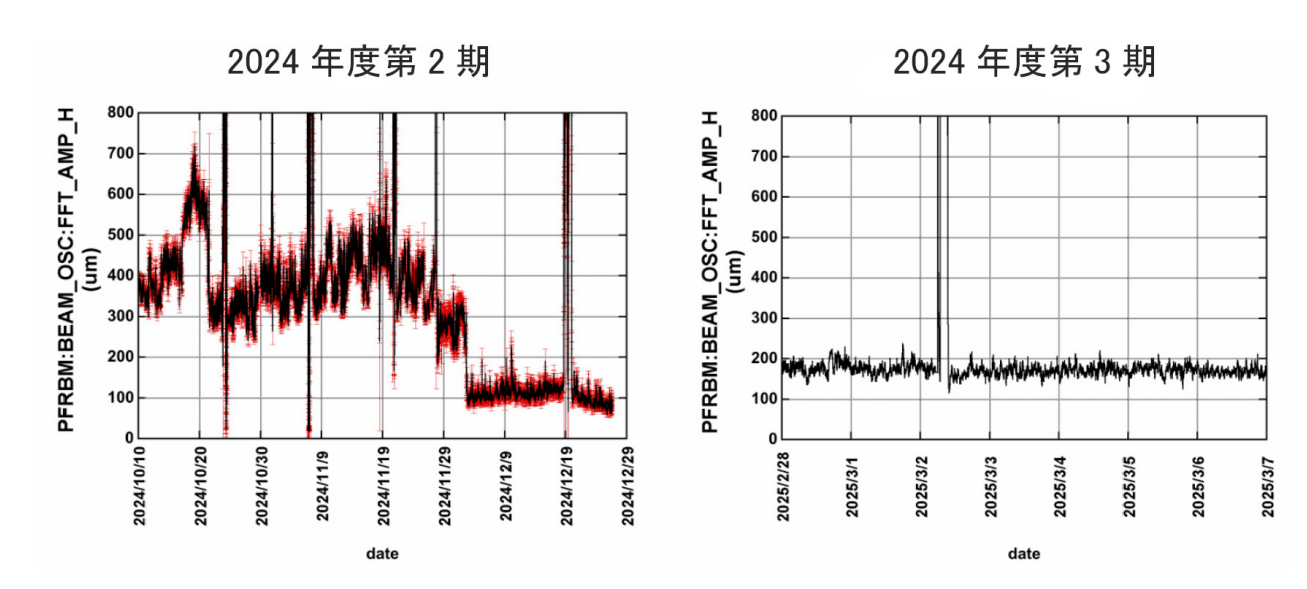


図 2 入射時の蓄積ビーム振動(水平方向)の振幅履歴。自動調整の結果、右図のように一定の値を維持できていることがわかる。

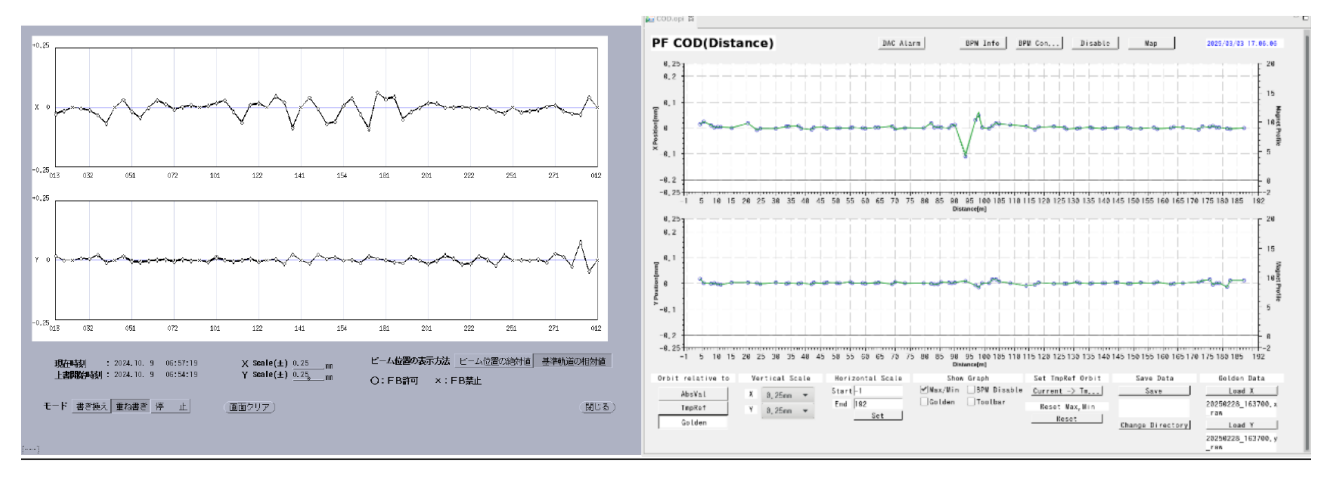


図3 旧 BPM システムでのビーム位置表示例(左)と、新システムでの表示例(右)。いずれも基準軌道からの差分を表示している。

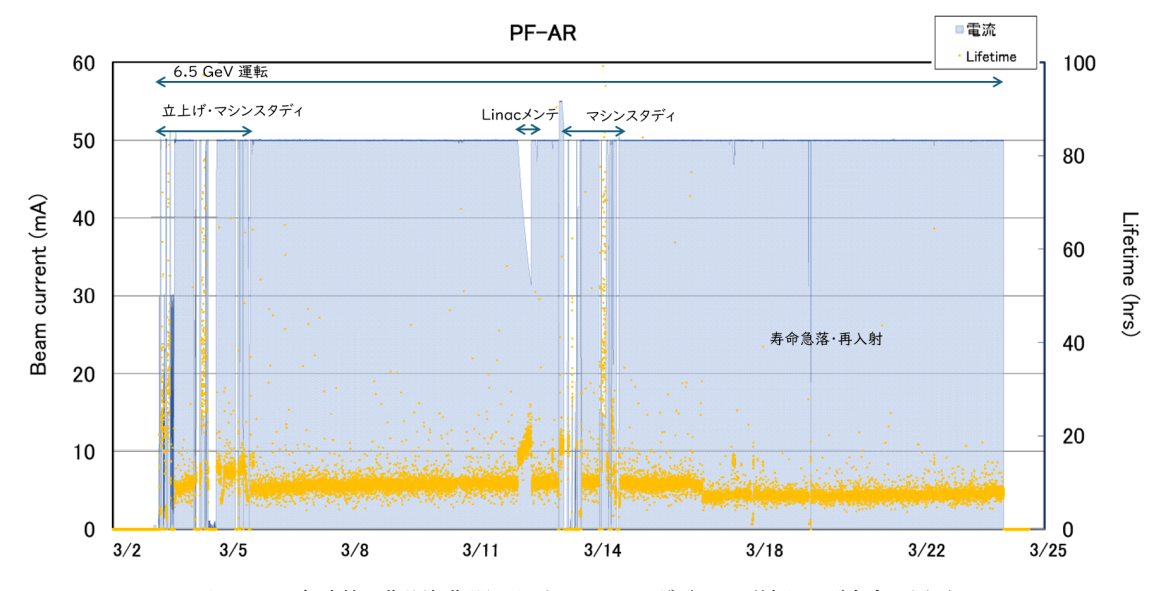


図4 2024年度第3期運転期間におけるPFリングビーム電流および寿命の履歴。

表 1 2022~2024 年度までの 3 年間の PF リングの運転統計

年度	リング運転時	リング調整・ス	ユーザー運転	故障時間(h)	平均故障間
	間(h)	タディ時間(h)	時間(h)		隔(MTBF)(h)
2022(R04)	4,128	512	3,590	25.8	144.6
2023(R05)	3,648	552	3,081	15.2	172.0
2024(R06)	4,440	592	3,820	27.5	192.4

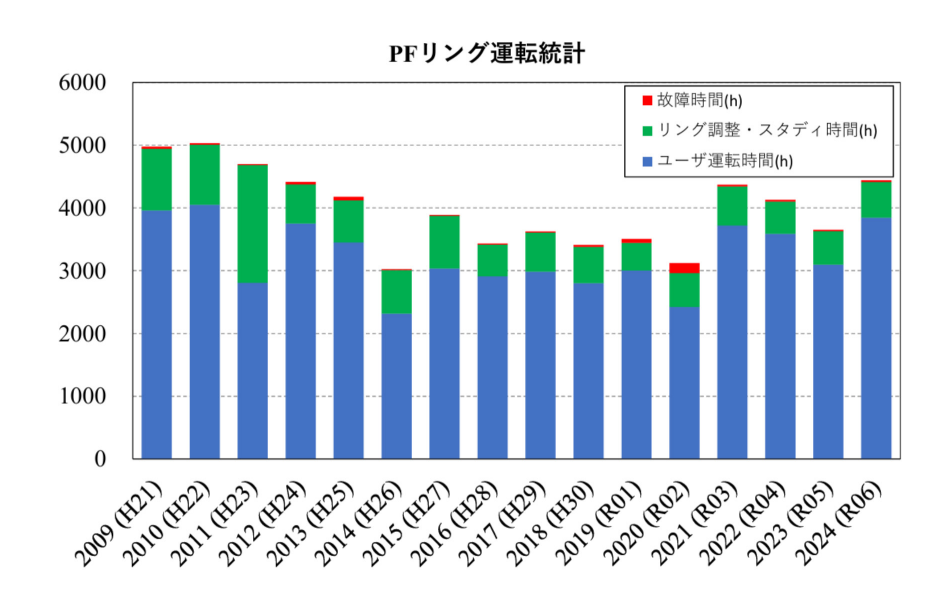


図 5 PF リング過去 16 年間分の運転統計。縦軸は時間 [Hour] 単位である。

外装の拭き取り清掃し、周辺をカバーして漏出状態の監視を開始した。メーカー工場とも相談し、応急処置を4月に実施・夏に恒久的処置という方針としている。

2024 年度の運転まとめ

表 1 に 2022 年度から 2024 年度まで 3 年間の PF リング の運転統計を示す。図 5 は過去 16 年間のグラフである (2009

表 2 2022~2024 年度までの 3 年間の PF リングの運転統計

年度	リング運転時	リング調整・ス	ユーザー運転	故障時間(h)	平均故障間
	間(h)	タディ時間(h)	時間(h)		隔(MTBF)(h)
2022(R04)	3,000	560	2,418	21.7	143.5
2023(R05)	2,760	576	2,154	30.3	136.5
2024(R06)	2,976	552	2,413	10.8	173.1

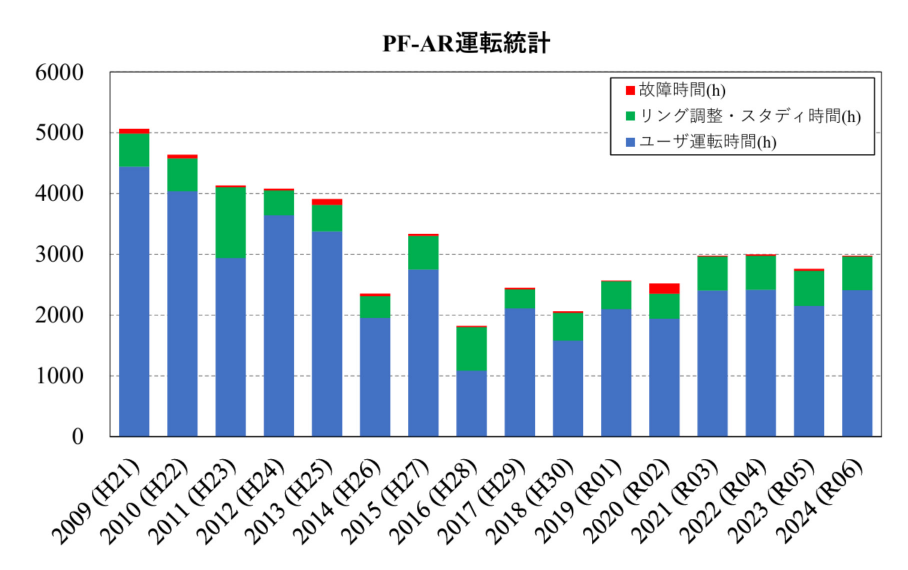


図 6 PF-AR 過去 16 年間分の運転統計。

年~2021 年度の統計数値は過去の PF News に記載している)。2024 年度は近年の目安であった PF 3,600 時間, PF-AR 2,400 時間のユーザー運転時間を達成することができている。

故障時間は昨年度 27.5 時間,故障率は約 0.7%,平均故 障間隔時間 (MTBF) は約 192.4 時間で良好な値を維持で きている。故障の内訳を調べてみると 2024 年度は電磁石 システム関連が約34.3%, RF系が27.6%となりこの2つ が大部分を占めている。これは電磁石電源の冷却インター ロックによる停止が頻発したことが主要因であり、老朽化 が進んでいることが要因と考えている。電源によってはメ ーカーによる定期的な保守点検作業が出来ていなかった部 分があったため、優先順位をつけて段階的に見直している 状況であり、今後も継続していく。RF 関連による故障率 については、クライストロンの不調による運転停止や、3 台運転の実施などトラブルが続いたため、ここ数年の故障 率 4~7%台にくらべると増加している。今後も各グルー プとも老朽化対策を推進していく。このとき, 単なる故障 品の交換ではなく、性能・機能向上をともなった更新を心 がけていく。

2025年2月~3月期のハイブリッド運転時に,進行方向のビーム不安定現象が断続的に発生することがあった。 RFに位相変調をかけることで抑制可能ではあるものの, 手動でおこなっていたため対応が遅れることもあった。そこで,不安定が発生したときに自動で位相変調を行う対処をおこない,運転を継続した。次回の運転立ち上げ時には フィルパターン変更など別の方法を検討している。今後もより安定なビームが供給できるよう改善を進めていく。

表 2 に PF-AR の過去 3 年間の運転統計数値を,図 6 に過去 16 年間の運転統計をグラフにしたものを示す。2024 年度のユーザー運転時間は 2,413 時間となり、PF リングと同様に目安を達成できている。故障時間は約 10.8 時間,故障率も 0.4%,平均故障間隔(MTBF)は約 173.1 時間でいずれも良好な状態を達成できている。故障の内訳は約62.5%がビーム入射関連 BT の電磁石電源であった。また、第 2 期は蓄積電流 55 mA で運転を開始したが、HOM ケーブルの発熱により途中で 50 mA に移行している。こちらについては原因調査を進めており、電流増加への挑戦は慎重に行う予定である。

加速器第6研究系内の人の動きについて

2025 年 3 月 31 日をもって本田融さんが定年退職となりました。本田さんは真空グループのリーダーとして各種の研究開発から現場での作業に至るまで幅広く活躍されてこられました。PF の直線部改造,AR の高度化,テストビームライン建設などでは中心的な役割を果たされています。また,総研大でも長年にわたって後進の指導にもあたってこられました。これまでの貢献に深く感謝するとともに今後も特別教授として引き続き御指導・ご鞭撻いただきます。

新人採用については、2025年4月1日付で、齊藤寛峻さんが助教として採用されました。光源第7グループの一員として挿入光源に関する研究開発および運転保守まで幅

広く担っていただくほか、新光源に向けた超伝導ウィグラー関係でも活躍頂きます。また、おなじく4月1日付で團優菜さんが技術職員として新規採用となりました。光源第5グループ(基幹チャンネル・安全担当)の一員として、主に安全・制御系を中心とした業務を担当頂きます。

技術職員については、4月1日付で濁川和幸さんが主任技師、下ヶ橋秀典さんが先任技師、田中窓香さんが技師、本村新さんが准技師にそれぞれ昇任されました。これまで同様に関連する装置の保守・管理・維持、ならびに技術開発を担当していただきます。

最後に、本田融さんの退職にともなって今年度から真空 グループリーダーを谷本育律さんに努めていただきます。 運転に直結する維持管理はもちろん、次期光源に関連する 研究開発にもこれまで同様に尽力いただく予定です。

放射光実験施設長 五十嵐教之 (2025年5月28日付け)

開発研究多機能 (R&D) ビームライン BL-11 については、 学術放射光4施設の連携のもと、建設作業が進められてき ました。2025年冬の停止期間中に硬 X線ブランチの光学 系ハッチまで完成させ、2024年度第3期には、軟X線領 域集光白色ビームと光学ハッチ内で硬X線領域非集光単色 / 白色ビームを利用できる R&D 実験スペースが利用開始 となりました。2025年春のシャットダウン中には、いよ いよ実験ハッチの建設作業が開始され、2025年夏の完成 に向けて急ピッチに作業を進めているところです。ちなみ にこの大きな実験ハッチは、フォトンファクトリー先端化 寄附金により建設されています。皆さまのご支援に心より 感謝申し上げます。建設作業と並行して、R&D 利用に向 けた測定システムの開発を、PF-S 課題を利用して進めて います。また、BL-11でのR&D用の実験利用制度も2025 年3月のPF-PAC全体会議で承認され、2025年5月締め 切りの実験課題公募から申請可能となりました。このよう に着々と準備が進んでおりますので、ユーザーの皆様にも ぜひ積極的に参加していただくよう、よろしくお願いいた します。

運転・共同利用関係状況

2024年度の運転は、機構の支援を受けて年間の運転時 間 (PF3600 時間, PF-AR2400 時間) を確保することができ, 施設工事や加速器改造等の影響も少なかったため、久しぶ りに定常の運転スケジュールとなりました。2025年度の 運転に関しても同じように定常運転を目指したいと思いま すが、現時点では第2期の運転分までしか予算は確保でき ておらず、今後定常運転に向けて機構側と相談を進めたい と考えています。2025年度の第1期運転については、PF は5月7日に、PF-AR は5月13日から運転を開始してい ます。PF-AR は 6 月 30 日まで、PF は 7 月 7 日まで運転を 継続します。PFのハイブリッドモードは6月6日から最 後まで、PF-AR は 6.5 GeV で運転を開始していますが、6 月12日以降は5GeVで運転します。第2期の運転スケジ ュールは現在検討中ですが、PFに関しては10月初旬から、 PF-AR の方は、アジア・オセアニア放射光科学フォーラ ムスクール (AOFSRR School 2025) を PF で開催する関係 で、11月初旬からの運転開始を目指す予定です。

PF-PACの全体会議が、久しぶりに現地とオンラインのハイブリッド方式で開催されました。現地での参加はあまり多くなかったのですが、やはり対面での意見交換の重要性を再認識しました。PF-PAC全体会議は、PFの運営や高度化、次期計画を議論する大切な場ですので、今後できるだけ対面での開催としたいと思います。委員の皆様大変お忙しいとは思いますが、何卒ご協力のほどお願い申し上げます。今回の全体会議では、課題の進捗状況評価や開発研

究多機能ビームラインの利用制度,課題申請書の改訂等について審議されました。また, S2型課題の説明の見直しや液体へリウムの対応,新放射光源施設計画に関する協議等が行われました。詳細については,本誌記事をご参照ください。

人事異動

最後に、放射光実験施設に関する人事異動を報告します。 4月1日付で、成田千春さんが技術員から准技師に昇任されました。今後より一層の活躍を期待しています。同日付で、運営部門長が北島義典さんから宇佐美徳子さんに、技術副主幹が内田佳伯さんから菊地貴司さんに交代となりました。北島さん、内田さんは継続してPF所属となりますので、引き続きご協力をお願いしたいと思います。また、同日付で、小菅隆さんと金子直勝さんがシニアフェローとなりました。これからは特に後進の指導にご尽力いただくことを期待しています。最後に、PFの運営や共同利用関係の業務を支えて下さった、PF事務室の外山久子さんが3月末で退職されました。長く業務にあたってくださり本当に感謝申し上げます。後任には、5月1日付で、小谷野美紗さんが赴任されました。今後の活躍を期待しています。



図 1 5/28 現在の BL-11 建設作業の様子 (実験ハッチの建設が進んでいる)。

放射光科学第一研究系研究主幹 雨宮健太 (2025 年 4 月 21 日付け)

昨年 11 月発行の PF ニュース(Vol. 42, No. 3)に引き続き, 今回は放射光科学第一研究系の固体物理学研究部門におけ る最近の研究の進展を紹介します。

走査型共鳴軟X線回折装置の開発

回折・散乱の空間相関の測定と、X線吸収分光やX線 磁気円二色性といった電子・磁気状態の測定を組み合わ せた共鳴X線散乱 (RXS) は、吸収端を利用することで元 素・軌道選択的に電子・磁気状態の空間相関を決定できる ユニークな実験手法です。特に軟X線領域には、多彩な物 性を示すことで注目される 3d 遷移金属や 4f 希土類金属な どの吸収端が存在することもあり、これまでに軟X線領域 (200-5000 eV) での RXS 実験のための真空中 X 線回折計 群[1]を開発し、RXSの利用研究を推進してきました。様々 な利用展開の中で、最近注力しているのが走査型共鳴軟X 線回折装置の開発です。研究ターゲットの1つである「ア シンメトリ量子物質」[2]では、空間反転対称性の破れに より交差相関物性が発現します。しかしながら、対称性の 破れに伴い結晶ドメインが必然的に形成されるため、発現 した物性がドメインの影響で打ち消されて観測できなかっ たり、観測できたとしてもその定量評価が困難になったり します。このように交差相関物性の測定にはドメインの制 御が必須であり、開発中の走査型共鳴軟X線回折装置を用 いることで、ドメインの可視化や、物性測定へのフィード バック、さらにドメイン観測と物性測定の同時測定を目指 し、8型課題 (2024S2-002 松村武, 広島大学 [3]) のもと研 究を進めています。

開発中の回折計は単純な構成であり、入射 X 線をフレネルゾーンプレートで集光し、試料部を走査することで

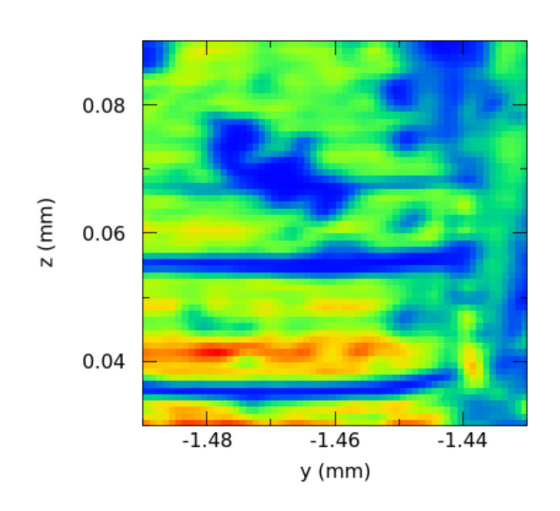


図1 磁気ブラッグ信号強度の空間分布。

RXS 信号の強度分布、つまりドメインを測定できます。図 1 に磁気ブラッグ信号強度の空間分布の測定結果を示します。 $z\sim0.055$ などに存在する青色の帯の部分は、温度変化により消失し、単一のドメインになる様子が観測されています。このように、1 μ m 程度の空間分解能での磁気ドメイン観測が実現できつつあります。一方、測定を通じて改善すべき点が多々あることも明らかになってきました。今後も、装置の改良を進めるとともに、電子・磁気秩序状態のドメイン観測の利用研究を推進していきます。

共鳴磁気 X 線回折を用いた非自明な磁気状態の観察

フラストレート磁性体における非自明な磁気秩序状態 とその外場応答は現代の物性物理における中心的なテー マの一つであり、これまで放射光X線回折や中性子散乱 を用いて研究を行ってきました。具体例として、幾何学 的なフラストレーションに強いスピン軌道相互作用が導 入された系に関する研究を紹介します [4]。希土類金属間 化合物 DyAuGe の三角格子中の 4f 電子の準四重縮退状態 (S_{eff} = 3/2) から生じるキャント反強磁性基底状態を, Dy のL。端近傍の放射光共鳴磁気X線回折を用いて明らかに しました(図2)。磁気モーメントと電気四重極モーメン トは密接に連動しており、反強誘電性電気四重極 (AFQ) 秩序によって磁気-双極子の非平行配列が誘起されます。 AFQ 秩序は面内磁場によって抑制され、コリニアなアッ プアップダウン磁気状態へのメタ磁性転移につながりま す。これらの発見は、Sef > 1/2 のフラストレート三角格子系 における非自明な磁気状態の出現に関する洞察を与えてく れます。

マルチプローブ研究のための環境整備

放射光科学研究系では、放射光をはじめとする様々なプローブを用いて研究を推進しており、多くのスタッフが量子ビーム連携研究センター(CIQuS)を併任しています。

CIQuSでは大型ピクセルアレイ型検出器 PILATUS3S 1M を導入し、マルチプローブ研究の環境整備を進めています。読み取り時間が短いためシャッターレス測定が可能になり、In situ 測定や連続三次元計測などに威力を発揮しています。これまでに BL-8B において検出器位置を広く電動制御できる回折計を開発し、低次元有機金属錯体の散漫散乱等について研究を行ってきました。さらに垂直偏光 X線が利用可能な BL-14A においても同様に整備を進め、現在はモノクロメーター等の光学系の改修を行っています。成果の具定例として阿部グループ(防衛大)により実施された時間分解放射光実験の結果を図 3 に示します[5]。単成分の1-デシル-3-メチルイミダゾリウムナイトレート([C10mim][NO3])イオン液体において、冷却/加熱

現

状

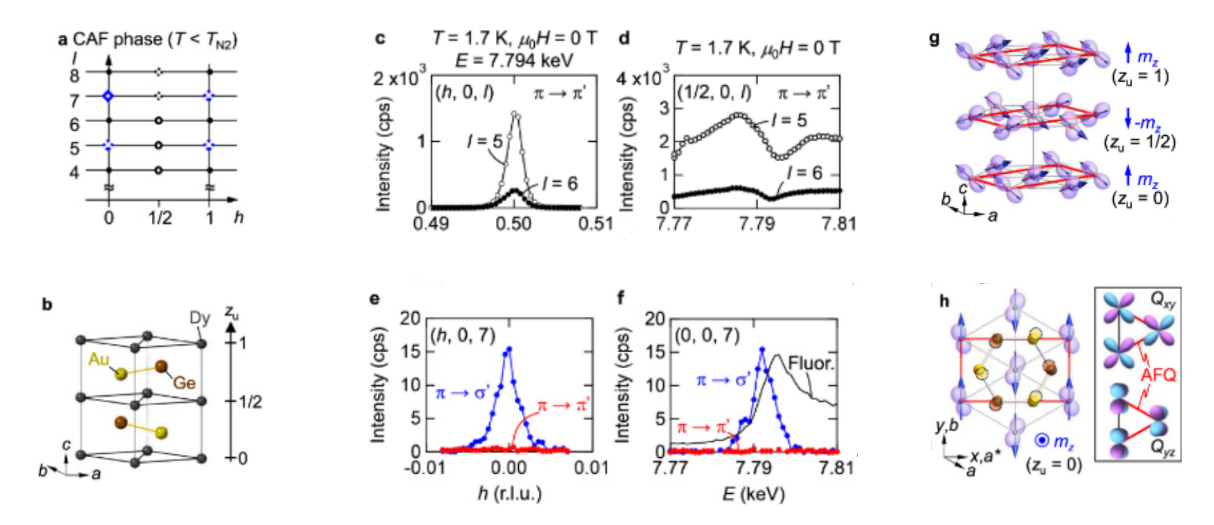


図2 a (h, 0, l) 面内のブラッグピークの位置。b DyAuGe の結晶構造。c,d (h, 0, 6) と (h, 0, 5) の h スキャンプロファイルと, h=1/2 におけるブラッグ散乱のエネルギー依存性。e,f π - π ' チャンネルと - π - σ ' チャンネルで測定された (h, 0, 7) の散 乱強度の h スキャンプロファイルとエネルギー依存性。g,h DyAuGe の傾角反強磁性相の磁気構造と四極子秩序の模式図と z=0 の上面図。

速度に依存する複雑な構造変態をX線回折実験により観測しました。1 K/min の冷却過程では、トランス型と無秩序型のハイブリッド層状結晶が現れ、より早い冷却プロセス(8-9 K/min)では、イオン液体結晶(ILC)、六方最密充填構造(hcp)を含む多相共存が観測されました。早い冷却プ

ロセスは準平衡効果として新しい hcp 相を誘起し、さらに ILC 相へつながることが明らかになりました。

反芳香族における電子密度の観察

有機化学では、6つの π 電子をもつベンゼンに代表される (4n+2) π 電子系 (n: 自然数) が芳香族化合物として有名です。一方、環状不飽和有機物のなかでも、4n個の π 電子をもつ 4n π 電子系は反芳香族とよばれ、非常に安定な芳香族とは異なり不安定で反応性が高いものが多く、ペンタレンやビフェニレンなどが知られています。なお、最もシ

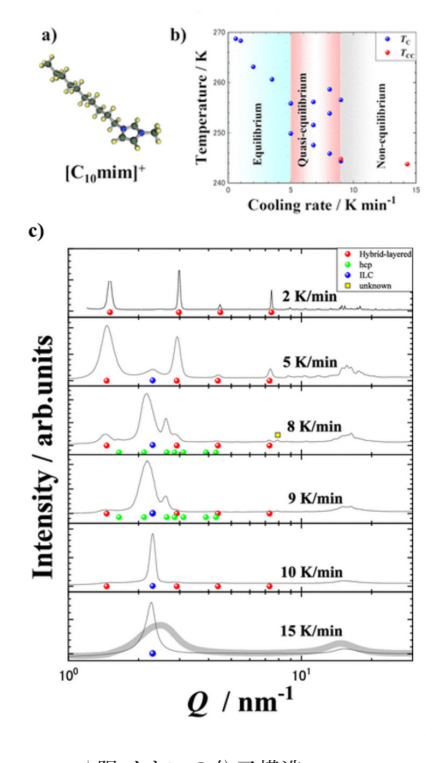


図 3 a $[C_{10}$ mim][†]陽イオンの分子構造。b $[C_{10}$ mim][NO₃] の相転移の冷却速度依存性。冷却時の転移温度 $(T_{\rm C})$ と加熱時の転移温度 $(T_{\rm C})$ をそれぞれ青丸と赤丸で示す。c 150K での一次元化された X線回折プロファイル,冷却速度は上から 2 K/min, 5 K/min, 8 K/min, 9 K/min, 10 K/min, 15 K/min。赤、緑、青の円は、それぞれ層状結晶相、六方最密充填(hcp)構造,イオン液体結晶相に対応する。

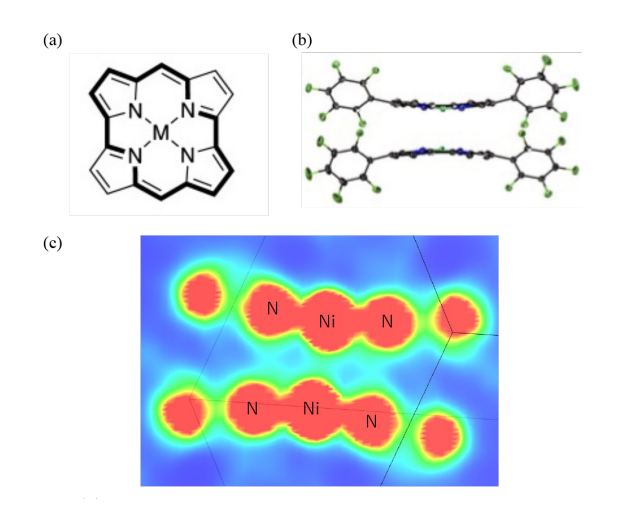


図4 (a) ノルコロール分子。太い線で示した部分のπ電子数が 16 となる。(b) Ni(II) ペンタフルオロフェニルノルコロール結晶におけるノルコロール分子 2 量体の積層。(c) 2 量体部分の電子密度分布。4 つの窒素原子がつくる平面での 断面図。

ンプルな反芳香族と考えられていた4つのπ電子をもつシ クロブタジエンは, π電子が非局在化しておらず, 反芳香 族性よりも構造の歪みによるものが分子の不安定性に大き く寄与していることが 2010 年代に入って示されています。 このように、比較的不安定だと思われてきた反芳香族です が、近年になって、安定に単離できる物質が合成されてき ました。そのさきがけとなったのが、ポルフィリン(18π 電子系)のメソ位の炭素を2つ取り除いてピロール環を 直結させたノルコロール [6] です。中心に Ni(II) を配位し た Ni(II) ノルコロール (図 4a) は、16 個の π 電子からな る環状平面分子ですが、室温で安定に存在し、様々な測定 から反芳香族特有の性質を示すことが知られています。ノ ルコロール骨格を有する分子では、分子どうしが近接して 2量体あるいは3量体を形成する結晶構造をとることが比 較的よく見られ、なかでもペンタフルオロフェニル基をも つ分子では、分子が完全に対面し、分子間の距離が 2.97 Å と通常の平面π分子の積層に比べて非常に接近した2量 体を形成します(図 4b)。このような反芳香族分子同士の 近接は分子間で電子共役することにより安定化しているの ではないかと予想されています。このことを確認するため に、前述のペンタフルオロ置換基をもつ Ni(II) ノルコロー ル分子の単結晶を用いて、PF の放射光を利用した精密構 造解析を実施しました[7]。よく知られているように, X 線の散乱波は物質中の電子密度のフーリエ変換なので、観 測されたX線の散乱波を位相を考慮して逆フーリエ変換す ることで空間全体の電子密度を導出することが可能です。 もちろん様々な理由ですべての散乱波を観測することは難 しいのですが、得られた回折強度を用いて最大エントロピ 一法 (MEM) を用いることで、結晶における電子密度の 空間分布を解析することができます。図4cに示すように, 分子間積層において、電子雲の広がりが大きな Ni 原子間 だけでなく、ピロールの窒素間にも電子密度が存在してい ることがわかります。分子軌道計算によると、2つの分子 の HOMO と HOMO-1 の両方に結合性の相互作用が働いて いることが明らかになっています。これ以外にも、ピロー ルの炭素原子間にも小さいながらも電子密度が観測されて おり、明確な共有結合というわけではありませんが、多中 心多電子結合のようなものが形成されているのではないか と考えられます。分子どうしを近接させることと、結合が 生じたことは、卵と鶏のような関係かもしれませんが、近 接した分子による新たな物性の開拓や、化学結合の本質と は何か、といった新たな研究のきっかけとなるのではない かと思います。

- [1] https://research.kek.jp/people/hironori/beamlines/rsxs/
- [2] https://asymmetry.hiroshima-u.ac.jp/
- [3] 「アシンメトリ量子物質における奇パリティ多極子の 観測と非対角物性応答」https://www2.kek.jp/imss/ pf/approach/proj/stype/2024S2-002.html
- [4] T. Kurumaji, M. Gen, S. Kitou, K. Ikeuchi, H. Sagayama, H. Nakao, T. R. Yokoo, T. Arima, Nature Commun. 16,

2176 (2025).

- [5] H. Abe, S. Maruyama, H. Kishimura, M. Uruichi, D. Okuyama, H. Sagayama, J. Phys. Chem. Lett. 15, 10668 (2025).
- [6] T. Ito, Y. Hayashi, S. Shimizu, J.-Y. Shin, N. Kobayashi, H. Shinokubo, Angew. Chem. Int. Ed. 51, 8542 (2012).
- [7] S. Kino, S. Ukai, N. Fukui, R, Haruki, R. Kumai, Q.Wang, S. Horike, Q. M. Phung, D. Sundholm, H. Shinokubo, J. Am. Chem. Soc. 146, 9311 (2024).

人事異動

新年度を迎えて多くの人事異動がありました。

4/1 に、構造生物学研究部門の研究員の MILLER, Simon さんが特任准教授として、材料科学研究部門の特別助教(テニュアトラック相当) の城戸大貴さんが助教として、それぞれ採用され、5/1 には固体物理学研究部門の助教として深谷亮さんが着任されました。

また、放射光科学第一、第二研究系に関連する人事異動として、4/1 に、CIQuS の博士研究員として、三上力久さん、安部美季さん、SONG、Fangzhou さんが着任されました(SONG さんは東海勤務)。6/1 には、新領域開拓室の准教授として武市泰男さん、特任専任 URA として藤井恵美さんが着任されます。

皆さんの今後の活躍を期待しています。

低速陽電子実験施設 和田 健 (2025 年 5 月 12 日付け)

はじめに

低速陽電子実験施設(Slow Positron Facility, SPF)では,専 用リニアックで加速された電子ビーム(~50 MeV)によっ て高強度低速陽電子ビームを生成し, 共同利用実験に供給 している。本施設で実施されている主な研究は、物質最表 面および表面直下の原子配列の解明、陽電子やポジトロニ ウム (Ps), Ps 負イオンといったエキゾチックな粒子や粒子 系の基礎物理ならびにそれらと物質との相互作用の解明で ある。共同利用実験には、全反射高速陽電子回折(TRHEPD、 トレプト), 低速陽電子回折 (LEPD, レプト), 低速陽電子 汎用実験(現在は Ps のレーザー冷却実験を実施中), ポジ トロニウム飛行時間 (Ps-TOF) 測定の4つの実験ステーシ ョンが利用されている。TRHEPD は電子による反射高速電 子回折 (RHEED) の陽電子版, LEPD は低速電子回折 (LEED) の陽電子版である。なお「低速陽電子」とは、負の陽電子 仕事関数を使う特殊な方法でエネルギーを単色化した陽電 子を指す呼称であり、その後に加速しても同じ呼称で扱わ れる。TRHEPD のビームも同様だが、この実験手法の呼称 については、歴史が長い RHEPD と名称を揃えて「高速」陽 電子回折と呼ばれる。さらに「全」反射が追加されている のは、電子にはない全反射が陽電子には起きるためである。

専用リニアックの管理・運転は、加速器研究施設第5研究系によってなされ、低速陽電子生成部から下流側の管理・運転は物構研SPFとPFが行っている。共同利用は放射光共同利用実験の一環として実施されており、2024年度の共同利用実施課題数は15課題、有効課題の実ユーザー数は53名、ユーザー実験の配分時間は4,088時間であった。なお、SPFでは、ビームタイム毎のタイムシェア方式で共同利用実験に供している(ビームを同時に複数の実験ステーションに供給することはできない)。

ビームラインの状況

2024年2月11日未明に、2次ビームラインの最上流から2番目に位置するビーム輸送用ソレノイドコイルへの電流供給配線において、接地電位と短絡する事象が発生した。これを受けて、2024年春の休止期間中に、放射線シールド内に設置されている当該コイルを含む4つのコイルへの配線を耐放射線性が比較的高いと思われるポリイミドテープ巻きガラス編組電線に交換した。運転中は現場近辺の線量が高くなることから、長期的な放射線照射によって配線被覆が劣化したことが原因と考えられるからである。春の休止期間中は、納期の都合により抵抗値が高めのワイヤを一時的に使用したが、2024年夏の休止期間に、あらためてより低抵抗のワイヤに交換した。

2024年度第2期より、SPF専用リニアックの加速電子パワーを増強しての運転が開始された。それまでは、加速電

子パワーを530 W 以下に制限した運転を行っていた。その理由となっていた加速器上階のクライストロンギャラリー実験室における線量率について再測定を実施したところ、値が十分に低いことが確認された。これにより、加速電子パワーを増強しても問題が無いと判断され、放射線管理室より上限1.2 kW での運転が認められた。2024年度第1期のユーザー運転終了後のスタディ期間中に、加速電子パワーを950 W 程度まで引き上げての試運転が実施された。2024年度第2期および第3期は、加速電子パワー930 W 程度でのユーザー運転を実施した。

2024年度第2期の運転において、低速陽電子ビームに変 動が生じ、それと連動して陽電子生成ターゲット部の電位 モニター出力にも大きな変動が観測された。この現象は、 ロングパルスモード (パルス幅 1.2 μs) において, 陽電子生 成ターゲット部に 5 kV を印加して運転する場合(LEPD実 験用) にのみ確認され、同じロングパルスモードでも 15 kV 印加時(TRHEPD用)や、ショートパルスモード(パルス 幅 14 ns) での運転時には変動は確認されなかった。変動が 生じた際には、加速器のビーム軌道やカレントの調整によ って一時的に安定する条件を見出すことができたものの、 半日ほど経過すると再び変動が発生するという傾向が見ら れた。変動の原因は現時点でも特定されていないが、LEPD 以外の実験に対する影響は無いことから、状況を注視しつ つ共同利用実験を継続した。なお、第3期の運転では同様 の変動は確認されなかったが、安定化の要因については明 らかになっていない。

2024 年度 11 月に、2 次ビームライン最上流部に設置されている真空インターロック用ゲージ GABI において真空ディスターブが発生し、それに連動して、2 次ビームラインのメインビームシャッター(MBS)として使用しているゲートバルブが閉じ、ビームが停止する事象が複数回発生した。調査の結果、原因は GABI のゲージコントローラの老劣化によるものであることが判明した。具体的には、真空値のログ取得コマンドを受信した際にエラーが発生し、その際、仕様上リレー接点が OFF 状態となることで、インターロック信号が変化しディスターブが引き起こされていた。応急処置として、当該ゲージに対する真空値ログ取得コマンドの送信を停止し、真空インターロック機能のみに専念させる設定とした。その後、当該ゲージコントローラを新品と交換し、真空値のログ取得を伴う運用を再開した。以降は同様の問題は発生していない。

低速陽電子実験施設 IF のクライストロンギャラリー実験室では、Ps のレーザー冷却および精密分光実験などの共同利用実験を効率的に進めるため、同室南側の実験スペース全体をレーザー用に間仕切りで囲い、レーザーブースとして運用する模様替えを実施した。この措置は、安全性と利

現

状

便性を両立する方法として、以前より安全衛生室およびレーザー安全担当者から推奨されていた方式である。2024年11月には、安衛室、施設部、放射線管理室、PF安全担当による現場確認および指導を経て、加速器および PFの運転当番向け説明会を実施し、運用を開始した。

2024年度第2期の運転から専用リニアックのビームモニターシステムに不調が生じていた。ビームカレントの値は正常にモニターできていたものの、ビームポジションの確認に支障が生じた。この問題に対し、2024年度冬の停止期間中に加速器シールドをあけて、現場での確認作業が行われ、専用リニアックビームのスクリーンモニター用のカメラに不具合があることが判明し、当該カメラの交換が実施された。カメラの不具合の原因として、放射線損傷が疑われたため、カメラの周囲をシールドで覆い、今後は定期的に放射線損傷の影響を確認することとなった。また、2024年度夏の休止期間中に電流モニター(CoreMonitor2、CM2)本体とケーブルが交換されたことに伴いゲインが数倍変化した。これに対応し、上流側の CM1 の電荷測定値に合わせるかたちで、較正が実施された。

実験ステーションの状況

2023年5月に実施された共同利用ユーザーによる実験に おいて、電子と陽電子から成る水素原子様束縛状態である ポジトロニウム (Ps) のレーザー冷却に世界で初めて成功 した。この成果は、2024年9月に論文として公表された。 Ps はレプトンのみで構成される特異な「原子」であり、束 縛系量子電磁力学(QED)を高精度に検証するための理想 的な系と考えられる。しかし、その寿命の短さ(スピント リプレットの基底状態で 142 ns) と, 質量の軽さ(水素原子 の 1/900 程度) に起因する広いドップラー広がりのため、長 年にわたり精密分光が困難とされてきた。この課題に対し、 中心周波数が段階的に変化するパルス列を出力する革新的 なレーザーシステムが、共同利用ユーザーによって開発さ れた。このレーザーを、低速陽電子汎用実験ステーション (SPF-B1) におけるショートパルスモードの高強度低速陽電 子ビームによる Ps 生成と組み合わせることで、Ps の 1 次元 冷却が実現した。これにより、分光できる Ps のうちおよそ 10%を600Kから1K程度にまで冷却することに成功した。

この成果は、Ps を用いた高精度分光や反物質の基礎物理に新たな進展をもたらすものと期待されており、英国物理学会(Institute of Physics, IOP)が発行する Physics World誌において、「Top 10 Breakthroughs of the Year in physics for 2024」の1つに選出された(https://physicsworld.com/a/top-10-breakthroughs-of-the-year-in-physics-for-2024-revealed/)。

次の段階として、Ps の 3 次元冷却実験に向けた準備が進められている。SPF-B1 のある低速陽電子実験施設 IF のクライストロンギャラリー実験室では、前述のレーザーブースの整備に加え、実験ステーションの全面刷新が進められた。新実験ステーションでは、ソレノイド磁場によって輸送された低速陽電子ビームを、Ps 生成およびレーザー分光が行われる非磁場領域に取り出すための新しいレンズ系を

導入した。このレンズ系は、もともと陽電子回折実験用に 開発を進めてきたものであり、Ps レーザー冷却・精密分光 実験にも適合している。実際にこの新レンズ系による試験 を実施したところ、Ps レーザー分光の信号の取得レートが、 従来と比較して約1桁向上していることが確認された。

低速陽電子回折(low-energy positron diffraction, LEPD)は、低速電子回折(LEED)の陽電子版にあたる手法であり、数10~数100 eV の陽電子ビームを主に垂直に試料表面へ入射し、回折パターンを取得するものである。LEPDは、X線と同様に単純な散乱因子を持つとともに、電子に比べて多重散乱の影響が小さく、表面感度が高いという特徴を備えており、試料表面の原子配列を高精度に決定できると期待されている。過去には、アイソトープ由来の陽電子を用いたLEPDによる構造解析が試みられていたが、ビーム強度が不十分であり、実験の遂行は困難であった。低速陽電子実験施設では、加速器ベースの高強度低速陽電子ビームを用いたLEPD実験ステーション(SPF-A4)を独自に開発し、LEPDの観測に成功していた。

その後、LEPD ステーションの改良を進め、2023 年度から 2024 年度にかけて、構造解析に必要な I-V 曲線(回折スポット強度の入射ビームエネルギー依存性)取得の桁違いの高速化を実現し、100 枚の回折パターンを 2 時間程度で取得できるようになった。また、新たに設計された試料ホルダーは、SPF-A4 の LEPD ステーションと PF BL-13B の角度分解光電子分光(ARPES)ステーションの双方で使用可能となっており、PF で開発された超高真空搬送ベッセルにより、同一試料・同一試料表面作成条件のもとで LEPD とARPES 測定を連携して行う環境が整備された。現在、新LEPD 実験ステーションによる構造解析の検証が Cu(001)表面をベンチマークに用いて進行中であり、既に LEED を越えた実験と計算の高度な一致が得られることが確認できている。

この解析には、全反射高速陽電子回折(TRHEPD)向け開 発が開始され、その後さまざまな量子ビーム計測手法の汎 用データ解析プラットフォームとして整備された「2DMAT」 (ツーディーマット)を用いている。2DMATは、ポピュレ ーションアニーリングモンテカルロ(PAMC)法などを取 り入れた大域探索型の逆問題解析プラットフォームであり、 局所解に陥ることなく正しい大域解を見出すことが可能な 画期的な解析フレームワークである。そのことが保証され ているために、物理的に妥当でない解が得られたとき、そ れが局所解である可能性にあまりとらわれることなく、効 率的に、実験データあるいは解析コードも含めた広い視点 から原因の特定と改良ができる。これは大きな利点である。 実際に LEPD 解析においては、実験データにおける系統的 なずれ(くり返し実験によって明らかにすることのできな い不確かさ)を見出し、検出器と測定法の改良を行った。 さらに, 計算コードや計算条件の見直しや最適化を効率的 に進めている。

陽電子回折実験(TRHEPD と LEPD)では、磁場によって 輸送された低速陽電子ビームを、ビーム輸送用ソレノイド 磁場から開放したのち、透過型減速材(リモデレータ)に 収束させて輝度を増強している。透過型リモデレータとし て、TRHEPD 用に厚さ 100 nm の W 結晶、LEPD 用に厚さ 150 nm の Ni 結晶を用いており、輝度を増強したいビームを これらへ高効率に収束入射することは、ビーム技術開発の 核心をなす要素である。これまでの開発により、磁性体薄 膜による遮蔽構造と磁場収束レンズの組合せによって、ビ ームの輸送効率と収束性能の向上を実現した。さらに、磁 場遮蔽構造と磁場収束レンズの距離をつめた光学系の改造 を行い、最終段の磁場収束レンズによって形成されるビー ム径は, 改造前の 1.7 mm から 1.0 mm へと大幅に縮小され, 中心強度も桁違いに増大した。単位面積あたりの陽電子密 度としては約2桁の向上が達成されており、これに対応す る下流側の静電レンズシステムの開発によって、陽電子回 折装置全体の革新的な性能向上が期待される。この新レン ズ系は、すでに前述の3次元Psレーザー冷却実験ステーシ ョンにも導入し、使用が開始されている。さらに、磁場遮 蔽グリッドと磁場収束レンズとの距離を可能な限り詰めた 新たな光学系を開発中である。

人事異動

低速陽電子実験施設の博士研究員だった Rezwan Ahmed 氏が、2025年1月1日付で放射光科学第1研究系・表面科学研究部門の特別助教に異動した。Ahmed 氏は、光電子分光や軟 X線吸収分光といった放射光利用実験に加え、次期放射光源の活用も視野に入れつつ、低速陽電子をはじめとする他の量子ビームも組み合わせた多様な手法による表面科学研究の推進が期待されている。また、物構研量子ビーム連携研究センター(CIQuS)の博士研究員として、三上力人(りき)氏が2025年4月1日付で着任した。物構研SPFの准教授だった本稿執筆者の和田健が、2025年4月1日付で同施設の教授に昇任した。

血液凝固因子の正常な分泌に必須なカーゴ受容体のクライオ電子顕微鏡構造解析

渡部 聡, 稲葉謙次 九州大学 生体防御医学研究所

Cryo-EM Structure of a Cargo Receptor for Normal Secretion of Blood Coagulation Factors

Satoshi WATANABE, Kenji INABA Medical Institute of Bioregulation, Kyushu University

Abstract

血液凝固因子などの分泌タンパク質の細胞内輸送を担うカーゴ受容体 ERGIC-53 について、サイズ排除クロマトグラフィー - 多角度光散乱法(SEC-MALS)、サイズ排除クロマトグラフィー - 小角 X線散乱法(SEC-SAXS)、およびクライオ電子顕微鏡を用いた構造解析に取り組んだ。その結果、全長 ERGIC-53 は四葉のクローバーに類似した四量体構造を取ることが明らかになり、ストーク領域の動的な構造変化の可視化に成功した。また補助因子 MCFD2 の亜鉛結合部位が明らかになり、亜鉛を利用したカーゴ輸送制御機構が示唆された。

1. はじめに

血液凝固因子などの分泌タンパク質は、細胞内小器官である小胞体において合成後、積荷(カーゴ)として特異的なカーゴ受容体によって認識され、効率よく細胞外へと分泌される。カーゴ受容体の一つである ERGIC-53 は、補助因子 MCFD2 と協同して機能しており、血液凝固第 V 因子、第 VIII 因子や、アンチトリプシンなどの分泌糖タンパク質を小胞体で捕獲し下流のゴルジ体に輸送する役割を担っている。ERGIC-53 や MCFD2 の遺伝性変異は、先天性血管疾患の原因であることが知られている。ERGIC-53 は、細胞表層膜タンパク質やコロナウイルスなど RNA ウイル

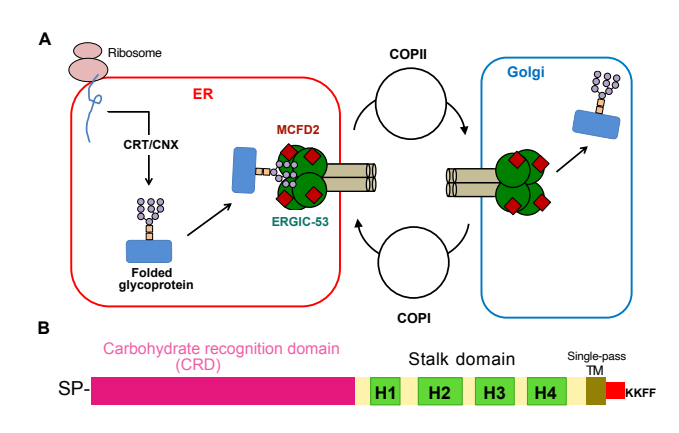


Figure 1 A.Cargo transport by ERGIC-53. In the early secretory pathway, newly synthesized secretory glycoproteins and membrane proteins are transported by ERGIC-53 complexed with MCFD2 from the endoplasmic reticulum to the Golgi apparatus. Target cargo proteins include blood coagulation factor V (FV) and factor VIII (FVIII), α1-antitrypsin, IgM, ERp44, several membrane proteins such as GABA_ARs, and envelope glycoprotein from arenavirus coronavirus. B. Domain architecture of ERGIC-53.

スの表面糖タンパク質の細胞内輸送にも関与していること が報告されている (Fig. 1A) [1]。

ERGIC-53 は、一回膜貫通タンパク質であり、積荷の糖鎖を認識するドメイン(Carbohydrate recognition domain、CRD)、ストークドメイン、膜貫通へリックスで構成される(Fig. 1B)。C 末端の KKFF モチーフは、小胞体とゴルジ体間のサイクルに必要と考えられている。これまでにERGIC-53 の CRD については、立体構造が結晶構造解析によって決定され、糖鎖の認識機構の一端が明らかにされてきた。しかし、全長 ERGIC-53 の立体構造は未解明であり、どのように様々な積荷タンパク質を ERGIC-53 が認識し輸送するかについては、ほとんど未解明であった。

2. 全長 ERGIC-53 の SEC-MALS/SAXS 解析

我々は、全長 ERGIC-53 の分子機構を明らかにするため、その構造機能解析に取り組んだ。ヒト由来全長 ERGIC-53 について、HEK293T 培養細胞を用いた高発現系を構築し、試行錯誤の上、高純度試料の精製方法を確立した。これまで ERGIC-53 は六量体として機能していると長年考えられてきた [2]。しかし、従来の六量体モデルは Native-PAGE での泳動度などに基づいた間接的な推定であり、我々は ERGIC-53 の会合状態を再検証する必要があると考えた。そこで溶液中の絶対分子量を測定することができる SEC-MALS 法を用いて ERGIC-53 の絶対分子量を解析した [3]。

通常の SEC-MALS 解析では、対象タンパク質分子について、ゲル濾過クロマトグラフィーで分離された画分の溶液中の分子量が決定される。そのため膜タンパク質の場合は、膜タンパク質と付着している界面活性剤分子との総分子量が決定される。そこで本研究では、膜タンパク質および界面活性剤それぞれの試料の濃度変化 (dc) に対する屈

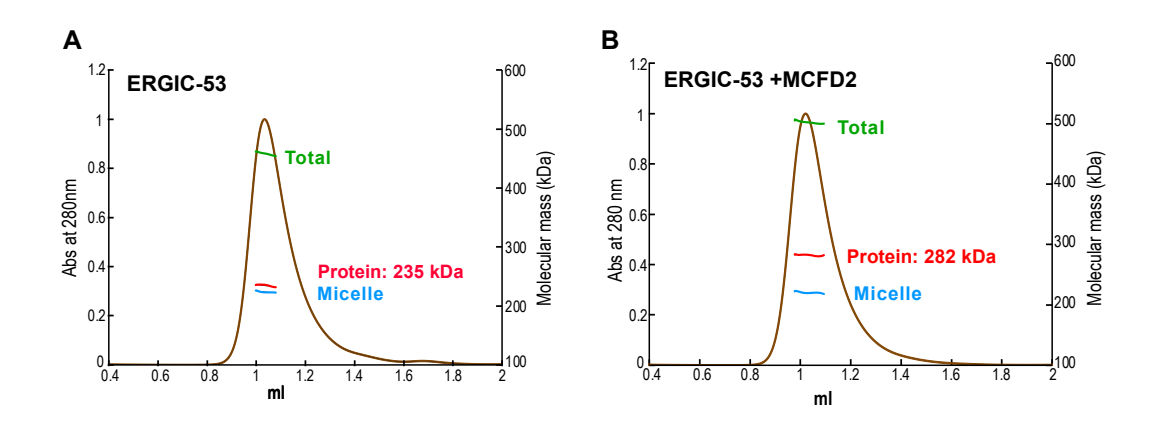


Figure 2 A.B. The SEC-MALS profiles of ERGIC-53 (A) and its complex with MCFD2 (B). Masses of the peak fractions determined by SEC-MALS analysis are indicated by the red lines for protein mass, cyan for micelle mass, and green for total mass.

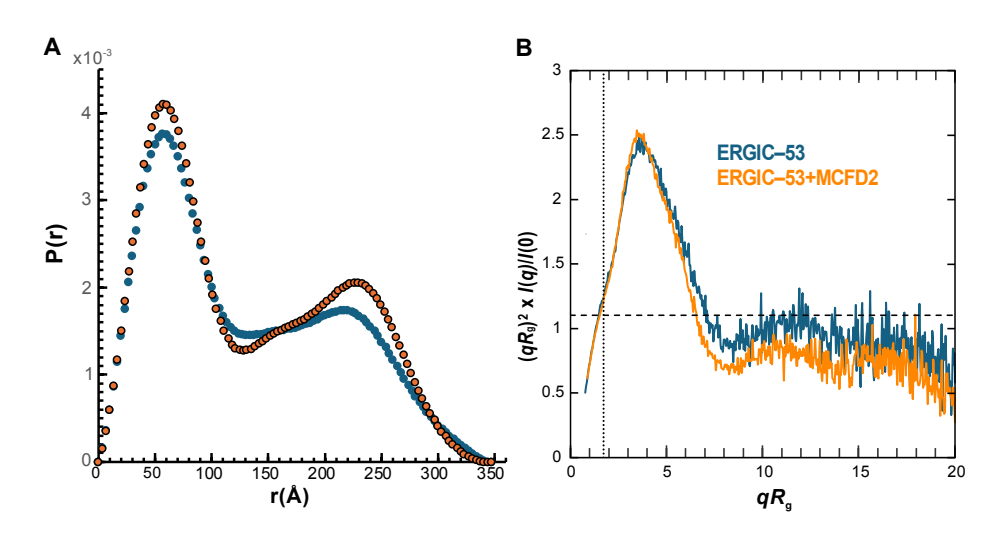


Figure 3 A. Pair distance distribution functions P(r) of ERGIC-53 (blue) and its complex with MCFD2 (orange) determined from the SAXS profiles.
 B. The dimensionless Kratky plots of ERGIC-53 (blue) and the complex (orange) determined from the SAXS profiles. The dotted and dashed lines represent the positions of √3 and 3/e, respectively, and the peak appears at this cross point for a typical globular protein

折率変化 (dn) の割合である dn/dc 値に基づき、吸光度変化 と屈折率変化の両方を解析に用いた conjugate 解析によって、膜タンパク質と界面活性剤の分子量を個別に求めた。解析の結果、ERGIC-53 単独の分子量が 235 kDa と推定され、ERGIC-53 は六量体(理論値:331 kDa)ではなく四量体(理論値221 kDa)で存在していることが示された(Fig. 2A)。一方、ERGIC-53 と MCFD2 との複合体は282 kDa と推定され、ERGIC-53 四量体に対して MCFD2 が 1 分子ずつ結合して複合体を形成している(理論値:277 kDa)ことも分かった(Fig. 2B)。

さらに全長 ERGIC-53 の溶液構造情報を得るために、 KEK-PF のビームライン BL-15A2 を利用して SEC-SAXS 解析に取り組んだ (Fig. 3) [3]。タンパク質分子内の二点間距離分布を表す P(r) 関数では、二つの離れたピークが観察され、ERGIC-53 は分子長が 340Å と非常に長く、ダンベル型の構造をとっていることが示唆された (Fig. 3A)。またタンパク質のフォールディング状態を評価する dKratky プロットにおいて、MCFD2 の存在下では高い $qR_{\rm g}$ 領域においてピーク値が低く、MCFD2 との複合体形成に より ERGIC-53 の柔軟な動きが抑制されることが示唆された (Fig. 3B)。

2. ERGIC-53 のクライオ電子顕微鏡構造解析

2.1 ヘッド領域の高分解能構造

次に、全長 ERGIC-53 の立体構造をより詳細に明らかにするため、ERGIC-53 と MCFD2 との複合体のクライオ電子顕微鏡単粒子解析に取り組んだ [3]。グリッドのスクリーニングおよびデータ収集では、東京大学大学院医学系研究科に設置されている Titan Krios(Thermo Fisher 社製)と東北大学未来型医療創成センターに設置されている CRYO ARM 300 II(JEOL 社製)を利用した。SEC-SAXS の結果から予想されたように、撮影した電子顕微鏡画像では、全長 ERGIC-53 の長く伸びたダンベル状の粒子が観察された。このユニークな形ゆえに、汎用的な自動粒子拾い上げプログラムでは、全長 ERGIC-53 粒子を認識することはできなかった。代わりに、ダンベル両端の重りにあたる球状部分を独立な粒子として拾い上げることによって、各領域の構造解析に取り組み、最終的にヘッド領域構造を 2.53Å

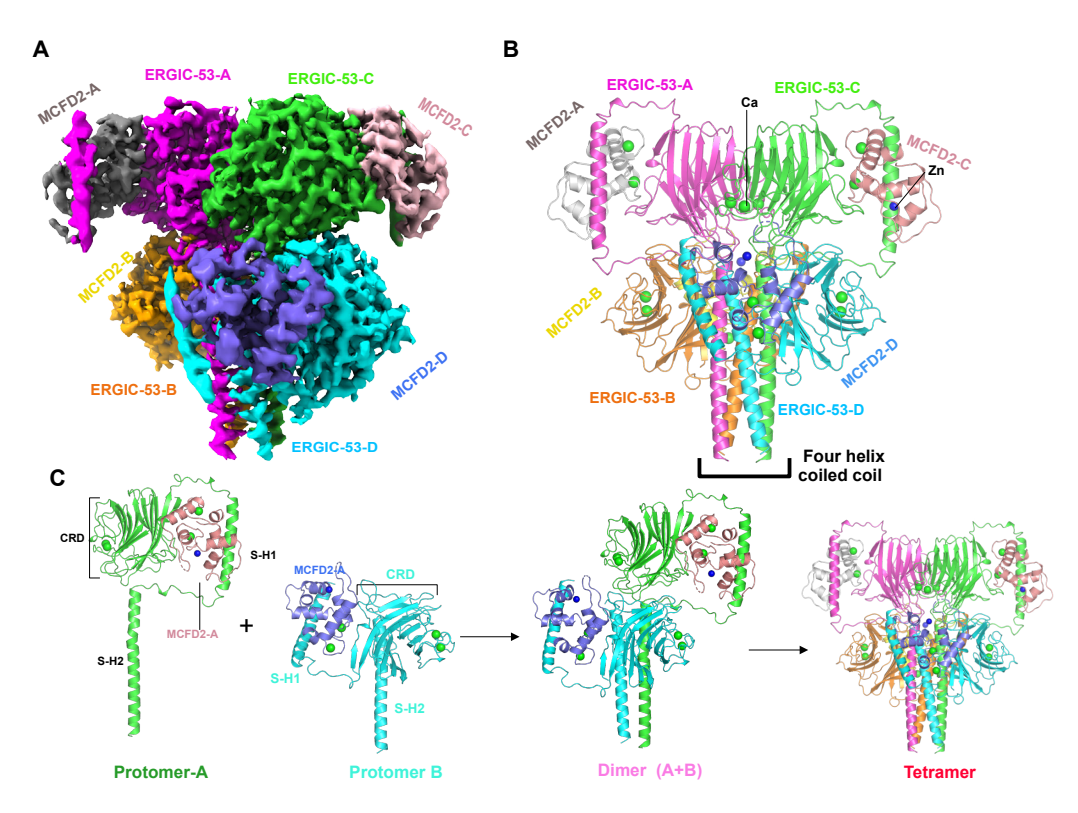


Figure 4 A, B Cryo-EM map (A) and structure (B) of the head region of the ERGIC-53-MCFD2 complex at 2.53Å resolution. Four ERGIC-53 protomers and four MCFD2 molecules are shown in different colors. Green and blue spheres represent calcium and zinc ions, respectively. C. Details of the tetrameric head assembly. Protomer-A with an upper-CRD configuration and protomer-B with a lower-CRD configuration form a dimer with vertically assembled CRDs, and then the two dimers are associated to form the tetramer with the four-helix coiled coil.

分解能で決定した(Fig. 4A)。ヘッド領域は、CRD、ストークへリックス H1、H2 で構成されており、長いストークへリックス H2 が、中央で 4 本集まって 4 ヘリックス・コイルドコイル構造を形成することで、ERGIC-53 が四量体を形成することが分かった(Fig. 4B)。補助因子 MCFD2 は、ERGIC-53 の各 CRD およびストークへリックス間のループで形成された窪みに格納されており、ヘリックス H1 との相互作用が見られた(Fig. 4C)。興味深いことに、四量体中の 4 つの CRD は、並行に配置しているのではなく、2 つの CRD が上下に重なった二量体がさらに合わさって安定な 4 量体を形成することが分かった。

2.2 全長 ERGIC-53 の柔軟な構造変化の可視化

次に全長での構造解析に取り組んだ。まずヘッド領域の粒子座標を利用して、一部(~100枚)の電顕画像から全長 ERGIC-53 粒子を手動で拾い上げた。これらの粒子を、畳み込みニューラルネットワークを利用した自動粒子拾い上げプログラム(Topaz)[4]に学習させることで、全長粒子の自動粒子拾い上げに成功した。切り出した粒子群の二次元クラス平均像では、全体的に真っ直ぐなコンフォメーションをとったものや、大きく曲がった粒子が見られ、ストーク領域の柔軟性が示唆された(Fig. 5A)。さらに真っ直ぐなコンフォメーションの粒子を利用して、全長ERGIC-53-MCFD2 複合体の3次元電顕マップを6.8Å分解能で決定した(Fig. 5B)。

全体構造は、四葉のクローバーに類似した構造を取って おり、4 つの CRD を中心として構成されたヘッド領域、3 組の4ヘリックス・コイルドコイルで構成された細長いス トーク領域、および膜貫通へリックス領域で構成されてい る (Fig. 5B)。SAXS の結果から予想されたように、全長 の分子長は約340Åであり、現在報告されている膜タンパ ク質の立体構造としては、もっとも"背が高い"構造であ った。さらに三次元変動解析によって、決定した電顕マッ プの動的な動きを調べた結果、ストーク領域が、コイルド コイル間のループ領域を曲折点として柔軟に動いている様 子を可視化することができた (Fig. 5C)。実際, 測定した 全長 ERGIC-53 粒子の二次元平均像では、ストーク領域が さらに 90 度近く曲がった像も観察されており (Fig. 5A), ストーク領域が大きく動いていることが示された。以上の 結果から, ストーク領域やヘッド領域の可動性を利用し, カーゴ結合部位であるヘッド領域の高さを調節すること で、ターゲットの積荷分子を認識していることが示唆され た。

2.3 亜鉛イオンによるカーゴ結合解離機構

過去に報告された MCFD2 の結晶構造では、N 末端領域の電子密度が確認されず、その領域の構造は未決定であった。一方、今回のクライオ電顕構造では、この領域の密度マップが観察され、 α ヘリックスのモデルを構築することができた(Fig. 6A)。興味深いことに、MCFD2 の N 末端

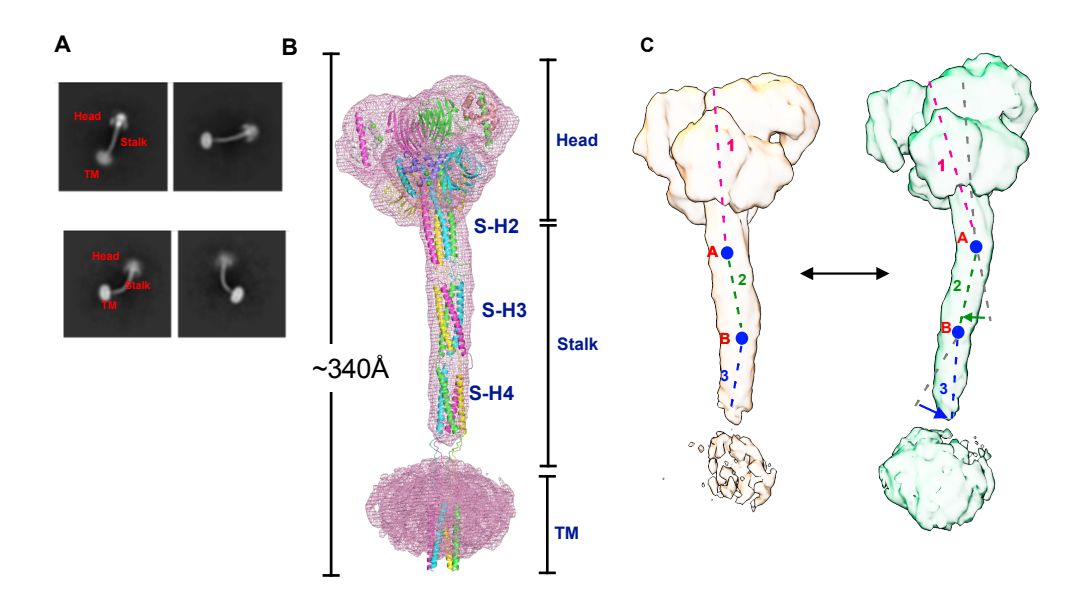


Figure 5 A: Representative 2D class-average images of the full-length ERGIC-53 particles. Some particles assume straight conformations (upper panels), while others show largely bent conformations (lower panels). B. Cryo-EM map and structure of the full-length ERGIC-53- MCFD2 complex with a straight conformation. C. 3D Variability Analysis (3DVA) of full-length ERGIC-53, revealing continuous conformational changes from the first (light orange) to the last frame (green). Blue circles represent hinges between the segments 1, 2, and 3 indicated by broken lines.

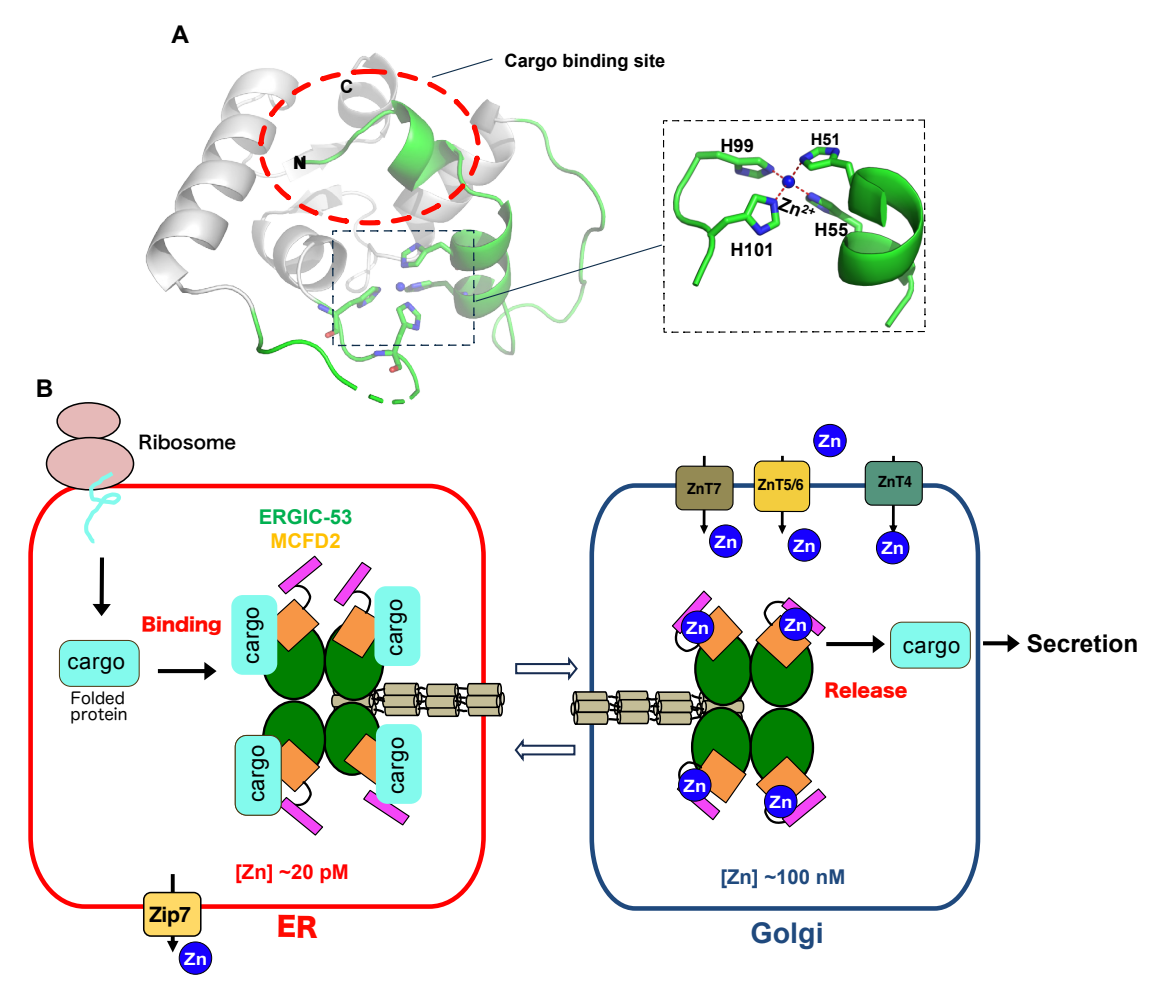


Figure 6 A. The updated structure of MCFD2 complexed with ERGIC-53 based on the present cryo-EM map. The newly built N-terminal segment and loops are colored in green. The proposed cargo binding site in MCFD2 is indicated by a red broken circle. The inset shows a close-up view of a zinc binding site formed by the four His residues of MCFD2. **B.** A working model of zinc-dependent cargo binding and release by ERGIC-53 and MCFD2 in the secretory pathway.

領域において、4つの保存されたヒスチジン残基が集まり、 亜鉛結合部位を形成していることが明らかになった。 興味深いことに、このN末端領域の α へリックスはMCFD2 の積荷結合部位を覆っており、亜鉛結合型のMCFD2では 積荷の結合が妨げられている、別の言い方をすれば亜鉛結 合によって積荷の解離が促進されることが示唆された。

以上の結果から、亜鉛を利用したカーゴの結合・解離機構を提唱した(Fig. 6B)。小胞体では、遊離亜鉛濃度が数 pM レベルに保たれており、ERGIC-53 は、小胞体において積荷を捕獲する。一方、最近我々は、ゴルジ体では亜鉛トランポーターによって亜鉛が取り込まれ、遊離亜鉛濃度が高く保たれていることを明らかにしている [5]。そのためゴルジ体において、亜鉛が MCFD2 に結合することで、ERGIC-53 から積荷の解離が促進されることが示唆され、分泌経路における亜鉛の新たな生理機能を提唱するに至った。

3. まとめ

本研究において、ヒト由来 ERGIC-53 の柔軟な全長構造を高分解能で初めて明らかにし、分泌タンパク質の輸送機構の一端が明らかになった。現在、血液凝固因子などの対象カーゴと ERGIC-53 との複合体のクライオ電顕構造解析に取り組んでおり、構造解析によってカーゴ認識の分子基盤を明らかにしたいと考えている。またカーゴ輸送過程のリアルタイム観察に取り組むことで、積荷認識から輸送までの詳細な分子機構の解明を目指したい。一方、本研究によって、亜鉛イオンの新たな生理機能が明らかになり、亜鉛の恒常性維持の破綻と分泌異常との関係性や、様々な疾病との因果関係の解明がさらに進むことが期待される。

謝辞

本研究は、筆者らが東北大学在籍時に実施した研究であり、SEC-MALS および SEC-SAXS 実験(BL-15A2、課題番号 2020RP-11)では、高エネルギー加速器研究機構の米澤健人博士(現:奈良先端科学技術大学院大学)、清水伸隆教授(現:理化学研究所)、クライオ電子顕微鏡実験では東京大学の木瀬孔明博士、濡木理教授にご協力いただき達成できた成果である。改めて深く感謝申し上げます。また本研究は、科研費(JP18K06075、JP23K18193、JP21H0525)、AMED-CREST(JP21gm1410006)、AMED-BINDS(JP21am0101115、JP21am0101071、JP23ama121012、JP21am0101095、JP23ama121038)、持田記念医学薬学振興財団、内藤記念科学奨励金の支援のもと行われた。

引用文献

- [1] Y. Zhang, V. Srivastava and B. Zhang, Biochem. Soc. Trans. **51**, 971 (2023).
- [2] YC. Zhang, Y. Zhou, CZ. Yang and DS. Xiong, Histol Histopathol. 24(9), 1193 (2009).
- [3] S. Watanabe, Y. Kise, K. Yonezawa, M. Inoue, N. Shimizu, O. Nureki and K. Inaba, Nat Commun. 15(1), 2404 (2024).
- [4] Bepler, T. et al. Nat. Methods 16, 1153 (2019).

[5] Y. Amagai, M.Yamada, T. Kowada, T. Watanabe, Y. Du, R. Liu, S. Naramoto, S. Watanabe, J. Kyozuka, T. Anelli, T. Tempio, R.Sitia, S. Mizukami and K. Inaba, Nat Commun. 14(1), 2683 (2023).

(原稿受付日:2024年12月13日)

著者紹介

渡部 聡 Satoshi WATANABE



九州大学生体防御医学研究所 准教授 〒812-8582 福岡県福岡市馬出

e-mail: satoshi.watanabe.979@m.kyushu-u. ac.jp

略歷:2006年京都大学大学院理学研究科博士課程研究指導認定退学。博士(理学)。

2007年京都大学博士研究員,2013年東北大学多元物質科学研究所助教を経て2024年より現職。

最近の研究:カーゴ輸送機構とタンパク質品質管理機構の 構造生物学的研究。

稲葉謙次 Kenji INABA



九州大学生体防御医学研究所 教授 〒812-8582 福岡県福岡市馬出

e-mail: kenji.inaba@bioreg.kyushu-u.ac.jp 略歷: 1998 年京都大学大学院工学研究 科博士課程修了。博士(工学)。1998 年 Medical Research Council 博士研究員, 2000

年京都大学ウイルス研究所博士研究員,2002 年さきがけ21 研究員,2006 年九州大学生体防御医学研究所 特任准教授,2013 年東北大学多元物質科学研究所教授を経て2024 年より現職。

最近の研究:細胞内の化学環境恒常性維持とタンパク質恒 常性維持の分子構造基盤。

水分解用光触媒電極の固液界面反応の 波長分散型軟 X 線吸収分光法によるリアルタイム・オペランド観察

阪田薫穂, 雨宮健太 高エネルギー加速器研究機構 物質構造科学研究所

> Real-time and *Operando* Observation of Intermediates at the Solid-liquid Interface of Photocatalyst Electrode using Wavelength-dispersive Soft X-ray Absorption Spectroscopy

> > Kaoruho SAKATA, Kenta AMEMIYA IMSS, High Energy Accelerator Research Organization

Abstract

近年、カーボンニュートラルの実現に向けて様々な研究が行われているが、その中でも、水分解用触媒電極を用いた水素発生反応は、生成した水素を環境負荷の低い次世代エネルギーの一つとして使用できるため様々な研究が行われている。水分解用触媒電極は、酸素発生電極のアノード材料と組み合わせてデバイスとして用いられるが、酸素発生電極は性能のボトルネックになっており、また反応素過程も不明点が多い。我々が独自に開発した波長分散型軟X線吸収分光法では、時間分解能 $3\sim10$ 秒毎でのスペクトル取得が可能であり、固液界面における電気化学反応の解析が行えるシステムと組み合わせて、リアルタイム・オペランド観察を行うことができる。本研究では、この手法を用いて、薄膜電極上に担持した酸化チタンを用いて光触媒電極とし、その電位掃引中の酸素発生反応を UV 光照射しながらリアルタイムで測定を行い、酸素の K 吸収端に着目して、電極/溶液界面での酸素発生や反応中間体について観察を行った。

1. はじめに

1-1. 軟 X 線吸収分光を用いたリアルタイム測定と電気化学 反応場の観察

軟X線領域のX線吸収分光法(XAS)は、化学組成の解 析等非常に有用な手法であるが[1]、従来の手法では1つ のスペクトルを取得するための測定時間が分単位で必要 である。硬 X線ではクイック XAFS (QXAFS) [2] や,波 長分散吸収分光 (DXAFS) [3] の手法を用いて一度にスペ クトル取得する方法が開発されているが、これらを軟X線 領域に適用するには分光の方法や検出の方法が異なるた め困難であり、そのため、これまでに軟 X 線吸収分光のリ アルタイム測定は行われていなかった。近年、我々が独自 に開発した波長分散型軟X線吸収分光では、波長分散した 軟X線を試料に照射し二枚の球面ミラーを用いてサンプ ルからの蛍光X線を位置分解できるように集光し、軟X 線用 CCD / CMOS カメラでそれらを一度に検出すること で、吸収分光のスペクトルをワンショットで取得でき、時 間分解能3~10秒毎でのリアルタイム測定が可能となっ た[4]。蛍光収量を用いているため、準大気圧下での測定 なども行うことができる[5,6]。本手法を用いると、化学 反応等の時間変化を解析することが可能である。

本研究は、この波長分散型軟 X 線吸収分光を電気化学系の解析に応用したものである。軟 X 線吸収分光を用いて

固液界面反応の解析を行うことで、これまで硬X線からの みでは明らかになっていなかった軽元素を有する固液界面 (水溶液から生じる化学種、電極表面に生じた酸化物、酸 素の吸着種) についての知見を得ることが可能となる。

これまで、軟X線吸収分光をリアルタイムで測定し、3 電極式の電気化学系の解析(電位の変化に対する電極界面 の観察)を行った報告は殆ど見られなかった。固定の入射 エネルギーでのオペランド測定 (Potentiodynamic XAS [7]) は、唯一リアルタイムで吸収分光を行う方法として報告さ れていたが、この手法からのみでは、電位の変化に伴い、 吸収分光のピークシフトが起きる系は追随できない。それ らの問題点を克服するために、我々のグループでは、世界 に先駆けて, 蛍光収量波長分散型軟 X 線吸収分光を用いて, 固液界面での化学反応に対し、10 eV 程度の幅の吸収分光 スペクトルを連続取得することによりリアルタイムで観察 できる手法を開発した。幾つかの実験を行っているうち [8,9], 水分解用の光触媒電極の酸素発生反応に着目し、電 位を掃引しながら(かつ、UV 光を照射しながら)リアル タイムで酸素を含む化学種の観察を行ったので[10],本稿 で紹介したい。

1-2. 水分解用の光触媒電極の研究背景

太陽光を用いて水を水素と酸素に分解できる半導体光触

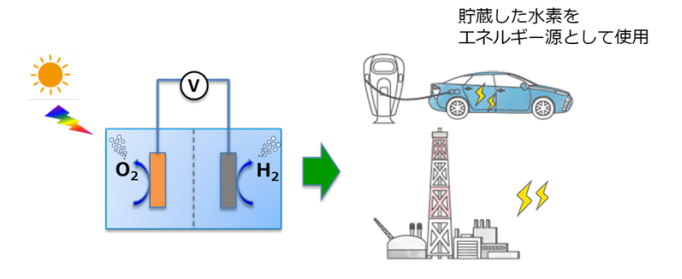


Figure 1 Hydrogen generation through water electrolysis and the use of renewable energy

媒は、生成した水素をエネルギーとして使用できるため、環境負荷の低い次世代エネルギー源の一つである(Fig. 1)[11,12]。この半導体光触媒はp型半導体材料でできた水素発生電極とn型半導体材料でできた酸素発生電極を組み合わせてデバイスとして用いられている。酸素発生電極は水素発生電極に比べ、性能のボトルネックになっているため、システム全体の性能向上のために、酸素発生電極の性能向上が必須である。電極上での酸素発生反応は4電子移動の水の酸化反応であることが知られているが、この反応過程には未だ不明点が多い。特に、光触媒による水分解反応は固液界面での反応を扱うため、固液界面で生成する化学種と、その反応がどのように触媒活性に影響を与えるかを明らかにすることは大切である。

本研究では、酸素発生電極のモデル触媒として、薄膜電極上に担持した半導体光触媒酸化チタン (TiO₂) [13] を用い、電位掃引中の酸素発生反応をリアルタイムで測定を行い、酸素の K 吸収端に着目して、電極/溶液界面での酸素発生や前駆体の吸着分子について観察を行った。また、UV 光を照射した場合と照射しない場合での違いの比較や、電極/溶液界面での反応中間体についての観察も行った。

2. 実験方法

電気化学測定はPtを対極,Ag/AgClを参照極とした3電極法で行い,対極や参照極をセルの上部から設置するセ

ル構成となっている(Fig. 2 左図)。電気化学測定はオートマチックポラリゼーションシステム(HSV-110 北斗電工)を用いて行った。電解液は 0.1 M NaOH (pH 13) を用いた。導通層の Au (10 nm) は,下地層として Cr (1 nm) を成膜した後に, Si_3N_4 窓材に直接成膜されている。その上に,触媒層の TiO_2 (15 nm) をスパッタ法(VQS-101, Veqtor Engineering)によって成膜した。窓材の裏面(固液界面と逆側)から軟 X 線を照射し,固液界面近傍に X 線が届き,そこから放出される蛍光 X 線が Si_3N_4 窓材の裏面(入射 X 線と同じ側)にまで十分透過されるようにサンプルを設計している。 Si_3N_4 窓材(NTT-AT Japan)の薄膜は厚み 200 nm,窓部分が 1 mm $\times 3$ mm のものを用いている。

実験は高エネルギー加速器研究機構(KEK)の放射 光施設 Photon Factory のビームライン BL-16A にて行っ た。波長分散型軟 X線吸収分光の測定では、O K端近傍 (530 eV)の軟 X線を得るために、500-lines/mmの回折格 子を用いている。また、サンプルからの蛍光 X線は軟 X線用 CMOS カメラ (Marana-X, Andor)を用いて検出した (Fig. 2 右図)。本システムを用いて、XAS Xペクトルは X3 秒毎に取得している。

3. 結果・考察

電極の電位を 0.1 V vs. RHE から 1.6 V まで掃引している間に、同時に O K 端の XAS スペクトルをリアルタイムで(測定を止めたり、セッティングを変えたりせずに、連続で)取得した。その時に得られた電流値を Fig. 3 に示す。 0.1 V vs. RHE から 1.6 V まで、UV 照射ありの場合と UV 照射なしの両者とも、2 サイクル電位を掃引したが、UV 光照射ありの場合と UV 光照射ありの場合で電流値に差がみられた(Fig. 3)。UV 光照射ありの場合となしの場合の両方で、電極電位約 0.9 V vs. RHE のときに電流が増加しているが、酸素発生反応の開始電位は約 1.7 V であるため、導電層(Au や Cr)の酸化に関連している可能性が考えられる。

電極の電位を 0.1 V vs. RHE から 1.6 V まで掃引 (Fig. 3)

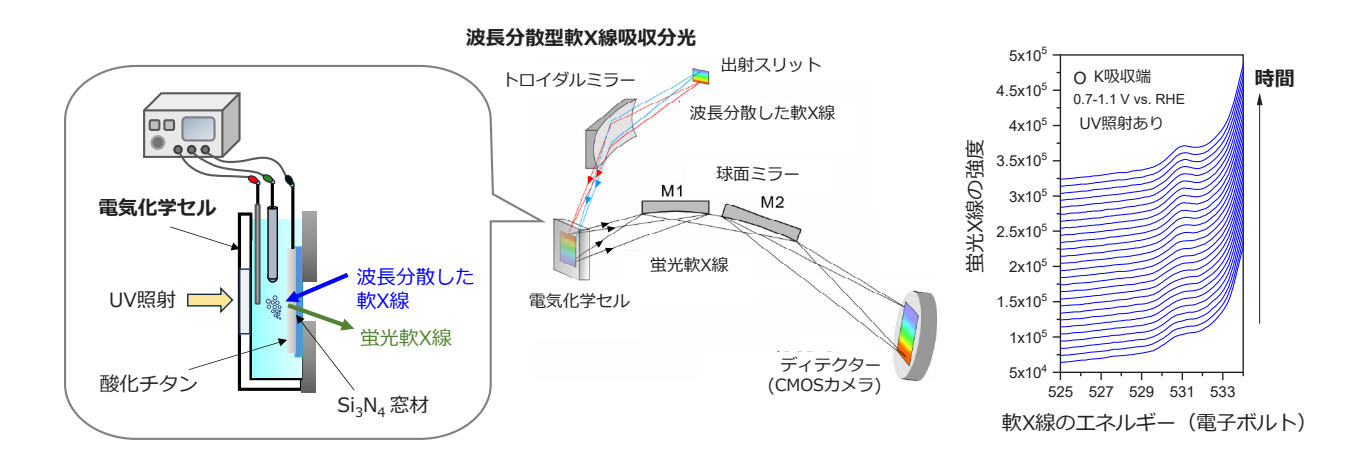


Figure 2 Schematic of wavelength-dispersive XAS apparatus (right side) and the dedicated electrochemical measurement cell (left side). XAS spectra are obtained in real-time, and spectrum changes correspond to applied potential.

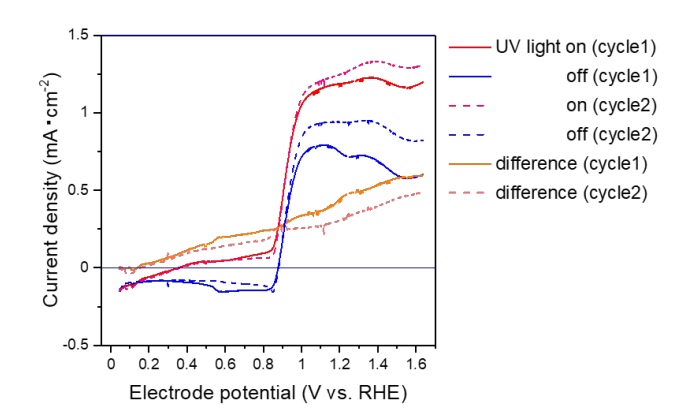


Figure 3 The linear sweep voltammogram (LSV) of the electrode obtained during the XAS measurement when the electrode potential was swept from 0.1 V vs. RHE to 1.6 V. The figure is for potential sweep cycle 1 and cycle 2, with and without UV light.

している間に、同時に O K 端の XAS スペクトルをリアルタイムで取得した経時変化を、スペクトルを下から上に並べて等値線マップで示した結果を Fig. 4 に示す。 Fig. 4(a) は UV 光照射ありの場合、 Fig. 4(b) は UV 光照射なしの場合の結果となっている。また、両者の差を見やすくするために、差分を取ったものを Fig. 4(c) に示す。 UV 光照射しているとき、533.8 eV 付近にピークがみられ、電位の掃引とともにその強度が変化した。このピークは、光照射し

ていないときにはみられなかったため、水分解により触媒表面近傍に現れる酸素種に起因することが考えられる。531.2 eV でも電位掃引に伴い、ピーク強度の変化がみられるが、これは UV 光照射ありの場合となしの場合の両方で観察され、0.9 V vs. RHE 以上の領域でピーク強度が増加したため(Fig. 5(a))、Au もしくは Cr の酸化による変化である可能性が考えられる。

一方で、Fig. 5(b) に示すように、533.8 eV のピーク強度は、比較的低い電位から徐々に増加し、0.7~0.8 V では減少する傾向が示された。一般に、ある素反応で生成した化学種が、それに続く素反応によって消費されると、XASのピーク強度の変化は観測できない可能性があるが、反応速度が遅い律速段階の化学種が表面に蓄積すると、ピーク強度が増加すると考えられる。そのため、533.8 eV のピーク変化は次のように解釈できるだろう。低電位では、酸素発生反応の反応律速の中間体が電極表面に蓄積し、高電位では、律速段階の反応、ひいては酸素発生反応全体が促進され、533.8 eV で観察される中間体が減少することになる。これまでの先行研究による、Co(OH)2 と Ni(OH)2 の O K 端XAS スペクトルが 533.8 eV 近辺で観察されていることから、533.8 eV のピークは MOH 種(M は金属)に帰属すると推測される [9,14,15]。

このように、本手法を用いて、電位や UV 光照射で固液 界面にどのような酸素種があるかを解析することが可能と なった。

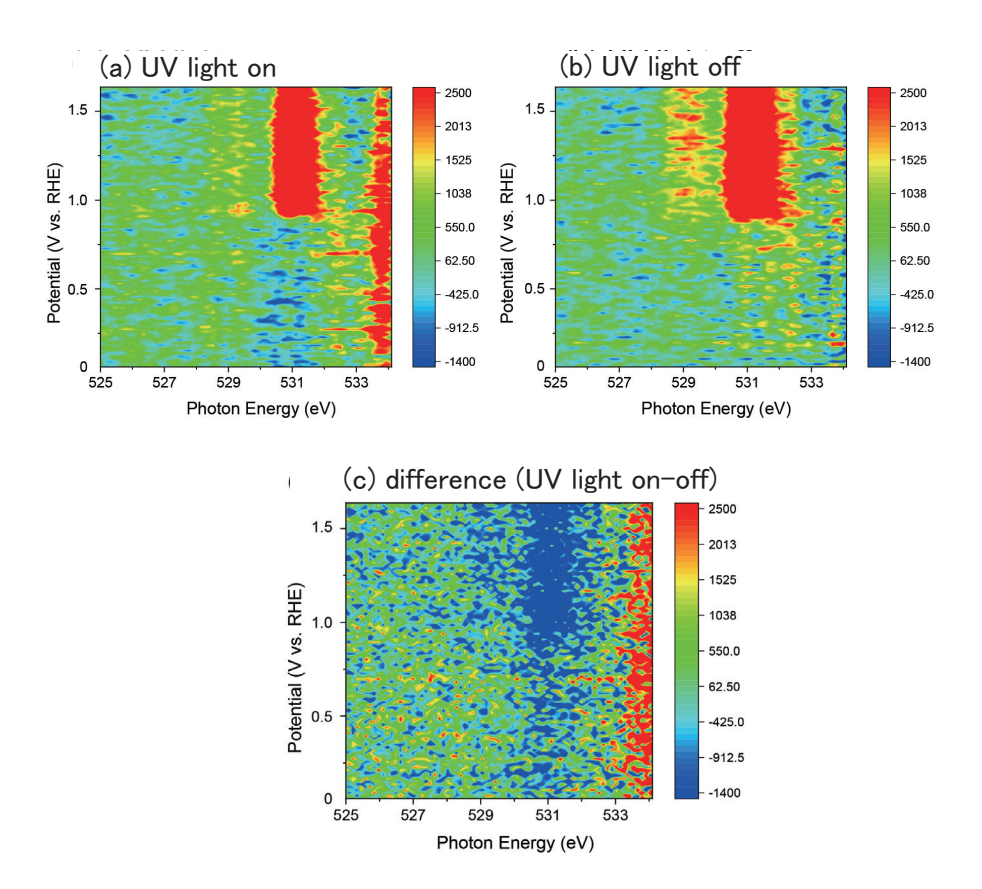
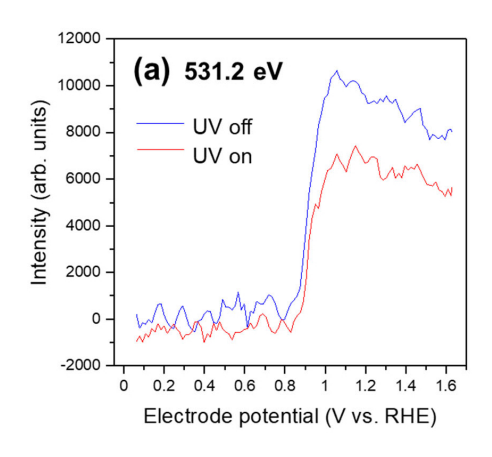


Figure 4 Contour map of differences in XAS spectra intensity from initial measurement stage without UV light (the electrode potential was from 0.0 V to 0.12 V vs. RHE) for visualization of change, for (a) UV light on, (b) UV light off, and (c) difference of the intensity between UV on and off for cycle 1, based on the case of UV off.



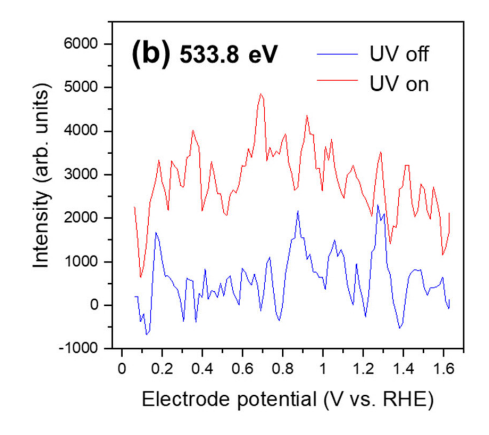


Figure 5 Intensity of XAS spectra at (a) 531.2 eV and (b) 533.8 eV corresponding to electrode potential.

4. まとめ

本稿では、当グループで開発したリアルタイムで XAS スペクトルの取得が可能な波長分散型軟 X線吸収分光の紹介と、本手法と電気化学測定を組み合わせて固液界面に存在する軽元素の中間体を観察する手法について述べた。また、特に水分解用の光触媒である酸化チタン電極に対して電位掃引時の電極と電解液との界面の化学種の挙動について観察した結果について紹介した。

今後の展望として、本手法では現在、リアルタイム観察の時間分解能は 0.1 ~ 10 秒毎での取得であるが、今後、ミリ秒オーダーでのスペクトル取得を行うべく、光学系の改良を計画している。この改良により詳細な速度論的分析が可能になり、特に固液界面で起こる現象を明らかにするための貴重なツールとなることが期待される。

このような検討を通して、従来の測定では明らかにされていなかった、電極の固液界面における挙動をより詳細に解析が可能になるよう、より測定手法の改良を進めていきたいと考えている。

謝辞

本研究は JSPS 科研費 19K22091, 21H04678, 20K22475, 23K04700 の助成を受けたものである。また、PF 共同利用 実験課題 No.2020G595, 2020G622, 2022G583にて行われた。

引用文献

- [1] J. Stöhr, NEXAFS Spectroscopy, Springer: Berlin (1992).
- [2] R. Frahm, Rev. Sci. Instrum., **60**, 2515 (1989).
- [3] T. Matsushita, U. Kaminaga, J. Appl. Crystallogr., 13, 465 (1980).
- [4] K. Amemiya, K. Sakata, M. Suzuki-Sakamaki, Rev. Sci. Instrum., 91, 093104 (2020).
- [5] K. Sakata, M. Suzuki-Sakamaki, K. Amemiya, Nano Lett., 21, 7152 (2021).
- [6] K. Sakata, K. Amemiya, J. Phys. Chem. Lett., 13, 9573 (2022).
- [7] L. J. Frevel et al., J. Phys. Chem C, 123, 9146 (2019).
- [8] K. Sakata, K. Amemiya, Chem. Lett., 50, 1710 (2021).

- [9] K. Sakata, K. Amemiya, Electrochem. Commun., 157, 107627 (2023).
- [10] K. Sakata, K. Amemiya, Electrochem. Commun., 165, 107771 (2024).
- [11] N. S. Lewis, D. G. Nocera, Proc. Natl. Acad. Sci. U.S.A., 103, 15729 (2006).
- [12] Editorial, "Hydrogen on the rise", Nat. Energy **1**, 16127 (2016).
- [13] A. Fujishima, K. Honda, Nature, 238, 37 (1972).
- [14] M. Yoshida, Y. Mitsutomi, T. Mineo, M. Nagasaka, H. Yuzawa, N. Kosugi, H. Kondoh, J. Phys. Chem. C, 119, 19279 (2015).
- [15] D. Drevon, M. Görlin, P. Chernov, L. Xi, H. Dau, K. M. Lange, Sci. Rep., 9, 1532 (2019).

(原稿受付日: 2024年12月14日)

著者紹介

阪田薫穂 Kaoruho SAKATA



物質構造科学研究所 准教授 〒 305-0801 茨城県つくば市大穂 1-1

e-mail: kaoruho.sakata@ kek.jp

略歴:2008年早稲田大学先進理工学研究 科博士課程終了,2020年高エネルギー加

速器研究機構物質構造科学研究所博士研究員, 2024 年准 教授。博士(工学)。

最近の研究: 軟X線/硬X線 XAS を用いた電気化学反応 中の固液界面のオペランド観察

雨宮健太 Kenta AMEMIYA



物質構造科学研究所 教授 〒 305-0801 茨城県つくば市大穂 1-1

e-mail: kenta.amemiya@ kek.jp

略歴: 2000 年 東京大学大学院理学系研究 科 博士 (理学) 取得。2012 年より高エネ

ルギー加速器研究機構物質構造科学研究所・教授。

最近の研究:軟X線吸収分光を用いた表面・界面分析法の 開発。

α-S の S-K 端 XAFS の温度依存測定からわかった異常に強い S-S 結合

池本弘之1, 宮永崇史2

1富山大学理学部物理学科,2弘前大学理工学部数物科学科

Extraordinary Rigid S-S Bond of α -S through Investigation via Temperature-Dependent Measurements of S-K Edge XAFS

Hiroyuki IKEMOTO¹, Takafumi MIYANAGA²

¹Department of Physics, University of Toyama, ²Department of Mathematics and Physics, Hirosaki University

Abstract

結晶安定相 α -S の基本構造である 8 員環の局所構造を調べるために、S-K 吸収端(2.472 keV)の透過 XAFS 測定を $10\sim300$ K で行った。軟 X線の吸収を抑え、さらに低温での測定を可能にするために、サンプルを真空中に置いて、透過 X線強度をフォトダイオードで検出した。8 員環を構成する共有結合の平均二乗相対変位を含めた全ての構造パラメーター は温度変化せず、3 次のキュミュラントは実質的にゼロであった。このことから、S-S 共有結合は非常に強く、かつその ポテンシャルの対称性が高いことが明らかになった。

1. はじめに

カルコゲン原子 (S, Se, Te) は2配位共有結合で1次構 造を構成し、さらにそれらが集積した2次構造をとる。こ の階層構造がカルコゲン群に独自の特徴をもたらす。常温 常圧では、S は 8 員環を基本構造とした斜方晶系 S(α-S), SeとTeは3回らせん鎖を基本構造とした三方晶系Se,Te (t-Se, t-Te) が安定相である [1]。1 次構造のリング間ある いは鎖間の相互作用は、S, Se, Te と原子番号が大きくな るにつれて強くなる。したがって、カルコゲン元素を系統 的に調べることは, 基本構造間の相互作用の役割が大きい カルコゲン群の物性に関する有益な情報を与える。t-Se と t-Te の構造の温度変化については、これまでに研究がなさ れている。 X線回折(XRD)により、t-Seでは温度上昇に 従ってa軸方向(らせん鎖間方向)には膨張する一方でc軸方向(らせん軸方向)には収縮するが、ナノ結晶 Se で は粒径が小さくなると a, c 軸の両方ともが膨張することが 報告されている [2, 3]。t-Te の構造についても古くから研 究されてきたが、そのナノ粒子は近年新しい機能を有する 電子材料や光学材料として研究が進められており、さらに 1次元や2次元状態での構造や物性が XRD や透過型電子 顕微鏡などで研究されている[4]。これらに対し, α-Sの 構造の温度変化についての研究例はわずかである。最近、 XRD と第一原理計算を用いて, α-S の格子熱膨張と異方 性原子変位の温度依存性の研究が行われた。XRD の結果 は、格子定数および異方性原子変位が温度とともに大きく なるが、8 員環内の S-S 結合距離は変化しないことを示し ている。これらは,第一原理計算の結果と良い一致を示し ている[5]。

X線吸収微細構造(XAFS)解析は,XRDなどの回折手 法と並ぶ重要な構造解析の手法である。XRD と比較する と, XAFS 法は局所構造探索に強く [6], 選択した元素周 辺で個別の元素との原子相関を明らかにできるアドバンテ ージがある。さらに広域 XAFS(EXAFS)解析から得られる, 原子間距離の平均二乗相対変位(MSRD)の温度依存性を 解析することにより、選択した元素間の原子相関の強さを 求めることができる[6]。これらのことは、強い1次原子 相関と弱い2次原子相関が共存するというユニークな階層 性を持つカルコゲンの構造研究において、それぞれの原子 相関, さらには1次構造と2次構造の関係を検討するのに 有用である。これまでのカルコゲン元素に関する EXAFS 解析により、t-Se では温度の上昇に伴って共有結合長が短 くなることや[7]、融解時に Se や Te の共有結合長が短く なることなど, 多くの物質とは異なる構造変化が明らかに なっている[8]。また、モルデナイトやカーボンナノチュ ーブに包摂された Se 孤立鎖や Te 孤立鎖では、鎖間相互作 用の消失により、共有結合長が短くなり、その結合力が増 加することがわかった [7,9,10]。さらに、MSRD の温度解 析から Se の共有結合の強さが Te よりも強いことも確認さ れた。

このように、カルコゲンの中でも Se や Te については 理解が進んできているが、S についての温度変化に関する研究例は少ない。 α -S の XRD の温度変化に関しては報告されているが、XAFS 解析のアドバンテージを生かした温度変化に関する研究は、XRD とは異なる情報を与えることが期待される。例えば、EXAFS 解析により得られる MSRD の温度解析から、 α -S の基本構造である 8 員環

の共有結合の強さを評価できる。しかしながら、これま では低温領域を含む温度変化の測定が行われてこなかっ た。低温での S-K 端の XAFS 測定が難しいのは、S-K 端 (2.472 keV) のエネルギーが放射光においてもテンダー領 域と呼ばれようにX線強度が弱く、さらに低エネルギーで あるがゆえに空気をはじめとした物質によるX線の吸収を 無視できないからである。したがって、低エネルギーのX 線の吸収を極力排除するために、He ガスや真空中などの 特殊な環境下で S-K 端の XAFS 測定は行われる。これま でのところ、現実的な測定法として、He ガスを試料の周 りに流す転換電子収量(CEY)法[11,12], あるいは試料 を真空中に設置する電子収量法や、蛍光収量法がよく用い られてきた。特に CEY 法は、S を含む材料に対して優れ た結果をもたらし、S 混合化合物の重要性から材料科学と 産業に貢献している [13]。しかし、試料の周りに He ガス を流す CEY 法では低温の XAFS 測定は無理である。通常 よく用いられる電流検出による電子収量測定では低温測定 が可能であるが、EXAFS 領域でシグナルのバックグラン ドが差し引きにくいなど, 詳細な構造解析に必要な高波数 領域にわたっての良質なX線吸収スペクトルを得ることが 難しい。これらの電子収量法ではなく蛍光法が用いられる 場合もあるが、S原子の自己吸収効果を防ぐためにサブミ クロンオーダーの非常に薄い試料が必要であり、サンプル 調製が困難である。

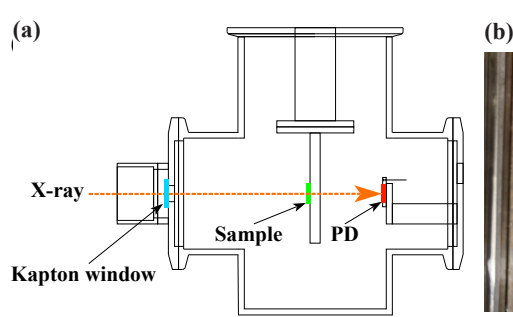
このような状況のもと、最近我々は透過法により低温から室温までの S-K 吸収端の XAFS 測定を行って、 α -S の共有結合の強さに関する興味深い結果を得た [14]。この際に、我々は良質な XAFS データを得るための原点にたち帰って透過法による S-K 端の XAFS 測定の可能性を、さらに低温で測定するために真空中での測定を検討した。 α -S、を真空中に置いた場合に想定される X 線光路上の、 α -S、基板のカーボン、窓材のカプトン膜などの X 線透過率を計算した結果、透過法測定が可能であると判断した。さらに X 線吸収を抑えるために窓材がないフォトダイオード(PD)を用いて、透過 X 線強度を検出した。これらの工夫により、低温から室温にわたる温度領域で X AFS 測定に成功し、 α -S の構造パラメータの温度依存性を初めて求めることができた [14]。本レポートでは、この研究について、特に測

定手法を詳細に紹介し、 α -S 中の S-S 共有結合の特徴を明らかにしたうえで、同族の t-Se 及び t-Te と比較して議論する。

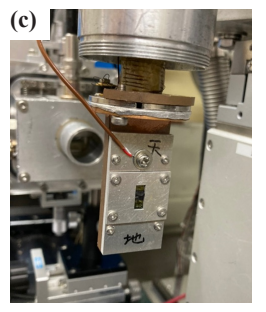
2. 実験と解析方法

透過 XAFS 測定において S 試料の最適厚はエッジジャ ンプが1になる約3 μm であるが, バルクSからこのよう に薄くて一様なサンプルを切り出すのは困難である。そ こで、真空中 (3.0 × 10⁻⁶ Torr) で多層カーボンナノチュー ブシート (MWCNT, 厚さ 0.6 ~ 4 μm の範囲) 上に硫黄 (純 度 99.999%, NewMet) を薄く堆積させた薄膜を試料とした。 吸収端のエッジジャンプから得た測定に用いたSサンプ ル厚は 3.4 μm である。MWCNT を薄膜基板として選んだ のは、測定エネルギー領域でのX線透過率が高く、また自 立膜として容易に入手できるからである。蒸気圧の高い硫 黄が真空中で蒸発するのを防ぐために、試料をカプトンフ ィルム(厚さ 7.5 μm)で覆った。しかしながら、この薄 膜が α-S である保証はない。結晶系の同定は XRD で行う のが基本であるが、試料厚が薄いためにブラッグピークを 観測できなかった。そこで、次善の策として Raman 測定(日 本分光 NRS7100, 励起光 532 nm) を行い, α -, β -, γ -S の Raman スペクトルと比較した [15]。それぞれの結晶系の 特徴的なピークと比較した結果、我々が作製したS薄膜 は α-S であると判断した。PD を用いた透過法で適切なデ ータが得られているかを検証するために、S-K 吸収端測定 での標準的な手法である CEY 測定を室温で行った。CEY 法の試料は硫黄粉末(純度 98%, 和光純薬工業株式会社) を用いた。

S-K 端の X線吸収スペクトルの測定は,KEK-PF BL-9A ビームラインの軟 X線測定モードで行った。軟 X線測定モードの標準セットアップでは, I_0 測定用イオンチャンバー,サンプルホルダー,CEY 検出器,Lytle 検出器が一体化されており,その中を He を流すことにより, X線の吸収を極力抑えている。我々が使用した透過測定用のサンプルチャンバーの概略図 (a) およびそれらの写真($b \sim d$)を Fig. 1 に示す。He ガスフロー部と真空部は X線入射窓で区切られ,上流側には I_0 検出用の PF のイオンチャンバー,下流側にはサンプルと PD 検出器を内包した真空チャ







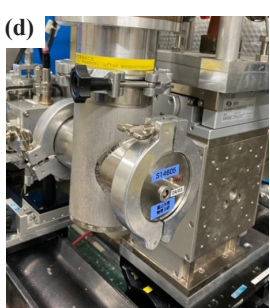


Figure 1 (a) Sample chamber designed for XAFS measurements with transmission mode. The green section indicates the sample containing the thin S-film, MWCNT, and Kapton film, which are attached to the sample holder connected to the cryocooler. Photo Diode (PD) is indicated with red, which directly detects the transmitted x-ray in a vacuum. The Kapton window is indicated in blue. (b) Photo of PD (c) Photo of sample holder attached on cold head. (d) Photo of sample chamber.

ンバーとなっている。カプトン窓の上流側では He ガス中を,下流側では真空中を,X線を透過させて空気による吸収をなくした。真空チャンバーのX線入射窓には入手可能な最薄の $7.5~\mu m$ のカプトンフィルムを用いた。透過 X線強度の検出には窓材がなく検出器が剥き出しになった Sip-intrinsic-n Photodiode(PD) (HAMAMATSU S14605)を用い,基本的な回路で X線強度を電流に変換して PF 備え付けのアンプでモニターした。 Fig. 1(b) はサンプルチャンバーに取り付ける前の PD,(c) はクライオホルダーに取り付けられた試料,(d) はサンプルチャンバーの全貌の写真である。試料は $10\sim300K$ の温度範囲で測定した。

Fig. 2 は、 I_0 測定用イオンチャンバーから PD 検出器までの光路上にある、S サンプル(膜厚 $3.4~\mu m$)、X 線窓と試料カバーの 2 枚のカプトン膜,および蒸着基板のMWCNT のそれぞれと全てのX 線透過率の計算値を示す [16]。 X 線吸収をできるだけ抑制した工夫により,測定X 線エネルギー範囲全体で総透過率が 15% を超え,このセットアップで透過モードでの S-K エッジの XAFS 測定が可能であることが確認できる。

EXAFS 解析の全工程を miXAFS プログラム [17] により 解析した。 $\chi(k)$ 関数の導出には、AUTOBK 法 [18] を用いて R_{bkg} を 1 Å とした。共有結合に由来する EXAFS 信号を 抽出するために、EXAFS 信号を 4.0–13.5 Å⁻¹ の範囲でハミングウィンドウを使用してフーリエ変換し、さらに共有結合に対応する最初のピークを 1.35 Å–2.70 Å の範囲で逆フーリエ変換した。この EXAFS 信号に k^2 の重みをつけた関数に対して、1 サイトの非線形最小二乗法解析を行った。その際に、下記の EXAFS 基本公式を用いた。

$$\begin{split} \chi_{\rm cal}(k) &= \sum_j \binom{PN_j}{k_0 r_j^2} f_j(k_0) \exp\left(-2\sigma_j^2 k_0^2\right) \exp\left(-\frac{2r_j}{\lambda_j(k_0)}\right) \\ &\times \sin\left[2k_0 r_j + \phi_j(k_0) - \frac{4}{3}C_{3j}k_0^3\right] \;\;, \\ k_0 &= \sqrt{k^2 - \frac{2m}{\hbar^2}\Delta E_0} \quad, \end{split}$$

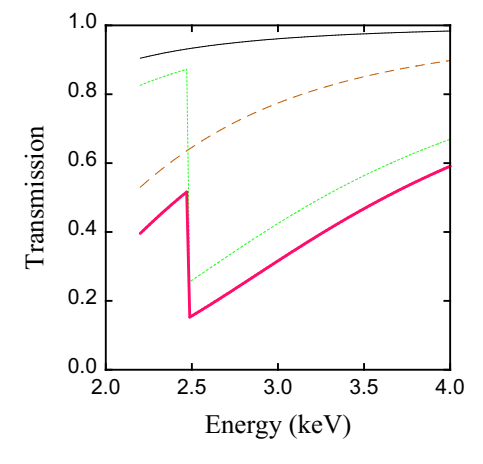


Figure 2 The theoretical transmittance for S of 3.4 μ m thickness (green dotted line), Kapton of 15 μ m thickness (brown broken line), carbon of 2 μ m thickness (black thin solid line), and the total (red thick solid line).

ここで,Pは規格化係数, r_j はj番目の原子距離, N_j は配位数, C_{3j} は3 次キュムラント, σ_j^2 は MSRD, ΔE_0 は吸収端からのエネルギーシフトである。 r_j , N_j , C_{3j} , σ_j を自由パラメータとし,位相シフト(ϕ_j),平均自由行程(λ_j),および後方散乱振幅(f_j)は,FEFF8.4プログラムの計算値を用いた[19]。

3. 実験結果

3-1. 硫黄の低温測定

我々は、S-K 吸収端の XAFS 測定として広く行われて いる CEY 法ではなく透過法を用い、さらに透過 X 線強度 をPDによって検出した。そこで、我々が透過法で得た XAFS 信号が適切であることを示すために、透過法と CEY 法の室温におけるシグナルを Fig. 3 で比較した。XAFS ス ペクトル, 特に XANES 領域を比較する際には, 解析プロ グラム ATHENA の規格化スペクトルがよく用いられてい る [20]。これは便利な機能ではあるが、ATHENA で得ら れる XAFS スペクトルは、バックグラウンドスペクトル の取り方に強く依存するので注意が必要である。特に第1 ピーク付近のバックグラウンドを得るのが困難で、不自然 なバックグラウンドによってスペクトルが大きく歪んでし まうことがある。そこで、我々は XAFS スペクトル導出 の原点に立ち帰り、実験から得られた μt から S-K 吸収端 前の吸収曲線を単純に引いて、さらにエッジジャンプで規 格化して比較した。この際に吸収端前の吸収曲線を外挿す るので、より自然な吸収曲線を得るためにX線吸収端前後 の Victoreen 係数を活用する XANADU 手法を用いた [21]。 Fig. 3 に示すように、多少の違いはあるが両者のスペクト ルはほぼ一致していることから、我々が用いた透過法で信 頼できるデータが得られていることが確認できた。実行前 には、PD を用いた透過法で十分なダイナミックレンジが 確保できるかも危惧したが、エッジジャンプの3倍強もあ る第1ピークも再現しており、PDが十分なダイナミック レンジを有していることが確認できた。

このように、PDを用いた透過 XAFS 測定は、空気によ

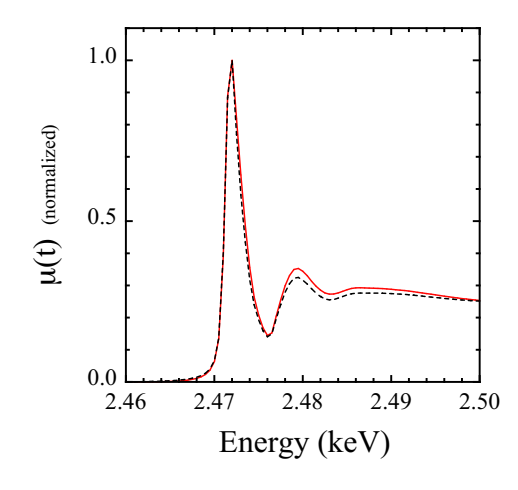


Figure 3 Comparison of the XANES spectra of α-S between CEY (black dashed line) and transmission mode (red solid line) measurements at 300 K.

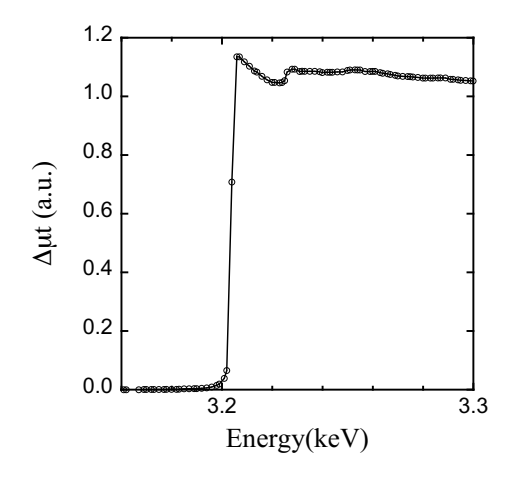


Figure 4 Ar-K edge XAFS appeared around 3.2 keV.

る吸収が大きく影響する軟 X 線領域での XAFS 測定で有効である。ただし、イオンチャンバーと比較すると PD のオフセットの値が大きいことは残された課題である。一方、本研究とは直接関係しないが、Sn-K 吸収端(29.200 keV)の XAFS 測定でも PD が有効であることを検証しており、高エネルギー領域での I_1 検出ガスの Kr が入手困難な中、PD の活用が期待される。

波数 20Å⁻¹ までの XAFS スペクトルを得るために、 $2.2 \sim 4.0 \text{ keV}$ のエネルギー範囲で XAFS 測定を行った。 しかしながら、わずかであるが Ar-K 吸収端の XAFS スペクトルが、透過法でも CEY 法でも観測された。Fig. 4 は Ar-K 吸収端近傍の測定を拡大したものであるが、そのエネルギーと形状が文献 [22] と同一であった。当初は、S 試料設置時に混入した大気中の Ar ガスを検出していると推測したが、ビームタイムがマシンスタディをまたがった際に He ガスを 24 時間以上フローさせ続けて徹底して空気から He への置換を行ったが、Ar ガスのシグナルは消失しなかった。したがって、He ガス中に混入している Ar の影響であると考えている。さらに、高純度の G1 グレードの He ガスを試したが Ar の影響を排除することはできなかった。

Fig. 5 に得られた EXAFS 関数を示すが、最低温の 10K から室温付近の 300 K にわたる温度領域で、13.5Å⁻¹ までの波数域で十分な振動が観測された。興味深いことに、その振幅は温度によらずほぼ同じであり、特に MSRD の影響が出やすい高波数領域でも温度上昇による減衰が見られない。このことは、MSRD が測定温度領域では温度に依存しないこと、さらには強い共有結合を示唆する。

大まかな原子相関を見るために、 $k\chi(k)$ のフーリエ変換 |FT(r)|を Fig. 6に示す。フーリエ変換の際に位相因子の補正を行っているので、原子間距離は実際の値に近い。 α -Sでは、 2^A 付近の第 1 ピークの領域には共有結合による原子相関のみが存在する。一方、第 2 ピークの $2.7 \sim 4.0^A$ の領域には、8 員環内部の 2 種類の第 2 近接原子相関、さらに隣接する 8 員環間の第 1 近接などが混在している。 $\chi(k)$ の温度変化から推測できるように、第 1 ピークの高さは温度によらずほぼ一定である。これに対し、第 2 ピーク

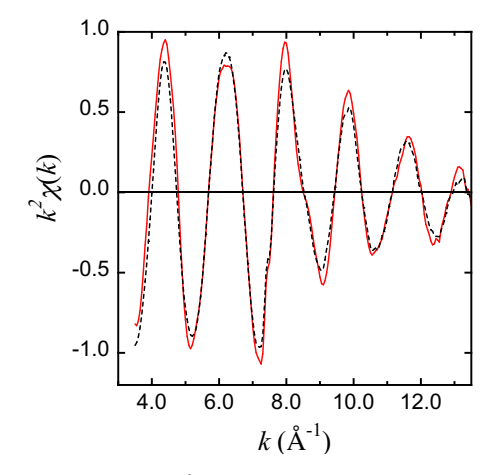


Figure 5 Variation of the $k^2\chi(k)$ of α-S at 10K (red solid line) and 300 K (black dashed line).

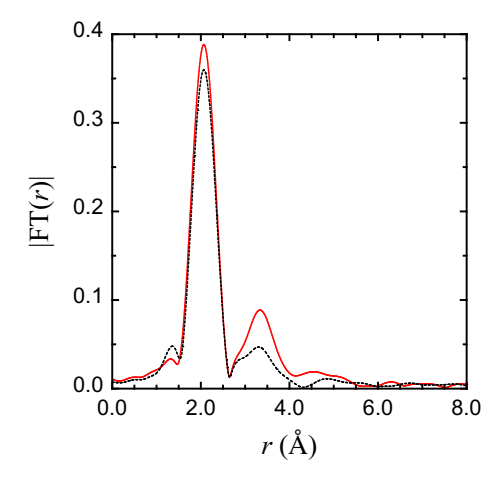


Figure 6 |FT(r)| of α -S at 10 K (red solid line) and 300 K (black dashed line).

は温度上昇によりピークの高さは減少しているが半減程度である。さらに、8 員環同士の相互作用が非常に弱いことを考えると、この第2ピークには8 員環内部の第2近接の寄与が主要であると推測している。第1ピークと第2ピークの温度変化を明確に比較するために、Fig. 7 に最低温の[FT(r)]のピーク高さで規格化したピークの高さの温度変化をプロットしている。この図から、第1ピークの高さが温度によらず一定であり、第2ピークが温度上昇とともに線形に減少していることが分かる。第1、第2ピークの高さの温度変化から、共有結合は非常に強いが、Sの8員環の結合角はそれに比べると弱く(柔らかく)、温度の変化を受けやすいことが分かる。これ以降は、共有結合のみを含む第1ピークに焦点を絞り、8 員環内の共有結合について議論する。

 α -S の共有結合の構造パラメーターを得るために、Fig. 6 の第 1 ピークだけを逆フーリエ変換し、1 サイトによる非線形最小二乗法フィッティングを行った。構造パラメーターのうち一般的には温度変化の大きい MSRD を除く、原子間距離 r、配位数 N、3 次のキュミュラント C_3 の全温度領域の平均値を Table 1 に示す。EXAFS 解析による原子間距離の精度が約 0.02Å であることを考えると、得られた共

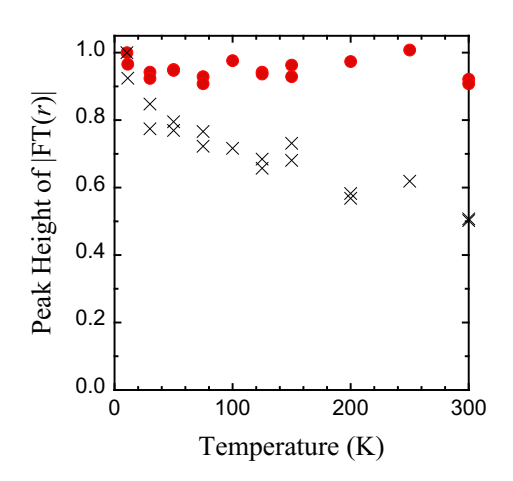


Figure 7 Temperature variation of the first peak height (red circles) and second one (black crosses) of |FT(r)| of α -S.

Table 1 Structure parameters of r, N and C_3 obtained from the EXAFS analysis for S-S covalent bond in α -S.

r (Å)	N	C_3 (Å ⁻³)
2.054±0.007	2.03±0.05	$4.5\pm18.4\times10^{-5}$

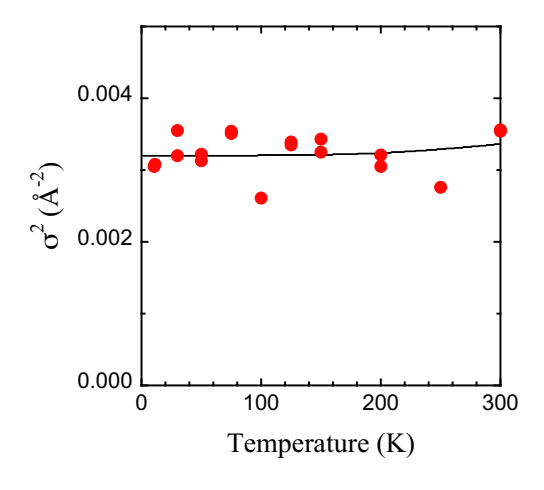


Figure 8 The temperature variation of the MSRD for the covalent bond of α-S, which was obtained from the S K-edge XAFS measurements. The solid lines show the Einstein model fitting.

有結合長は XRD 実験から得られている 2.055Å[23] と一致している。さらに、共有結合長の温度分散は、EXAFS から得られる原子間距離の精度以下であるので、300 K 以下では共有結合長が変化しないと言える。このことは、Fig. 6 の |FT(r)| のピーク位置の違いが 0.002Å 以下であることからも裏付けられる。このように共有結合長が温度変化しないことは、8 員環内の共有結合が熱擾乱を受けない非常に強い共有結合であることを示唆する。共有結合の強さを色濃く反映する MSRD を Fig. 8 に示す。 α -S の MSRD に温度変化はほとんど見られず、 $\chi(k)$ がほとんど温度変化しないことに対応している。MSRDが温度変化しないことは、高温側で MSRD が明らかに増加する同族の t-Se や t-Te、さらには多くの物質と比べると対照的である。このことは、共有結合長の温度変化と同様に共有結合が非常に強いこと

3-2. 他のカルコゲンと比較した議論

以上のように、α-S の共有結合の全ての構造パラメータ ーは温度変化しない。このように温度に対して不変である ことは、他の物質と比較すると異常である。特に、MSRD の異常に小さな温度変化は特筆すべきである。MSRDの 起源は熱擾乱によってもたらされる原子間距離の相対変化 であり、この温度変化を解析することにより原子間相互 作用の強さについて具体的に考えることができる。MSRD の温度依存性の解析方法としては、アインシュタインモデ ルとデバイモデルが代表的である。アインシュタインモデ ルは孤立した分子の解析に適し, デバイモデルはフォノン の分散がある系に適している。α-Sでは基本構造の8員環 は半ば孤立していて分子的であるので、われわれはアイン シュタインモデルで解析を行った。得られたアインシュタ イン温度を Table 2 に示す。アインシュタインモデルでの 解析では、アインシュタイン温度は MSRD の温度変化の 傾斜に強く依存する。Fig. 8 にあるように, α-S ではほと んど温度変化しておらず、室温付近でようやく微小な増加 が見られるのみである。さらに分散が大きいこともあり, 得られたアインシュタイン温度は非常に大きな誤差を含む ものとなった。

アインシュタイン温度は物質固有の値であるが、他のカルコゲン元素と比較するためには力定数の方が適切である。同じ量で比較するために、t-Se と t-Te もアインシュタインモデルで解析した。 α -S、t-Se、t-Te のアインシュタイン温度、さらにアインシュタイン温度から求めた力定数を、Table 2 で比較している。 α -S の力定数は文献によると237 Nm⁻¹ [24] であり、得られた力定数とは異なっているが、誤差の範囲内には収まっている。 α -S の力定数はカルコゲン元素の安定相の中では最も大きく、t-Se の 3.4 倍、t-Te の 4.9 倍である。

α-S での共有結合の構造パラメーターが温度に依存しな

Table 2 Comparison of the 1NN distances (r_{XRD}) and (r_{CB}) in Å, θ_E (K), and K (N m⁻¹) for α -S, t-Se, and t-Te.

Element	$r_{ m XRD}({ m \AA})$	$r_{\text{CB}}\left(\text{Å}\right)$	$\theta_{E}(K)$	K (N m ⁻¹)
α-S	2.055 [23]	2.054	942±323	405±284
t-Se	2.375 [26]	2.37 [7]	325±6 [7]	119±4 [7]
t-Te	2.865 [27]	2.84 [28]	212±3 [7]	82±3 [7]

い異常さは、カルコゲン元素特有の階層性と、カルコゲン元素内でSが原子番号が最も小さいことが深く関係している。カルコゲン原子は、共有結合でできた8員環あるいは3回らせん鎖が基本構造であり、基本構造間の相互作用によって互いに結びつく階層性が特徴である。この基本構造間の相互作用は、鎖内共有結合と鎖間第1近接の距離の比などに見られるように、原子番号が大きくなるにつれて強くなる。基本構造間の相互作用が共有結合に与える影響が明確に現れるのは、基本構造間の相互作用が消失する融解時である。SeとTeでは、融解時に共有結合が短くなる異常が生じるが、これは共有結合を弱める鎖間相互作用が消失するためである。

残念ながら、Sの場合は、液体容器のX線吸収が非常に大きいので融解時の挙動についてXAFS 実験することは、今回の手法でも難しい。液体Sの共有結合は中性子回折実験から 2.06 ± 0.01 Å と報告されており [25]、 α -S の 2.055 Å と比較すると共有結合が融解時に変化しないことが分かる。t-Se と t-Te では孤立電子対と隣接鎖上の反結合軌道の重なりが共有結合に影響を及ぼすのに対し、半ば孤立した 8 員環がスタックした α -S ではこのような重なりがないことが S-S の強い共有結合をもたらしていると考えている。共有結合に対する環/鎖間相互作用の影響を調べる他のアプローチは、カーボンナノチューブなどの狭い空洞中に S 分子を包摂して、相互作用のない状態での構造を調べることであり、我々は現在その研究を進めている。

4. まとめ

本研究では、透過X線強度の検出にフォトダイオード を用いた透過法により、10 K から 300 K の温度範囲で α-S に対して S-K 端の XAFS 測定を行った。これにより、 α -S の構造パラメータ(原子間距離、MSRD および C_3)の温 度変化を初めて得ることができた。EXAFS 関数 kx(k) のフ ーリエ変換 |FT(r)| では、温度が 10 K から 300 K に上昇し た際に、熱擾乱にもかかわらず、8員環の共有結合に対応 する最初のピークの高さの減少はわずかであった。一方, リング内およびリング間の相関がいくつか含まれる2番目 のピークは 10 K から 300 K に上昇するに従って,通常の 物質と同様にピーク強度は減少した。EXAFS 信号に対す る非線形最小二乗フィッティングによって得られた α-S の S-S 共有結合の構造パラメータは、温度変化に対してほぼ 一定であった。温度に最も敏感な MSRD も温度に対して 一定であることから、共有結合のポテンシャル障壁が極め て高いことがわかる。この結果は, 異方性原子変位が温度 上昇に対して増加している XRD や第一原理計算の結果と は対照的である。また、C,の値が実質的にゼロで温度に 対して変化しないことから, 共有結合の結合ポテンシャル の形状が対称的であることがわかる。MSRD の温度変化 をアインシュタインモデルで解析して、アインシュタイン 温度 942 K, 力定数 (K) 405 N m⁻¹ を得た。他のカルコゲン 元素 (t-Se, t-Te) と比べると、この α -S の K の値は非常に 大きい値である。

謝辞

本研究は Md Saiful Islam 氏および河口玲央氏との共同研究である。この場を借りてお礼申し上げる。本研究は、科研費(課題番号: JP17K04980 および 23K04518)の補助を受けた。本研究で実施した放射光実験は、KEK 放射光実験施設共同利用実験課題(2018G594, 2020G540, 2022G561)で行われた。

引用文献

- [1] R. W. G. Wyckoff, Crystal Structures (R.E. Krieger Publishing Company) (1982).
- [2] R. Groβe, H. Swoboda, and A. Tausend, J. Phys. C: Solid State Phys. **8**, L445 (1975).
- [3] Y. H. Zhao and K. Lu, Phys. Rev. B 56, 14330 (1997).
- [4] A. L-Calderon et al., Small 16, 2005447 (2020).
- [5] L. George, V. L. Deringer, A. Wang, P. Müller, U. Englert, and R. Dronskowski, J. Chem. Phys. 145, 234512 (2016).
- [6] D. Koningsberger and R.Prins, X-ray Absorption: Principles, Applications, Techniques of EXAFS, SEXAFS, and XANES (Wiley) (1988).
- [7] H. Ikemoto, T. Fujimori, T. Miyanaga, R. Kawaguchi, K. Urita, and M. Tabuchi, J. Phys. Chem. Solids 185, 111737 (2024).
- [8] K. Tamura, *et al.*, J. Phys.: Condens. Matter **3**, 7495 (1991).
- [9] M. Inui, M. Yao, and H. Endo, J. Phys. Soc. Jpn. 57, 553 (1988).
- [10] H. Ikemoto, T. Fujimori, T. Miyanaga, S. Kato, F. Iesari, and K. Urita, J. Phys. Chem. C 124, 26043 (2020).
- [11] M. E. Kordesch and R. W. Hoffman, Phys. Rev. B 29, 491 (1984).
- [12] E. Yanase, I. Watanabe, M. Harada, M. Takahashi, Y. Dake, and Y. Hiroshima, Jpn. J. Appl. Phys. 38, 198 (1999).
- [13] H. Ota, T. Akai, H. Namita, S. Yamaguchi, and M. Nomura, J. Power Sources 119–121, 567 (2003).
- [14] H. Ikemoto, T. Miyanaga, M.S. Islam, R. Kawaguchi, J. Phys.: Condensed Matter 36, 325704 (2024).
- [15] C. Nims, B. Cron, M. Wetherington, J. Macalady, and J. Cosmidis, Sci. Rep. 9, 7971 (2019).
- [16] B. Henke, E. Gullikson, and J. Davis, At. Data Nucl. Data Tables 54, 181 (1993).
- [17] H. Ikemoto, J. Synchrotron Radiat. 25, 618 (2018).
- [18] M. Newville, P. L īvin s, Y. Yacoby, J.J. Rehr, and E.A. Stern, Phys. Rev. B 47, 14126 (1993).
- [19] A. L. Ankudinov, B. Ravel, J. J. Rehr, and S. D. Conradson, Phys. Rev. B 58, 7565 (1998).
- [20] B. Ravel and M. Newville, J. Synchrotron Radiat. 12, 537 (2005).
- [21] H. Sakane, T. Miyanaga, I. Watanabe, N. Matsubayashi,S. Ikeda, and Y. Yokoyama, Jpn. J. Appl. Phys. 32, 4641

(1993).

- [22] M. Takemura, H. Satake, S. Yasuami, M. Yoshiki, Y. Kitajima, Spectrochimica Acta B, 54, 159 (1999).
- [23] S. J. Rettig and J. Trotter, Acta Crystallogr. C 43, 2260 (1987).
- [24] D. Scott, J. McCullough, and F. Kruse, J. Mol. Spectrosc. 13, 313 (1964).
- [25] R. Winter, et al, J. Phys.: Condensed Matter 2, 8427 (1990).
- [26] P. Cherin and P. Unger, Inorg. Chem. 6, 1589 (1967).
- [27] C. Adenis, V. Langer, and O. Lindqvist, Acta Crystallogr. C 45, 941 (1989).
- [28] H. Ikemoto and T. Miyanaga, Phys. Rev. Lett. 99, 165503 (2007).

(原稿受付日:2025年3月6日)

著者紹介

池本弘之 Hiroyuki IKEMOTO



富山大学学術研究部理学系 教授 〒 930-8555 富山県富山市五福 3190 e-mail: ikemoto@sci.u-toyama.ac.jp 略歷: 2008 年富山大学理学部教授。博士(理学)。

最近の研究:XAFS と光電子分光を用いた物性物理。

宮永崇史 Takafumi MIYANAGA



弘前大学理工学部数物科学科 教授 〒 036-8561 青森県弘前市文京町 3 e-mail: takaf@hirosaki-u.ac.jp 略歷:2003 年弘前大学理工学部教授。理学博士。

最近の研究:XAFS による物性科学、構造のダイナミクス 研究。

趣味:乗馬,水泳,シャンソン。

天然メタンハイドレートのマクロとミクロ の構造可視化に成功 メタンハイドレート を高密度分解能・高空間分解能で三次元非 破壊測定

2025年2月3日 産業技術総合研究所,北見工業大学, 九州シンクロトロン光研究センター, 高エネルギー加速器研究機構

産業技術総合研究所(以下「産総研」という)エネルギープロセス研究部門 竹谷敏 上級主任研究員らは、北見工業大学 八久保晶弘 教授ら、高エネルギー加速器研究機構(以下「KEK」という)物質構造科学研究所 平野馨一教授ら、九州シンクロトロン光研究センター(以下「SAGA LS」という)米山明男 主任研究員らと共同で、十勝沖の海底から採取した天然のメタンハイドレートを非破壊構造観察し、海水と共存する様子をとらえ、また、メタンハイドレートの分解過程をその場観察することに成功しました。

メタンハイドレートは新たな国産エネルギー資源として 期待されており、産総研は表層型メタンハイドレートのエ ネルギー資源化に向け、メタン回収・生産技術開発や海域 調査、および環境影響評価を実施しています。この回収・ 生産技術開発のためには、天然のメタンハイドレートの物 性の理解が必要です。しかし、既存の観察・分析手法では、 メタンハイドレートと周囲の海水や氷との区別ができませ ん。そこで、ミリメートルないしセンチメートルスケール の試料中の天然メタンハイドレートの分布(マクロスケー ル)を調べ、マイクロメートルスケールの内部構造(ミク ロスケール) を可視化するため、位相コントラスト X線 CT とマイクロ X線 CT による観察を行いました。その結果、 天然のメタンハイドレートは、メタンガス気泡の周囲に膜 状に分布し、その際に形成されたと思われる擬似球状構造 が維持されていることが明らかになりました。また、メタ ンハイドレート分解時の経時変化を三次元観察することに も成功しました。

本研究で提案する観察手法を用いることにより、メタンハイドレートの生成・分解の挙動や堆積物の物性などの理解に寄与します。なお、この成果の詳細は、2025年1月20日に「CrystEngComm」にオンライン掲載されました(この記事の続きは https://www.kek.jp/ja/press/202502031400methane をご覧下さい)。

木質由来の低分子性リグニンを分解できる 細菌の炭素利用の一端を解明 バイオマス の利用に向けて

2025年3月7日

高エネルギー加速器研究機構、長岡技術科学大学

生物の細胞は DNA やアミノ酸の合成に関わる「1 炭素 代謝」というよく知られた代謝経路があり、MTHFRとい う酵素が重要な役割を果たします。ヒト、マウス、酵母、 大腸菌などの通常の生物では MTHFR はメチレンテトラ ヒドロ葉酸をメチルテトラヒドロ葉酸に変換(還元)し ますが、リグニン分解菌 Sphingobium lignivorans SYK-6 株 (SYK-6株)のMTHFR は通常とは違い、メチルテトラヒ ドロ葉酸を酸化してメチレンテトラヒドロ葉酸を生成する 反応を触媒することが分かりました。これは、SYK-6 株 が通常のようにグルコースなどを取り込んで生育すること ができず、低分子性のリグニン(一種の芳香族化合物)を 摂取して生育するために、独自の1炭素代謝を進化させて きたものと考えられます。本研究では SYK-6 株の MTHFR が持つ独特な酵素機能とその触媒反応メカニズムを結晶構 造に基づき解明しました。さらに、SYK-6株と同様に一 風変わった1炭素代謝を持つ微生物が多数存在しそうなこ ともデータベース解析から発見しました。この成果は、微 生物の代謝研究に新たな視点を提供するものです(この記 事の続きは https://www.kek.jp/ja/press/202503071400lignin を ご覧下さい)。

半導体デバイスの動作中に内部構造の可 視化に成功 半導体を評価する新しい手 法の提案

2025年4月9日

高エネルギー加速器研究機構, 科学技術振興機構 (JST)

高エネルギー加速器研究機構 物質構造科学研究所に設置されているフェムト秒パルスレーザーを光源とする光電子顕微鏡装置(フェムト秒光電子顕微鏡)を用いて、半導体デバイスの動作下において、pn接合界面に形成され、電流の制御に重要な役割を担う空乏層の形状のイメージングに成功しました。この手法は、半導体デバイスの性能を評価しながら、その内部の様子が可視化できる新たな手法として、ダイオード、トランジスタ、太陽電池、LEDなど様々な半導体デバイスへの利用が期待されます(この記事の続きは https://www.kek.jp/ja/press/202504091400pn をご覧下さい)。

【論文情報】

「Imaging p-n Junctions Using Operando Photoemission Electron Microscopy(日本語名:オペランド光電子顕微鏡による pn 接合界面の可視化)」

雑誌名「Nano Letters」volume 25(オンライン版 4 月 9 日) DOI: https://doi.org/10.1021/acs.nanolett.5c00513

バルクでは磁石につかない物質を原子層厚の薄膜で磁石に変換— 次世代スピントロニクスへの応用に期待 —

2025年4月21日

東北大学,高エネルギー加速器研究機構, 量子科学技術研究開発機構,科学技術振興機構 (JST)

電子がもつミクロな磁石の性質である「スピン」が物質中で揃うと強磁性が発現します。もし原子レベルの薄さをもつ二次元物質で強磁性が実現すれば、次世代スピントロニクスへの応用が期待できます。しかし、理論的には二次元物質では磁気秩序が消失すると予測されていました。

東北大学、高エネルギー加速器研究機構、量子科学技術研究開発機構からなる研究グループは、クロムを含む反強磁性体 Cr_2Se_3 に着目し、分子線エピタキシー法によってグラフェン上に Cr_2Se_3 の二次元薄膜を成長させることに成功しました。1 層から 3 層まで膜厚を系統的に変化させた試料を高輝度放射光 X 線で調べた結果、三次元の結晶では反強磁性を示す Cr_2Se_3 が、二次元になると強磁性へ転じ、さらに膜厚が薄いほど強磁性転移温度 (T_c) が高まることを明らかにしました。加えて、マイクロ ARPES による電子状態解析から、グラフェン基板から界面を介して Cr_2Se_3 に注入される伝導電子が、この高温強磁性の決定的な要因であることを突き止めました。

本成果は二次元材料で高温強磁性を安定化させる新たな 手法を提案するとともに、スピントロニクスデバイスや省 エネルギー素子などへの応用に道を拓くものとして期待さ れます。

本研究成果は、2025年4月18日(現地時間)に科学誌 Nature Communications のオンライン版にて公開されます(この記事の続きは https://www.kek.jp/ja/press/202504211000spintronics をご覧下さい)。

2024 年度量子ビームサイエンスフェスタ 第 16 回 MLF シンポジウム/第 42 回 PF シンポジウム開催報告

量子ビームサイエンスフェスタ 実行委員長 木村正雄 実行副委員長 梅垣いづみ

2025 年 3 月 12, 13, 14 日に KEK 物質構造科学研究所, J-PARC センター, 総合科学研究機構 (CROSS), PF ユーザーアソシエーション (PF-UA), J-PARC MLF 利用者懇談会が主催する量子ビームサイエンスフェスタが開催されました。つくば開催の 2 年前の量子ビームサイエンスフェスタはハイブリッドでの開催でしたが、今回はフル対面として開催し 565 名の方に参加頂きました。期間中にはPF-UA ユーザーグループミーティングが行われ、会期終了後にもサテライト研究会が開催されました。

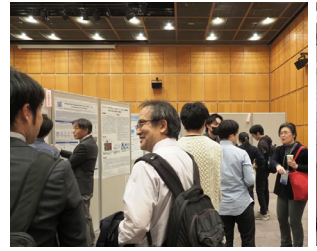
初日の3月12日にはMLFシンポジウムが行われ、午前には、MLF現状報告に引き続き、中性子源、水銀ターゲット、ミュオン、MLF課題利用制度、それぞれについてより詳細な報告がありました。午後には、MLFロードマップについて発表・意見交換がありました。MLFロードマップ現状報告に続いて、日本中性子科学会、日本中間子科学会、中性子産業利用推進協議会、のそれぞれの視点での発表や期待が述べられました。

2日目の3月13日の量子ビームサイエンスフェスタでは、開会宣言・挨拶の後、朝倉清高氏(立命館大学)から「量子ビームでみる酸化チタンの構造と触媒特性」、出村雅彦氏(NIMS)から「マテリアル分野における研究DXの取り組み」と題した基調講演が行なわれ、続いて、来賓・主催者代表による挨拶が行われました。午後の前半はユーザー及び施設による271件のポスター発表が行われました。後半は3会場でパラレルでの口頭発表が行われ、今回新設された「マテリアルインフォマティクス」のセッションを含む、「ソフトマター」「デバイス・手法開発」「磁性・強相関」「生命科学」「材料・触媒」の6つのセッションで18件の講演がありました。

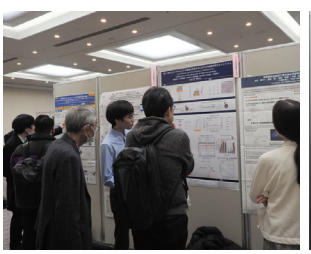




図1 基調講演での朝倉清高氏(立命館大学)と出村雅彦 氏(NIMS)(左より)







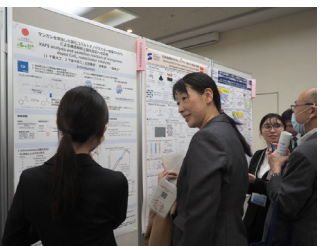


図2 ポスター会場の様子

3日目の3月14日にはPFシンポジウムが行われ、午前中はPF施設報告がありました。施設報告の概要の後、光源、ビームラインの報告に続き、広波長域軟X線ビームライン建設、開発研究多機能ビームライン建設について発表がありました。続いてS2型、T型、PF-S型課題の課題責任者によるショートプレゼンの後、総合討論が行われました。午後は、PF次期光源計画について報告がありました。PF-HLS計画の紹介の後、加速器技術検討、サイエンス検討について発表があり、総合討論を行いました。

2015年度から始まった量子ビームサイエンスフェスタは、施設スタッフとユーザーの情報交換の場であるだけで



図3 PFシンポジウムの会場の様子



図4 集合写真(量子ビームサイエンスフェスタ会場にて)

はなく、異なるプローブを用いる、あるいは異なる分野の 研究者間の交流を通じて新たな研究の発展に繋がる場でも あります。対面主体の開催となり、口頭発表やポスター発表で活発な議論が行われ、さらに懇親会も含めて関係者の 交流を深めることができました。今回の量子ビームサイエンスフェスタが新たな研究に繋がるきっかけとなれば幸いです。

なお、詳細な報告は物質構造科学研究所のホームページ (下記)をご覧ください。

https://www2.kek.jp/imss/news/2025/topics/0312qbsf/

2024 年度量子ビームサイエンスフェスタ に参加して 1

東京大学 物性研究所 村野由羽

2025年3月13日につくば国際会議場で開催された「2024年度量子ビームサイエンスフェスタ」に参加した。基調講演に始まり、ポスター発表、口頭発表がその日のうちに完結した。広い分野の研究者が集結し、内容も充実した学会であった。

量子ビームサイエンスフェスタは、私が学部4年時(2021年度)に初めて外部発表を行った場として特別な思いがある。しかし、2021年度開催は新型コロナウイルスの渦中だったためオンラインでの実施となり、聴衆の表情が分からないまま、覚えた原稿を一方的に発表して終わってしまった記憶しかない。修士1年時の2022年度開催では対面での実施が再開され、本大会と同じつくば国際会議場にてフォトンファクトリー(PF)での研究成果のポスター発表を行った。しかし、そのときの私のポスターには何故か聴衆が少なく、ポスターの前にただ立っているだけの寂しい思いをした。

今回は博士1年となり, T型(大学院生奨励)課題「マ ルチモーダル・オペランド実験システムの開発と Ru 表面 上CO₂メタン化反応の微視的研究」も採択され、初めて 研究課題の責任者として進捗状況の報告を行った。そして 審査員の方々が進捗状況の評価のために集まって下さっ た。発表した各項目に対して建設的なご質問とアドバイス を頂き、今後、研究を効果的に進めていくうえで重要なア イデアを得ることができた。また、この数年の間に知り合 った表面科学者や研究内容に興味をもって下さった他分野 の若手研究者らも聞きに来て下さった。そしてデータの定 量的な解析方法に関する専門的な議論に加え、測定手法の 根本的な問題点を踏まえ汎用性と応用性を見据えた将来展 望について話し合うことができた。ポスター発表時間の最 初から最後まで有意義な議論が行われ、研究の進展に重要 な多くの本質的なアイデアを得ることができた。大変充実 した時間だった。私にとっては、T型課題の責任者として の立場とともに、コミュニティでの人脈と認知度がわずか でも拡大したことを実感した本大会だった。

量子ビームサイエンスフェスタでは、他の学会では語ら れない研究の細部が発表に組み込まれている魅力がある。 そして参加者は PF か物質・生命科学実験施設 (MLF) の 関係者であるため、自身の発表として、よりターゲットを 絞った構成にすることができる。軟X線と硬X線とのマル チビームによる同時測定の実現に向けた技術開発など興味 深い発表が多数ある中で印象に残ったのは、雨宮健太グル ープの阪田薫穂博士のご発表であった。「波長分散型軟X 線 XAS による固液界面のリアルタイム・オペランド測定 法の開発および硬X線 XAS と組み合わせた触媒電極の観 察」というタイトルで,波長分散型軟X線 XAS のリアル タイム・オペランド測定のための手法開発の詳細に加え, 可変パラメータとスペクトルの変化が可逆的に同期する結 果から反応に関わる化学種が明確に示されていた。本内容 は日本放射光学会等でお聞きしたことはあったが、今回さ らに詳細に踏み込んだ議論に参加することができ、量子ビ ームサイエンスフェスタならではの発表として貴重な機会 となった。反応活性種のリアルタイム観測は、私が課題責 任者として取り組んでいる軟X線による雰囲気X線光電子 分光研究でも目指すところであり、聴講者として大変有意 義なものとなった。

今回の量子ビームサイエンスフェスタでは、やはり「マルチビーム」というのが一つのキーワードになっていると感じた。PFの更なる発展の要としてPF全体で技術開発が進んでおり、複数のご発表における質疑応答の内容からも取組の重要さがうかがえた。なお、私自身もT課題において、軟X線と赤外線とのマルチビームによる測定技術の開発を目指している。本大会における活発な議論を通じて測定技術の開発とそれによって得られる新たな化学的・物理的知見が我々の科学技術を発展させることを改めて確信した。そして今回、密な情報交換から得られた様々なアイディアを活かし、自身の研究をより良く展開したい。

2024 年度量子ビームサイエンスフェスタ に参加して 2

東北大学 材料科学高等研究所 本間飛鳥

私は 2024 年度量子ビームサイエンスフェスタに参加し、Photon Factory の T型(大学院生奨励)課題「角度分解光電子分光による希土類モノプニクタイドの電子構造の研究」で得られた角度分解光電子分光(ARPES)の成果をポスター発表しました。T型課題の初年度にもかかわらず、ARPES の研究成果とビームラインの改良についてまとめて報告できたのは、小澤健一教授、佐藤宇史教授、相馬清吾准教授をはじめとする共同研究者の皆様のご協力のおかげです。この場を借りて、心より感謝申し上げます。

私は T 型課題において、放射光 ARPES を用いた反強 磁性トポロジカル絶縁体の電子構造の研究を行っていま す。固体材料の特性はバンド分散を知ることで理解でき ますが、本研究で用いた ARPES は、そのバンド分散を直 接観測できる強力な手法です。ポスター発表では、Photon Factory BL-28A のマイクロ集光 ARPES 装置を使用し、反 強磁性ドメインを分離してディラック電子状態を観測した 結果を報告しました。その際、多くの質問をいただきまし たが、特に印象的だったのは、ARPESとは異なる手法を 用いる研究者からの質問や意見でした。私が当たり前だと 思っていたことが、実は深い意味を持っていることに気づ き、また気に留めていなかったことや、思いつきもしなか った点に新たに気付かされるなど、非常に実りある発表と なりました。このような経験は、量子ビームを扱う研究者 が一堂に会する量子ビームサイエンスフェスタだからこそ 得られるものだと、感じました。

また、量子ビーム技術を活用した研究成果が数多く発表 されており、研究会を通じて改めて実感したのは、量子ビ ームが物質研究, 医療, 生命科学など, 多岐にわたる科学 分野において非常に有用であるということです。量子ビー ムサイエンスフェスタには今回が初めての参加でしたが、 ポスター発表の数の多さに驚きました。さらに、上記の分 野に加え、加速器や検出器の開発、解析手法の開発に関す る発表もあり、どれも非常に興味深く拝見しました。放射 光の高輝度ビームが、私のような放射光 ARPES を用いる 研究者の研究の発展の基礎となっていることを再確認しま した。

量子ビームサイエンスフェスタへの参加は、私にとって 非常に有意義な経験となりました。ポスター発表を通じて、 異なる分野の研究者と直接交流することで、新たな視点や 知見を得ることができました。放射光の可能性を改めて実 感し、今後もこの技術を駆使して、さらなる成果を上げて いきたいと強く感じています。

PF 研究会「放射光科学での DX: Digital transformation in research using synchrotron radiation」開催報告

放射光科学第二研究系 木村正雄

【開催概要】

日時:2025年2月6日(木)

会場:オンサイト(KEK つくばキャンパス 4 号館セミナ ーホール),オンライン(ZOOM)のハイブリッド開催

提案者:岡田真人(東京大学),水牧仁一朗(熊本大学),

木村正雄 (KEK)

世話人:城戸大貴, 丹羽尉博, 木村正雄 (KEK)

参加費:無料

重要な締め切り:旅費(参加者については予算次第)2025 年1月17日(金)

事前参加申し込み:2025年1月31日(金)(当日申し込

共催:東京大学大学院新領域創成科学研究科,熊本大学理

学部理学科物理コース, 学術変革領域研究「データ記述科 学を用いた材料解析とそのイノベーション展開」

【プログラム】

10:00 ~ 10:10 主旨説明

10:10~11:00 「ベイズ計測と放射光科学」 岡田真人(東京大学 大学院新領域創成科 学研究科, 教授)

11:00~11:50 「ベイズ統合とベイズ階層モデリング」 水牧仁一朗(熊本大学 理学部,教授)

11:50~12:20 「ベイズ推定ソフトのライブラリー紹介」 片上舜(東京大学大学院新領域創成科学 研究科)

12:20 ~ 13:30 昼食

13:30~ 14:20 「放射光実験のデジタル化を目指した超大 規模計測とデータ解析基盤の構築」 小野寛太(大阪大学工学研究科,教授)

14:20~15:10 「材料データリポジトリの放射光科学への 展開:MDR XAFS DB の取り組み」 石井真史(物質・材料研究機構 マテリア ル基盤研究センター, 主席研究員)

15:10~15:30 休憩

15:30~16:20 「X線顕微分光イメージデータのパーシス テントホモロジーによる TDA 解析」 木村正雄(高エネルギー加速器研究機構 物質構造科学研究所, 教授)

16:20~17:00 総合討論・総括

【研究会概要】

放射光を用いた計測法は、その計測法の高度化や測定の ハイスループット化・自動化が進み、様々な情報を含む多 次元データが、空間分解(顕微法)や時間分解で計測可能 になっている。そのため、計測プロトコルの最適化や、得 られたビッグデータの解析には、従来の人間の経験だけで なく、情報科学や数理科学の視点を入れたアプローチが必 要となる。またそのためには、関連分野のデータベースが 整備されていることが必須となる。

そこで、本研究会では、そうした取り組みとして、ベイ ズ計測、インフォマティクス技術を活用した量子ビーム計 測, XAFS データベース, パーシステントホモロジーによ る位相データ解析, について取り上げ, それぞれの分野で ご活躍の先生方に講演をお願いした。そして、放射光計測 や得られたデータの解析について、今後の展開の新たな視 点について議論した。

木村からの趣旨説明に引き続き、岡田先生から「ベイズ 計測と放射光科学」についての講演があった。'データ駆 動科学の三つのレベル'の観点からベイズ計測の概要紹介 の後、施設での展開例として、SPring-8全ビームラインベ イズ化計画について紹介があった。またスペクトル分解を 例としてベイズ計測の詳細説明があった。質疑では、非線 形におけるレプリカ交換法による解の探索,計測における 検出器の最適化,分光スペクトル分解,等について議論が 交わされた。

水牧先生から「ベイズ統合とベイズ階層モデリング」についての講演があった。ベイズ推定とベイズ統合の枠組み紹介の後、XPSと XASの計測データをベイズ統合した具体例の紹介があり、今後の展開として、種々の計測や科学計算の結果を複合的に用いたマルチモーダル測定の必要性を述べた。後半では、ベイズ階層モデリングの例として、時分割 X 線回折の結果から反応モデルを推定する例を紹介した。質疑では、データの統合が適・不適であるケースの判断、反応モデルの推定に必要な計算コスト、異種データ結合への展開、等について議論が交わされた。

片上先生からは、「ベイズ計測オープンソースソフトウェアの開発の取り組み」について講演があった。前半では、岡田研究室で進めている、線形回帰の可解ベイズ計測、スペクトル分解、能動学習、についての紹介があった。後半では、実際のデモ計算を含めて、開発を進めているオープンソースソフトウェアについて詳細な説明・紹介があった。質疑では、オープンソースソフトウェアの活用方法やその展開について議論があった。

小野先生からは、「放射光実験のデジタル化を目指した超大規模計測とデータ解析基盤の構築」についての講演があった。X線顕微鏡を用いた材料研究の重要性の紹介の後、それによって得られる'大規模計測データの解析'について紹介があった。空間+エネルギーの多次元空間のデータを解析するために、スペクトル空間でのボロノイ分割とクラスタリングによる情報抽出を紹介した。後半では、能動学習による計測の最適化、計測の終了判断、実験計画策定の高速化、について紹介した。質疑では、クラスタリングに用いるデータベースの種類・数の必要量、用いるカーネルの種類、ボロノイ分割の妥当性、等について議論が交わされた。

石井先生からは、「材料データリポジトリの放射光科学への展開: MDR XAFS DB の取り組み」についての講演があった。NIMS で進めている MDR (Material Data



図1 研究会の様子

Depository)の概要と、国内の放射光施設で連携して進めた XAFS データベース(DB)を紹介した。その XAFS DB の具体的な使い方、DB を活用した材料研究への展開、他の DB との連携、について詳細に説明があった。質疑では、マルチスケールデータの取り扱い、データの信頼性、MDR の将来展望、等について議論があった。

木村からは「X線顕微分光イメージデータのパーシステントホモロジーによるTDA解析(位相的データ解析)」について講演した。X線顕微分光で得られる '空間+エネルギーの多次元データ'から情報を抽出することの重要性・困難さを紹介した後,それを実現する数理的方法としてパーシステントホモロジーによるTDA解析を具体的な研究例(複合鉄酸化物の還元,炭素繊維強化プラスチック(CFRP)の破壊,リチウムイオン電池の充放電)を通じて紹介した。質疑では、還元反応の反応起点の予測の方法,他の手法で予測できないこともわかるか?、パーシステンス図の解釈の仕方、等について議論があった。

最後に、全講演者を含めて、総合討論・総括を行った。その議論の中で、放射光科学のDXは、単に人の代わりとなるツールの開発だけでなく、従来知見に基づく人間の判断では得難い情報(新しい価値)の創出につながることが期待されるということを改めて認識した。それを実際の放射光施設で実現していくためには、多くのユーザーが使えるような環境を整備すること、そして、何より多くのユーザーが使ってみたいと思うような事例(成功例)を、パワーユーザーや施設サイドで示していくことが重要であり、今後も関係者が努力してこの分野の研究展開を進めて行こうということで研究会を終えた。

本研究会は1日の短期集中で実施したが、短期の告知にもかかわらず、多くの参加があった(参加者:107人(対面36名、オンライン71名)、そのうち、企業は26名)。この分野に対する注目・期待の現れと考える。これも、発表をご快諾頂き、本研究会の趣旨に沿って、重要な各分野での研究の現状・課題・今後の展開についての貴重な講演を頂いた先生方のおかげであり、関係者を代表して改めて感謝申し上げたい。また、参加頂いた皆様には活発な質疑をして頂き、議論を深めることができた。

最後になりますが、開催に協力頂いた関係者の皆様に改めて感謝します。

■ ユーザーとスタッフの広場

■ PFトピックス一覧(2月~4月)

PF のホームページ (https://www2.kek.jp/imss/pf/) では、PF に関係する研究成果やイベント、トピックスなどを順次掲載しています。各トピックスの詳細は PF ホームページをご覧下さい。

2025年

- 2.3 【プレスリリース】 天然メタンハイドレートのマ クロとミクロの構造可視化に成功 メタンハイド レートを高密度分解能・高空間分解能で三次元非 破壊測定
- 2.4 【物構研トピックス】 物構研前所長の小杉信博氏 が日本放射光学会 放射光科学賞を受賞
- 2.20 【物構研トピックス】 チョコレイト・サイエンス @杉並イマジナスを開催しました
- 3.7 【プレスリリース】 木質由来の低分子性リグニン を分解できる細菌の炭素利用の一端を解明バイオ マスの利用に向けて
- 3.3 【トピックス】 立方晶窒化ホウ素 c-BN に魅せられ て
- 3.19 【トピックス】 太陽系「第三世界」の発見 小惑 星リュウグウの試料分析で分かったこと
- 4.9 【プレスリリース】 半導体デバイスの動作中に内 部構造の可視化に 成功半導体を評価する新しい 手法の提案
- 4.14 【物構研トピックス】 2024 年度量子ビームサイエ ンスフェスタを開催しました
- 4.15 【物構研トピックス】 2024 年度 物構研 定年記念最 終講義が行われました
- 4.21 【プレスリリース】 バルクでは磁石につかない物質を原子層厚の薄膜で磁石に変換-次世代スピントロニクスへの応用に期待-

2024年度量子ビームサイエンスフェスタ学生奨励賞について

PF-UA 行事幹事 高草木達 J-PARC MLF 利用者懇談会行事担当幹事 北口雅暁

2025年3月12日(水)~14日(金)に、2024年度量 子ビームサイエンスフェスタが,第 16回 MLF シンポジ ウムと第42回 PF シンポジウムと合わせて開催されまし た。PF-UA と J-PARC MLF 利用者懇談会では、本年度も 「学生が筆頭著者のポスター発表」で、PF、KENS、MSL、 MLF および低速陽電子のいずれかを利用した研究成果の うち優秀な研究発表に対して「学生奨励賞」を授与するこ とと致しました。本年度は74件もの多数の学生奨励賞へ の応募がありました。お礼を申し上げます。審査は、3月 13日(木)のポスターセッションの時間内に70名の審査 員にご協力いただき,発表を丁寧に審査していただきまし た。いずれの発表も甲乙つけ難く、審査結果も僅差となり ましたが、中でも特に優秀であると認められた6名に奨励 賞が授与されました。受賞者は下記の方々です。懇親会に て授賞式が行われ、近藤寛 PF-UA 会長ならびに大山研司 MLF 利用者懇談会会長より受賞者に賞状とトロフィーが 贈呈されました。審査員の先生方にはお忙しい中、広い分 野にまたがっての審査をお引き受けいただくと共に各発表 を非常に丁寧にご審査いただき、大変感謝しております。 また、事務局の方々にも大変お世話になりました。なお、本学生奨励賞は PF-UA と J-PARC MLF 利用者懇談会の共催で、北口雅暁 (J-PARC MLF 利用者懇談会/名古屋大学)、高草木達 (PF-UA /北海道大学)が担当致しました。

<学生奨励賞受賞者>

- ◆橋本 淳(東京科学大学)
- 「水素分子のイオン化しきい値近傍における光電子分光」
- ◆本間 飛鳥(東北大学)

「角度分解光電子分光による希土類モノプニクタイドの電子構造の研究」

- ◆南部 太郎(名古屋大学)
- 「多層膜中性子干渉計によるガス試料の核散乱長測定」
- ◆川瀬 悠太(岩手大学)

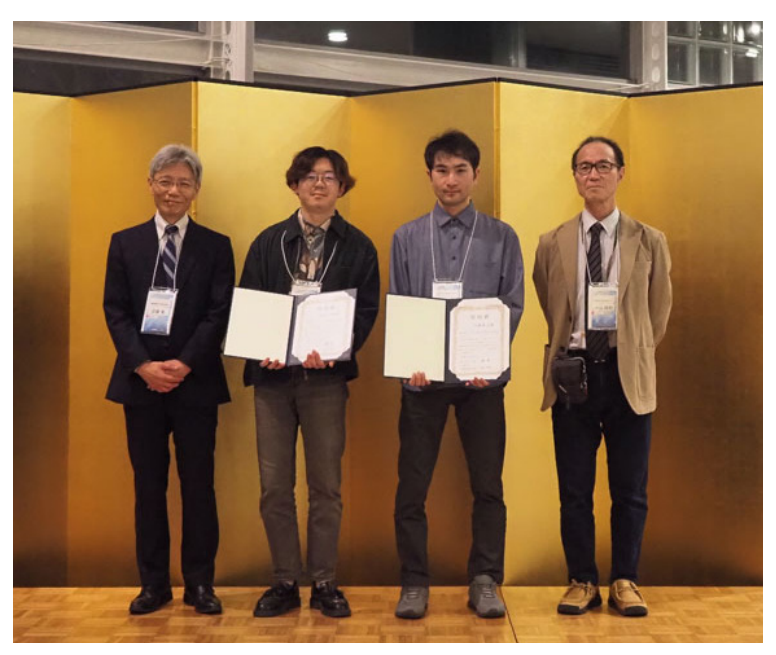
「ミューオン g-2/EDM 測定に向けたビームキック装置用高電圧パルス電源の開発」

◆兼則 祐輔(東京科学大学)

「中性子回折実験により解明した高酸化物イオン伝導性新 規オキシハライドの結晶構造とイオン伝導メカニズム」

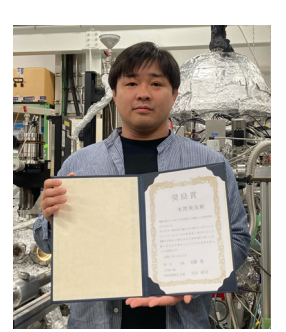
◆上原秀太(北里大)

「SOX3 の DNA 認識機構の解明」











奨励賞受賞者の皆さん【集合写真左から: 近藤寛 PF-UA 会長(慶應義塾大学 教授),南部太郎氏(名古屋大学),川瀬悠太氏(岩手大学),大山研司 J-PARC MLF 利用者懇談会長(茨城大学 教授)。橋本淳氏(東京科学大学,写真中上),兼則祐輔氏(東京科学大学,写真中下),本間飛鳥氏(東北大学,写真右上),上原秀太氏(北里大,写真右下,隣は指導教員の松井崇先生)は都合により欠席。】

員会 議事録

日時:令和7年1月11日(土)

12:30 - 13:30 (幹事会・運営委員会)

場所:つくば国際会議場とZoomによるハイブリッド開催

出席者:

近藤寛、朝倉清高、雨宮健太、植草秀裕、帯名崇、鍵裕之、 北島義典, 組頭広志, 栗栖美菜子, 栗林貴弘, 齋藤智彦, 千田俊哉、高橋嘉夫、武市泰男、田中信忠、玉田太郎、手 塚泰久,中尾裕則,長坂将成,伏信進矢,横谷明徳,米山 明男, 吉田真明

委任者:阿部善也,小林寿夫,篠崎彩子,高橋真,彦坂泰正, 森田剛, 山崎信哉, 横山英志

【定足確認】(吉田 庶務幹事)

【会長挨拶】(近藤会長)

【報告事項】

- ・ 庶務報告(吉田 幹事) PF-UA 学生論文賞について報告した。
- · 広報報告(植草 幹事) PF-UA ホームページの英語版や外部サーバーへの移転の 検討について報告した。
- ・戦略・将来計画検討報告(横谷・高橋 幹事) PF 研究会「放射光 2 ビーム利用と広波長域実験が切り拓 く学術フロンティア」や PF-UA 会員同士での話題提供の 場(第7回フォトンファクトリー計画推進委員会の後に 開催予定)など、放射光2ビーム同時利用に関する議論 を深める機会を持つことを話合った。また、PF 将来計画 や学生・若手人材育成に関して議論を行った。
- 共同利用報告(米山 幹事) 各 UG の活動報告書と継続申請書兼趣意書の提出状況に ついて報告した。
- ・教育報告(長坂 幹事) 「PF-UA サマースクール」の開催概要と開催結果について 報告した。

【協議事項】

• 活動内容

「UG 活動の促進」「サマースクール」「論文賞」「HP の高 度化」「PF-UA研究会(マルチビーム利用)」について話 し合った。

・放射光2ビーム同時利用 PF-UA の集いで会場からいただいた意見を基に、幹事と 運営委員で現状の課題や今後の方針について議論した。

【次回日程について】

第4回幹事会・運営委員会は2025年3月を予定

令和6年度第3回 PF-UA 幹事会・運営委 ● 令和6年度第4回 PF-UA 幹事会 議事録

日時:令和7年3月14日(金) 12:10-13:03 2024年度量子ビームサイエンスフェスタ/ 第 42 回 PF シンポジウム内で開催

場所:つくば国際会議場(小会議室 401) と Zoom によるハ イブリッド開催

出席者:(下線はリモート参加)

近藤寬, 吉田真明, 武市泰男, 田中信忠, 藤井健太郎, 高 草木達, 高橋真, 高橋嘉夫, 植草秀裕, 山崎信哉, 米山明男,

五十嵐教之(施設長),船守展正(物構研所長)

【総会の次第について】

同日 13:15 より開催される PF-UA 総会の次第について確 認した。

■ 令和 6 年度 PF-UA 総会 議事録

日時:令和7年3月14日(金) 12:00-13:00 2024年度量子ビームサイエンスフェスタ/ 第 42 回 PF シンポジウム内で開催

場所:つくば国際会議場(中ホール 300) と Zoom による ハイブリッド開催

総会の定足・成立確認(吉田 庶務幹事)

本総会は会則による定足数を満たしており、総会が成立 していることを確認した。事前に提出された委任状は 208 通であった。

議長選任

会則に基づき、会員の互選により本会の議長を選出した。 会場内からの推薦により、山崎裕一会員が総会議長に選 任された。

•会長挨拶(近藤会長)

【報告事項】

- ・庶務報告(吉田 幹事) PF-UA 学生論文賞について報告した。
- ・UG 名簿管理報告(武市 幹事) PF-UA の名簿管理について報告した。
- 会計報告(田中幹事) 2023 年度の PF-UA 会計決算について報告した。 単年度 収支は315,343円の黒字となった。
- · 広報報告(植草 幹事) PF-UA ホームページの英語版や外部サーバーへの移転 の検討について報告した。
- ・戦略・将来計画検討報告(横谷・高橋 幹事) PF 研究会のサポートや PF-UA 会員同士による BL-12,

BL-11 の利用テーマについて議論を実施するなど、放射 光 2 ビーム同時利用に関する議論を深める機会を作った ことを報告した。

- ・推薦・選挙管理小委員会報告(山﨑・栗栖 幹事,代読: 吉田 庶務幹事) 2025 年度に実施予定の次期 PF-UA 会長選挙について報 告した。
- ・共同利用報告(鍵・米山 幹事) 各 UG の活動報告書と継続申請書兼趣意書の提出状況に ついて報告した。
- ・教育報告(長坂 幹事,代読:吉田 庶務幹事) 「PF-UA サマースクール」の開催概要と開催結果について報告した。

【総合討論】(近藤 会長)

PF ユーザーグループ活動の活性化や、次期放射光計画への貢献・協力を呼びかけた。また、会場からは多くの質問やコメントが寄せられ、盛況のうちに閉会した。

閉会後、PF-UA学生論文賞の授与式および講演を行った。

PF-UA 学生論文賞 受賞者

- ◆吉持 遥人(東京大学大学院)
 「Multistep topological transitions among meron and skyrmion crystals in a centrosymmetric magnet」
- ◆元内省(東京理科大学大学院) 「Discovery of Anomer-Inverting Transglycosylase: Cyclic Glucohexadecaose-Producing Enzyme from Xanthomonas, a Phytopathogen」
- ◆宮井 雄大 (広島大学大学院)
 「Visualization of spatial inhomogeneity in the superconducting gap using micro-ARPES」



吉持遥人氏 (東京大学大学院)



元内省氏(東京理科大学大学院)



宫井雄大氏(広島大学大学院)



学生論文賞受賞者の皆さん【左から: 近藤寛 PF-UA 会長(慶應義塾大学 教授), 吉持遥人氏(東京大学大学院), 元内省氏(東京理科大学大学院), 宮井雄大氏(広島大学大学院)】

PF-UA 幹事名簿

会長:近藤 寛(慶應義塾大学) **庶務幹事:**吉田 真明(山口大学)

名簿管理担当庶務副幹事:武市 泰男(大阪大学) **書記担当庶務副幹事:**阿部 善也(東京電機大学)

会計幹事:田中 信忠(北里大学)

行事幹事:藤井 健太郎(量子科学技術研究開発機構)

高草木 達(北海道大学)

編集・広報担当幹事

編集幹事:鈴木 真粧子(群馬大学)* 広報幹事:植草 秀裕(東京科学大学) 戦略・将来計画担当幹事:横谷 明徳

(量子科学技術研究開発機構)

高橋 嘉夫(東京大学)

推薦・選挙管理担当幹事:山崎 信哉 (筑波大学)

栗栖 美菜子(東京大学)

共同利用担当幹事:鍵 裕之(東京大学)

米山 明男

(九州シンクロトロン光研究センター)

教育担当幹事:長坂 将成(分子科学研究所)

任期: 2024年4月1日~2027年3月31日

(*編集幹事の任期は1年)

PF-UA 運営委員名簿

任期: 2024年4月1日~2027年3月31日

	上朔・2024 中 4 月 1 日 - 2027 中 3 月 31 日
朝倉 清高	立命館大学 総合科学技術研究機構
阿部 善也	東京電機大学 工学研究科
植草 秀裕	東京科学大学 理学院
鍵 裕之	東京大学 大学院理学系研究科
久保 友明	九州大学 大学院理学研究院
組頭 広志	東北大学 多元物質科学研究所
栗栖 美菜子	東京大学 大気海洋研究所
栗林 貴弘	東北大学 大学院理学研究科
小林 寿夫	兵庫県立大学 大学院理学研究科
齋藤 智彦	東京理科大学 先進工学部
篠崎 彩子	北海道大学 大学院理学研究院
武市 泰男	大阪大学 大学院工学研究科
谷田 肇	日本原子力研究開発機構
玉田 太郎	量子科学技術研究開発機構
手塚 泰久	弘前大学 大学院理工学研究科
西脇 芳典	高知大学 教育研究部
八方 直久	広島市立大学 情報科学研究科
彦坂 泰正	富山大学 学術研究部教養教育学系
伏信 進矢	東京大学 大学院農学生命科学研究科
森田 剛	千葉大学 大学院理学研究院
山本 勝宏	名古屋工業大学 生命・応用化学教育類
横谷 明徳	量子科学技術研究開発機構
横山 英志	東京理科大学 薬学部
吉田 真明	山口大学 大学院創成科学研究科
米山 明男	九州シンクロトロン光研究センター
雨宮 健太	物構研 放射光科学第一研究系
千田 俊哉	物構研 放射光科学第二研究系
带名 崇	加速器 加速器第六研究系
北島 義典	物構研 放射光実験施設
五十嵐 教之	物構研 放射光実験施設

ユーザーグループ一覧

2025年4月1日現在

1	XAFS	武市	泰男	大阪大学
2	タンパク質結晶 構造解析	橋本	博	静岡県立大学
3	小角散乱	山本	勝宏	名古屋工業大学
4	放射線生物	横谷	明徳	量子科学技術研究 開発機構
5	粉末回折	植草	秀裕	東京科学大学
6	高圧	大村	彩子	新潟大学
7	構造物性	岩佐	和晃	茨城大学
8	表面科学	吉信	淳	東京大学
9	固体分光	齋藤	智彦	東京理科大学
10	原子分子科学	彦坂	泰正	富山大学
11	核共鳴散乱	北尾	真司	京都大学
12	位相計測	米山	明男	九州シンクロトロ ン光研究センター
13	低速陽電子	長嶋	泰之	東京理科大学
14	医学利用	松下	昌之助	筑波技術大学
15	X線発光	手塚	泰久	弘前大学
16	表面界面構造	白澤	徹郎	産業技術総合研究 所
17	X線顕微分光分析	宇尾	基弘	東京科学大学
18	物質物理	八方	直久	広島市立大学
19	X線トポグラフィー	小泉	晴比古	広島大学
20	動的構造	沖本	洋一	東京科学大学
21	鉱物・合成複雑 単結晶	栗林	貴弘	東北大学
22	産業利用	村尾	玲子	日本製鉄株式会社
23	原子力基盤研究	岡本	芳浩	日本原子力研究開 発機構

人事異動

	発令年月日	氏 名	現職	旧職
(定年退職)	2025. 3. 31	本田 融	加速器研究施設 加速器第六研究系	加速器研究施設 加速器第六研究系
			特別教授	教授
	2025. 3. 31	小菅 隆	物構研 放射光実験施設	物構研 放射光実験施設
			シニアフェロー	主任技師
	2025. 3. 31	金子直勝	物構研 放射光実験施設	物構研 放射光実験施設
(シニアフェロー	技師
(任期満了)	2025. 3. 31	露口正人		物構研 放射光科学第二研究系
		Marrier I		研究員
	2025. 3. 31	池田聡人		物構研 放射光科学第二研究系
	2025 2 21	老十四古	####################################	研究員
	2025. 3. 31	春木理恵	物構研 放射光実験施設 協力研究員	物構研 放射光科学第二研究系 研究員
(昇任)	2025, 4, 1	和田健	物構研《低速陽電子実験施設	物構研 低速陽電子実験施設
() 	2023. 4. 1	和山 连	教授	推教授 (本教授
	2025, 4, 1	濁川和幸	加速器研究施設 加速器第六研究系	加速器研究施設 加速器第六研究系
	2023. 1. 1	129/ 111H T	主任技師	先任技師
	2025. 4. 1	下ケ橋秀典	加速器研究施設 加速器第六研究系	加速器研究施設 加速器第六研究系
			先任技師	専門技師
	2025. 4. 1	田中窓香	加速器研究施設 加速器第六研究系	加速器研究施設 加速器第六研究系
			技師	准技師
	2025. 4. 1	成田千春	物構研 放射光実験施設	物構研 放射光実験施設
			准技師	技術員
	2025. 4. 1	本村 新	加速器研究施設 加速器第六研究系	加速器研究施設 加速器第六研究系
(1-1-)			准技師	技術員
(採用)	2025. 4. 1	城戸大貴	物構研 放射光科学第二研究系	物構研 放射光科学第二研究系
	2027 4 4	***	助教	特別助教
	2025. 4. 1	齊藤寛峻	加速器研究施設 加速器第六研究系	加速器研究施設 加速器第六研究系
	2025 4 1	MILLED	助教 物構研 放射光科学第二研究系	特別助教 物構研 放射光科学第二研究系
	2025. 4. 1	MILLER, Simon Andrew		初傳研
		Sillion Andrew	1寸 1上1 庄4以1又	刊九只

新人紹介

(着任)

PEREIRA, Jair (出身: Brazil)



- 1. March 1, 2025
- Research Assistant at SBRC,
 (PhD student at University of Tsukuba)
- 4. Metaheuristics Search Algorithms / Optimization Algorithm
- As a Research Assistant, my goal is to understand the technical foundations that power such a high-science instrument as the cryo-electron microscope.
 I'm especially excited to understand both the code that
- 6. Do no harm, do what you will
- 7. Programming, games... game programming ^ ^;

drives it and the physics that makes it possible.

團優菜(だんゆうな)



- 1. 2025年4月1日
- 2. 加速器研究施設 加速器第六研究系· 技術員
- 3. 自然科学書の出版社・物理学分野の書 籍編集者
- 4. 素粒子物理学
- 5. まだまだわからないことだらけですが、未知の世界を 前にしてワクワクしています。 これからよろしくお願いいたします。
- 6. 仕事は愉しく
- 7. 博物館めぐり, 読書, 散歩

三上力久(みかみりき)



- 1. 2025年4月1日
- 2. 物構研 低速陽電子実験施設, 量子ビーム連携研究センター 博士研究員
- 3. 東京理科大学 理学研究科物理学専攻

博士後期課程

- 4. 陽電子・ポジトロニウムビームを用いた実験
- 5. 粉骨砕身,人生を賭けて研究します。
- 6. 弱気は最大の敵
- 7. ランニング

安部美季(あべみき)



- 1. 2025年4月1日
- 2. 物構研 量子ビーム連携研究センター 博士研究員
- 3. 奈良女子大学大学院 人間文化総合科学研究科

自然科学専攻・大学院生 (博士課程)

- 4. コロイド・界面化学分野
- 5. 研究や勉強に邁進し、量子ビームを用いた測定をさら に活性化できるように尽力いたします。これからどう ぞよろしくお願いします。

西将汰 (にししょうた)



- 1. 2025年4月1日
- 総合研究大学院大学 博士後期課程一年 加速器第六研究系
- 3. 神戸大学大学院理学研究科 物理学専攻粒子物理学研究室
- 4. 放射光源加速器
- 5. 博士課程を3年で駆け抜けたい。
- 6. 研究忙しくても人に優しくする。
- 7. 将棋, ボルダリング, 切手収集, 旅行, 風景印

深谷亮 (ふかやりょう)



- 1. 2025年5月1日
- 2. 物構研 放射光科学第一研究系·助教
- 3. 東京大学物性研究所·特任助教
- 4. 超高速物性科学, 時間分解X線計測
- 5. PF や PF-AR の特性を活かした時間分

解X線計測を推進し、超高速物性科学の発展に貢献したいと思います。

- 6. 悩むより行動
- 7. サッカー, 水泳, 料理, 園芸
 - 1. 着任日 2. 現在の所属・職種 3. 前所属・職種
 - 4. 専門分野 5. 着任に当っての抱負 6. モットー
 - 7. 趣味 (写真,5番~7番の質問は任意)

Photon Factory Activity Report 2024 ユーザーレポート執筆のお願い

PFACR 2024 編集委員長 松垣直宏 (KEK 物構研)

PFでは、施設の活動報告の一環として毎年 Photon Factory Activity Report (PFACR)を公開しております。これは当該年度に実施された実験課題の結果報告集(ユーザーレポート)であり、広く国内外に PF の研究活動についてお伝えするものです。皆様のご協力をもちまして 2023年度 (PFACR2023)の編集作業は順調に進み,2024年秋に公開されました。

2024 年度版である PFACR2024 を受付しております。つきましては、皆様が 2024 年度に PF で行われた研究の成果をユーザーレポートとしてお送り下さるようお願い申し上げます。2024 年 4 月から 2025 年 3 月までに実施された実験について寄稿して頂くのが基本ですが、データの解析に時間を要する等が考えられますので、期間前の実験結果についての報告も歓迎しています。このユーザーレポートは、2014 年度より共同利用実験課題の終了届を兼ねることになりましたので、課題責任者は一課題につき一報以上をご提出いただくことが求められています。

PFACR は PF が研究活動に関して評価を受ける際の重要な物差しの一つであり、皆様の寄稿は PF におけるユーザー支援、ひいては皆様の研究環境の改善に繋がります。積極的にご執筆頂ければ幸いです。

ユーザーレポートの原稿や電子ファイルの準備・投稿要領は PFACR2024 のホームページ (英語ページ: https://www2.kek.jp/imss/pf/eng/science/publ/acr/2024/acr-submission-en.html, 日本語ページ: https://www2.kek.jp/imss/pf/science/publ/acr/2024/acr_submission_jp.html) に掲載しておりますのでご覧下さい。執筆は英語もしくは日本語でお願いします。

<ユーザーレポート提出締切: 2025 年 6 月 30 日(月)>

「第13回対称性・群論トレーニングコース」 基礎コース(英語講座・日本語講座) 開催のお知らせ

物質構造科学研究所 五十嵐教之

結晶学は物質科学研究の柱であるにもかかわらず、研究分野の細分化や解析ツールの進化に伴いブラックボックス化しているところがあります。本トレーニングコースでは、「空間群や対称性と結晶構造の関係がピンとこない」、「構造解析の後にもう一歩議論を深めたい」と日頃お感じの方々に、結晶学と直結する対称性や群論の知識を学んでいただくことを目的とし、結晶学で重要な根本原理と幾何学との関係を軸に、講義と演習を繰り返しながら進行します。

今回も日本語コースだけでなく英語講座も開催予定となっておりますので、お近くに興味をお持ちの方がおりましたらご周知をお願い致します。

なお,当コースは総合研究大学院大学の他大学開放科目 (科目名『結晶の対称性・群論-基礎コース』)でもあります。

<開催概要>

開催日:基礎コース

(英語講座) 2025年7月14日(月)~7月18日(金) (日本語講座) 2025年7月28日(月)~8月1日(金)

開催場所:高エネルギー加速器研究機構つくばキャンパス 4号館セミナーホール

参加申込:ホームページの参加申込フォームよりお申し込 み下さい(**参加申込開始:5月13日(火)10時**)。

参加費:無料。但し交通費宿泊費は自己負担。 希望者は KEK ドミトリーを利用可。

定員:各講座とも 35 名程度

講師:ネスポロ・マッシモ氏(フランス・ロレーヌ大学 結晶学教室教授,国際結晶学連合数理結晶学委員会 前委員長,総研大授業担当講師)

プログラム:

線形代数学,抽象代数学,ステレオ投影,

点群,部分群,剰余類・共役部分群・正規部分群,

らせん軸と並進鏡面,

計量テンソル,対称操作の行列表現,

軸変換による空間群記号の変更,

正規化群,対称性と対掌性,

消滅則の幾何学的解釈,ワイコフ位置と結晶軌道, 群と部分群

ホームページ: http://pfwww.kek.jp/trainingcourse/

総合研究大学院大学 先端学術院 先端学術専攻物質構造科学コース 大学院説明会及び学生募集のお知らせ

物質構造科学コース長 熊井玲児

総合研究大学院大学(総研大)は、「大学共同利用機関」 の高度な研究環境を活用した教育機関です。学部を持たない大学院だけの大学で、独創的・国際的な学術研究の推進 や先導的学問分野の開拓に対応する研究者の養成を目的と しています。

物質構造科学コースは先端学術院先端学術専攻に属し、 基盤共同利用研究機関としては、高エネルギー加速器研究 機構物質構造科学研究所が対応しています。5年一貫制博 士課程および博士後期課程があり、博士の学位を目指す学 生を受け入れています。物質構造科学コースでは、世界最 先端のビームの発生と加工に関する技術開発研究や新しい 利用研究手法の開発、先端的利用研究を行っている研究者 の指導の下に、量子ビームの科学の将来を担い、物質科学 研究の発展に貢献する有為の人材の養成を目的としていま す。新しいことにチャレンジし、世界に飛び出していく意 欲のある方の参加を期待しています。

総合研究大学院大学・先端学術院先端学術専攻・物質構造科学コース(5年一貫制博士課程および博士後期課程)の学生募集(2025年10月入学および2026年4月入学)について下にまとめました。KEK受入れの総研大・3コースの中には粒子加速器とその関連装置の原理から設計・製作にかかわる様々な科学技術を学び研究を行う加速器科学コースもありますので、詳しくは総研大のホームページをご参照下さい。皆様の周りに将来の放射光科学を担う人材として該当する学生の方々がおられましたら、ぜひ勧めて下さい。

物質構造科学コースの HP:

https://www2.kek.jp/imss/education/sokendai/

総合研究大学院大学の HP:

https://www.soken.ac.jp/

大学院説明会開催のお知らせ

KEK では KEK 受入れの総研大・3 コースの大学院説明会を毎年3回開催しています。本説明会では、総研大および KEK3 コースの案内や各コースで取り組んでいる研究内容の紹介等を行います。

今年度の大学院説明会は終了しましたが、次回開催の日程や内容は詳細が決まり次第、ホームページ (ttps://www.kek.jp/ja/education/graduate/sokendai) に掲載します。

研究内容や教員の紹介、施設・研究室の訪問は個別に随 時受け付けています。上記のホームページを参照ください。

総研大物質構造科学コース学生募集

2025年10月入学生及び2026年4月入学生募集概要

1. 募集人数

	募集人数				
入学課程	2025年10月	2026年4月			
	入学	入学			
博士課程(5年一貫制)	若干名	2名程度			
博士後期課程	若干名	1 名程度			

2. 願書受付期間·試験日程

< 5 年一貫制博士課程>

	願書受付期間	入試	合格発表
第1回 2025年10月入学 2026年4月入学	5月29日(木) ~6月4日(水)		8月上旬
第 2 回 2025 年 10 月入学 2026 年 4 月入学	6月26日(木) ~7月2日(水)	8月20日(水) ~8月22日 (金)	9月中旬
第 3 回 2026 年 4 月入学	12月4日(木) ~ 12月10日 (水)		2026 年 2 月中旬

※願書の受付時間は、期間中の平日 9:00 ~ 12:00, 13:00 ~ 17:00 とします。

<博士後期課程>

	願書受付期間	入試	合格発表
第 1 回 2025 年 10 月入学 2026 年 4 月入学	6月2日(月) ~6月5日(木)	8月20日(水) ~8月22日 (金)	9月中旬
第 2 回 2026 年 4 月入学	11月4日(火) ~ 11月6日 (木)	1月20日(火)~1月21日(水)	2026年 2月中旬

※願書の受付時間は、期間中の平日 9:00 ~ 12:00、 13:00 ~ 17:00 とします。

※博士後期課程への出願は、出願資格を満たしている者に 限られます。詳しくは募集要項をご確認ください。

3. 選抜の方法

書類選考と面接試験

4. 募集要項請求先

以下のいずれかにご請求下さい。

* 〒 240-0193 神奈川県三浦郡葉山町(湘南国際村) 総合研究大学院大学 学務課学生係

TEL 046-858-1525 又は 1526 gakusei@ml.soken.ac.jp

* 〒 305-0801 茨城県つくば市大穂 1-1 高エネルギー加速器研究機構 研究協力課大学院教育係 TEL 029-864-5128 kyodo2@mail.kek.jp

2025 年度後期 フォトンファクトリー研究会の募集

放射光実験施設長 五十嵐教之

物質構造科学研究所放射光実験施設(フォトンファクトリー)では放射光科学の研究推進のため、研究会の提案を全国の研究者から公募しています。この研究会は放射光科学及びその関連分野の研究の中から、重要な特定のテーマについて1~2日間、高エネルギー加速器研究機構のキャンパスで集中的に討議するものです。年間6件程度の研究会の開催を予定しております。

つきましては研究会を下記のとおり募集致しますのでご 応募下さいますようお願いします。

記

- **1. 開催期間** 2025年10月~2026年3月
 - [年2回(前期と後期)募集しています]

2025年6月20日(金)

3. 応募書類記載事項(A4判,様式任意)

- (1) 研究会題名 (英訳を添える)
- (2) 提案内容(400字程度の説明)
- (3) 提案代表者氏名, 所属及び職名(所内, 所外を問わない)
- (4) 世話人氏名 (所内の者に限る)
- (5) 開催を希望する時期
- (6) 参加予定者数及び参加が予定されている主な研究 者の氏名,所属及び職名
- 4. 応募書類送付先(データをメールに添付して送付)

放射光実験施設 PF 事務室

Email:pf-office@pfiqst.kek.jp

なお、旅費、宿泊費等については実施前に詳細な打ち合わせのうえ、支給が可能な範囲で準備します(1件当り上限30万円程度)。開催日程については、採択後、放射光実験施設長までご相談下さい。また、研究会の報告書をKEK Proceedings として出版していただきます。

予 定 一 覧

2025年

2. 応募締切日

6月7日 KEK 公開講座 2025「科学技術で地球温暖化を食い止める~ KEK でのカーボンニュートラルへ

の取り組み~」(KEK 小林ホール)

6月20日 2025年度後期フォトンファクトリー研究会公募締め切り

6月30日 PF-AR 2025 年度第一期ユーザー運転終了 7月7日 PF 2025 年度第一期ユーザー運転終了

7月14~18日 第13回対称性・群論トレーニングコース(基礎コース・英語)(KEK4号館セミナーホール) 7月28~8月1日 第13回対称性・群論トレーニングコース(基礎コース・日本語)(KEK4号館セミナーホール)

8月2~3日 つくばキャンパス全所停電

9月23日 KEK 一般公開 2025

※最新情報は http://pfwww.kek.jp/spice/getschtxt をご覧下さい。

運転スケジュール(Apr. ~Jul. 2025)

4月

1(火)

2(水)

3(木)

4(金)

5(土)

6(日)

7(月)

8(火)

9(水)

10(木)

11(金)

12(土)

13(日)

14(月)

15(火)

16(水)

17(木)

18(金)

19(土)

20(日)

21(月)

22(火)

23(水)

24(木)

25(金)

26(土)

27(日)

28(月)

29(火)

30(水)

STOP STOP

PF

PF-AR

5月 PF PF-AR 6月 PF-AR 7月 PF-AR PF PF 1(火) 1(木) 1(日) HB 2(金) 2(月) 2(水) Ε B(HB) Е (6.5GeV 3(火) 3(木) 3(土) STOP 4(日) 4(水) 4(金) B В _ HB 5(月) 5(木) 5(土) М 6(金) 6(火) 6(日) STOP 7(水) 7(土) 7(月) (6.5Ge 8(火) 8(木) 8(日) HB 9(月) 9(水) 9(金) _T/M 10(土) 10(火) 10(木) М 11(日) 11(水) 11(金) B(HB) 12(木) 12(土) 12(月) 13(火) 13(金) 13(日) 14(水) 14(土) 14(月) T/M E (5GeV) 15(日) 15(木) 15(火) -HB STOP STOP 16(金) 16(月) 16(JK) 17(土) 17(火) 17(木) 18(水) 18(日) 18(金) B B(HB) 6.5GeV 19(木) 19(月) 19(土) М 20(火) 20(余) 20(日) 21(水) 21(土) 21(月) B 5GeV В Е 22(火) 22(日) 22(木) М (5GeV) HB 23(月) 23(金) 23(水) 24(土) 24(火) 24(木) 25(日) 25(水) 25(金) B(HB) 6.5GeV 26(月) 26(木) 26(土) М 27(火) 27(金) 27(日) 28(水) 28(土) E (5GeV) 28(月) B 5Ge HB В 29(木) 29(日) 29(火) М 30(金) 30(月) 30(水) Е STOP 31(土) 31(木)

E:ユーザー実験 B:ボーナスタイム

M:マシンスタディ T:立ち上げ MA:メンテナンス HB:ハイブリッド運転

スケジュールは変更されることがありますので、最新情報はPFホームページ(https://www2.kek.jp/imss/pf/)の「運転スケジュール」(https://www2.kek.jp/imss/pf/apparatus/schedule/)をご覧ください。

放射光共同利用実験審査委員会速報

放射光実験施設運営部門 君島堅一 北島義典

2025 年 3 月 24 日 (月) に,第 66 回放射光共同利用実験審査委員会 (PF-PAC) 全体会議が,ハイブリッド会議形式で開催され,放射光実験施設報告や PF-PAC 制度の改定など実験施設運営に関する重要事項の報告,協議および審議が行われました。

報告事項 (抜粋)

· 放射光実験施設報告(五十嵐実験施設長)

2025 年度の PF の体制, 運転計画, BL-12A 及び BL-11 の建設・立ち上げの現状, などについて報告がありました。

・前回委員会以降に審査された P型課題

P型課題4件が採択されたこと,P型課題2件が申請資格を有しないことが理由で不採択とされたことが報告されました(P型課題は,博士課程学生も含めて学生は申請することができません)。

- ・PF 課題実施状況(2024年度第3期)が報告されました。
- ・ユーザーグループ運営ステーション・装置評価委員会 2024 年度末で期限となるユーザーグループ運営ビーム ライン (BL-27A, BL-27B) および装置 (MAX-III) について, 評価委員会の結果および計画書に基づき, 継続されること が報告されました。

審議事項

1. 課題の進捗状況評価について

今年度中間評価/最終評価の対象であった, S2 型課題 (6件), T 型課題 (4件), τ 型課題 (3件) について, 自己評価書・ τ 2024年度量子ビームサイエンスで行われた 課題評価などをもとにまとめられた評価報告書が承認されました。

2. 開発研究多機能ビームラインの運用制度について

開発研究多機能ビームライン (BL-11) の運用制度に関してこれまで PAC 全体会議で検討されてきた運用制度案が承認されました。2025 年度後期実験課題公募(2025 年5 月締切)から募集を開始します。

3. 課題申請書の改訂について

前回の議論を受けて、具体化した課題申請書の書式の改訂について意見交換しました。課題申請・審査システムの改修を伴う改定点の大枠について、今回承認されました。詳細については引き続き検討をすすめていきます。新しい申請書の書式は、2026年度前期課題公募(2025年11月締

切)から適用される予定です。

協議事項(抜粋)

1. S2 型課題の説明の見直しについて 募集要項での S2 型課題の特徴の説明の改定について, 意見交換しました。

2. 液体ヘリウムの対応について

前回のPAC全体会議での協議に引き続き、液体ヘリウムの使用量削減のための対応策について意見交換しました。

3. 新放射光源施設計画の検討について

五十嵐放射光実験施設長から,新放射光源施設計画について,現在の取り組み,あらたな研究分野の創成,マルチビーム利用研究の提案,計画実現に向けた課題と技術的・予算的検討,スケジュール等について説明があり,意見交換しました。

・次回 PF-PAC 全体会議は 2025 年 7 月頃の開催を予定しています。

第 180 回 物質構造科学研究所運営会議議事次第

日時: 2025年3月17日(月) 15:15~

場所:高エネルギー加速器研究機構3号館1階会議室+ ウェブ(Zoom)併用

【1】第177~179回議事要録の確認について

【2】審議

- (1) 2025 年度前期ミュオン共同利用 S 型実験課題の審査 結果について
- (2) ミュオン共同利用実験審査委員会委員の改選について
- (3) 中性子共同利用実験審査委員会委員の改選について
- (4) 放射光共同利用実験審査委員会委員の変更について
- (5) 2025A 期 J-PARC/MLF における大学共同利用中性子 実験課題(一般・産業利用)の審査結果について
- (6) 2025A 期 J-PARC/MLF における大学共同利用ミュオン 実験課題(一般)の審査結果について
- (7) 教員人事(物構研 24-9・教授 1 名)
- (8) 教員人事(物構研 24-10·教授 1 名)
- (9) 教員人事(物構研 24-11·准教授 1 名)
- (10) 教員人事 (物構研 24-12・講師 1 名)
- (11) 教員人事(物構研 24-14・助教または特別助教 1 名)
- (12) 教員人事(物構研 24-15・特別准教授 1 名)

- (13) 教員人事(物構研24-16・教授または准教授1名)
- (14) 教員人事(特定人事・助教1名)
- (15) 教員人事(特定人事・特別教授1名・JAEA クロアポ)
- (16) 教員人事(特定人事・特任准教授1名)
- (17) 教員人事(特定人事・職位呼称・特別教授1名)
- (18) 客員研究員の選考について

【3】報告

(1) 人事異動

【4】報告

- (1) 研究員の選考結果について
- (2) 2025 年度前期放射光共同利用実験課題審査結果について(条件解除)
- (3) 2024年度通期放射光共同利用実験課題審査結果について
- (4) 協定等の締結について(国内機関)
- 【5】研究活動報告(資料配布のみ)
- (1) 物質構造科学研究所報告
- (2) 素粒子原子核研究所報告
- (3) 加速器研究施設報告
- (4) 共通基盤研究施設報告

物構研コロキウム

日時: 2025 年 4 月 4 日(金) 15:30 ~ (東海キャンパス 1 号館 116 室 & Zoom)

題名:#67 X線誘発生体分子変化の追跡とマルチビーム利用への期待一基礎生物学から医療用薬剤開発に向けて一

講師: 横谷明徳氏(量子科学技術研究開発機構/茨城大)

日時: 2025 年 5 月 7 日 (水) 10:00 ~ (つくばキャンパ ス 4 号館 1 階セミナーホール & Zoom)

題名:#68 量子マルチビーム施設計画への素核分野からの 期待

講師:齊藤 直人氏(KEK 素粒子原子核研究所長)

放射光共同利用実験審査委員会委員名簿

		版初九六时代为大家留在安央公安只有
	氏 名	所 属・ 職 名
	朝倉 大輔	産業技術総合研究所 省エネルギー研究部門・上級主任研究員
	石坂 香子	東京大学 大学院工学系研究科・教授
	一國 伸之	千葉大学 大学院工学研究院・教授
	一柳 光平	高輝度光科学研究センター 放射光利用研究基盤センター・研究員
	井上 倫太郎	京都大学 複合原子力科学研究所・准教授
	植草 秀裕	東京科学大学 理学院・教授
	大村 彩子	新潟大学 理学部・准教授
	小川 紘樹	京都大学 化学研究所・准教授
	片山 真祥	高輝度光科学研究センター 分光推進室・主幹研究員
	北島 昌史	東京科学大学 理学院・准教授
	久保 友明	九州大学 理学研究院・教授
	近藤 次郎	上智大学 理工学部・教授
	近藤 寛	慶應義塾大学 理工学部・教授
機	佐藤 文菜	自治医科大学 医学部・講師
構	島雄 大介	国際医療福祉大学 保健医療学部・教授
外	島田 賢也	広島大学 放射光科学研究所・所長
	白澤 徹郎	産業技術総合研究所 物質計測標準研究部門・主任研究員
	髙山 あかり	早稲田大学 理工学術院先進理工学部・准教授
	武市泰男	大阪大学 大学院工学研究科・助教
	藤間 祥子	奈良先端科学技術大学院大学 先端科学技術研究科・准教授
	戸木田 雅利	東京科学大学 物質理工学院・教授
	橋本 博	静岡県立大学薬学部・教授
	保倉明子	東京電機大学 工学部・教授
	本田 充紀	日本原子力研究開発機構 物質科学研究センター・マネージャー
	松村 武	広島大学 大学院先進理工系科学研究科・教授
	森田 剛	千葉大学 大学院理学研究院・准教授
	矢代 航	東北大学 国際放射光イノベーション・スマート研究センター・教授
	山崎 裕一	物質・材料研究機構 統合型材料開発・情報基盤部門・主任研究員
	若林 裕助	東北大学 大学院理学研究科・教授
	* 雨宮 健太	物質構造科学研究所・副所長/放射光科学第一研究系・研究主幹
	* 千田 俊哉	物質構造科学研究所 放射光科学第二研究系・研究主幹
	* 伊藤 晋一	物質構造科学研究所中性子科学研究系・研究主幹
	* 幸田 章宏	物質構造科学研究所 ミュオン科学研究系・研究主幹
機	* 五十嵐 教之	物質構造科学研究所 放射光実験施設・実験施設長
構	* 帯名 崇	加速器研究施設 加速器第六研究系・研究主幹
内	惠郷 博文	加速器研究施設 加速器第五研究系・研究主幹
	木村 正雄	物質構造科学研究所 放射光科学第二研究系・教授
	熊井 玲児	物質構造科学研究所 放射光科学第一研究系・教授
	平野 馨一	物質構造科学研究所 放射光実験施設・教授
	松垣 直宏	物質構造科学研究所 放射光実験施設・教授
	宇佐美徳子	物質構造科学研究所 放射光実験施設・特別教授
		任期: 2024 年 4 月 1 日~ 2027 年 3 月 31 日 * 役職指定

任期: 2024年4月1日~2027年3月31日 *役職指定

放射光共同利用実験審査委員会委員名簿(分科会別)

第1分	科会	第2分	科会	第3分	科会	第 4 分	科会	第 5 分	科会	第6分	科会	分科会無所属			
※石坂	香子	※松村	武	※一國	伸之	※橋本	博	※森田	剛	※矢代	航	近藤	寛	五十届	載教之
北島	昌史	植草	秀裕	朝倉	大輔	近藤	次郎	井上作	命太郎	一柳	光平	島田	賢也	伊藤	晋一
高山ま	5かり	白澤	徹郎	片山	真祥	佐藤	文菜	小川	紘樹	大村	彩子			幸田	章宏
本田	充紀	若林	裕助	武市	泰男	藤間	祥子	戸木田	日雅利	久保	友明			帯名	崇
山崎	裕一			保倉	明子					島雄	大介			惠郷	博文
雨宮	健太	熊井	玲児	木村	正雄	千田	俊哉	松垣	直宏	平野	馨一			宇佐美	美徳子

※分科会責任者

2025 年度 客員研究員一覧

氏	名	所 属 ・ 職 名	名 称
小笠原	諭	千葉大学 国際高等研究基幹/大学院理学研究院・准教授	客員准教授
加藤	政博	広島大学 放射光科学研究センター・特任教授 自然科学研究機構 分子科学研究所・特任教授併任	客員教授
木原	大亮	Purdue University • 教授	客員教授
佐々木	茂美	広島大学 放射光科学研究センター・名誉教授	客員教授
杉山	正明	京都大学 原子炉実験所・教授	客員教授
高雄	勝	元(公財)高輝度光科学研究センター・特別嘱託研究職員	客員教授
竹谷	敏	産業技術総合研究所 エネルギープロセス研究部門・上級主任研究員	客員教授
堀場	弘司	量子科学技術研究開発機構 NanoTerasu センター・ビームライングループ グループリーダー	客員教授
簔原	誠人	産産業技術総合研究所 量子・AI 融合技術ビジネス開発グローバル研究センター・量子ハードウェアシステム研究チーム チーム長	客員准教授
米山	明男	九州シンクロトロン光研究センター・主任研究員	客員教授

2024 年度 PF 課題(PF-S, PF-G, PF-T)一覧

課題番号	申請者	所属	課題名	希望ステーション	希望ビームタイム	実施ビームタイム
2024PF-G001	山下 翔平	PF	特殊サンプルの軟X線顕微分光測定に向けた予備実験	19A/B	各期 48h	264h
2024PF-G002	中尾 裕則	PF	共鳴X線散乱実験用の偏光子の性能テスト	16A 19B	3日間	19A/B:72h
2024PF-G003	西村 龍太郎	PF	SOIPIX検出器のX線干渉計への応用試験 II	14C	2週間程度	48h
2024PF-G004	西村 龍太郎	PF	SOIPIX検出器および読出しシステムの性能評価試験 II	14A 14B	各2週間程度	14A:288h+ 14B:192h
2024PF-G005	五十嵐 教之	PF	ヘッド分離型SXエリア検出器の評価実験	7A	2日間	328h
2024PF-G006	柴崎 裕樹	PF	ズーミング顕微鏡を用いたラミノグラフィ測定装 置系の開発	NE1A	2週間程度	272h
2024PF-G007	柴崎 裕樹	PF	ビームスプリッターによる2ビーム利用の検討	20B	2週間程度	無し
2024PF-G008	石井 祐太	東北大学大学院 理学研究科	Van der Waals反強磁性体GdTe3のCDW観測	19B 16A 3A	2日間	19A/B:48h
2024PF-G009	足立 純一	PF	レーザーpump-放射光probeによるナノ粒子堆積膜の軟X線吸収スペクトル計測の試み	16A 13A	6日間	13A/B:36h
2024PF-G010	阿部 仁	PF	全反射X線分光法(TREXS)の固液界面in situ測定への展開	9C	各期 48h	144h
2024PF-G011	阿部 仁	PF	接合金属界面の微小領域の局所構造解析	9A 15A1	各期 72h	15A1:48h
2024PF-G012	小澤 健一	PF	BL-2BHでのオペランド測定用光電子分光装置の整備とテスト測定	2A/B	72h	168h
2024PF-G013	田中 宏和	PF	軟X線パルスセレクターの調整法の改善	2A/B	各期 1日	48h
2024PF-G014	足立 純一	PF	原子蛍光偏光計の開発 #2	20A	各期 3日	192h
2024PF-G015	権田 幸祐	東北大学大学院 医学系研究科	ヒト血管病変組織の結晶干渉法によるX線位相コ ントラストイメージング	14C	1日	24h
2024PF-G016	君島 堅一	PF	XAFS 測定用冷却溶液セルの開発	NW10A 9C 9A/9C/12C/NW10A	NW10A:12h+ 9C:24h+48-96h	NW10A:36h+9A:12h +9C:48h+12C:24h
2024PF-G017	阿部 仁	PF	Naイオン伝導体非晶質の局所構造解析	9A, 9C, 12C	9A, 9C, 12C:24hx2 9A(SX):12h+24h	9A:12h+9C:24h
2024PF-G018	丹羽尉博	PF	新規二次元材料の層間カチオンに対する構造解析 のためのXAFS法の検討	9A	24h	24h
2024PF-G019	柏木隆成	筑波大学	高温超伝導体テラヘルツ波デバイスの性能向上に 向けた結晶材料評価手法の開発	14B/20B	2日	14B:64h
2024PF-G020	奥山大輔	PF	配位結合の協同効果で創出された cofacial に結合したポルフィリン二量体の結晶構造についての研究	17A	2日	23. 5h
2024PF-G021	若林大佑	PF	ナイフエッジ型波長分解白色ビームモニタ開発の ための予備実験	19B	6h	6h
2024PF-G022	千田俊哉	SBRC	マウス頭部の硬組織解析	14B	数日	24h
2024PF-G023	足立純一	PF	中空光ファイバーによる軟X線伝送効率の測定	2B	3日	72h
2024PF-T001	Angelo Rillera	SOKENDAI	XANES mapping and EXAFS analysis of Fe and Ti containing celadon glazes	15A1	24h	24h
2024PF-T002	平野 馨一	PF	位相CT講習会	14C	1日	20B:48h+14C:24h
2024PF-T003	阿部仁	PF	茨城大学XAFS BL実習	9A, 9C	12h	9C:12h
2024PF-T004	丹羽尉博	PF	2024年度XAFS講習会	9A, 9C, 12C	24hx3	9A:24h+9C:24h+12 C:24h
2024PF-T005	佐藤和樹	弘前大学大学院	蛍光X線CTシステムを用いた生体計測のための基礎 実験	NE7A	3日+2-3日	72h
2024PF-T006	Nguyen Thi My Le	SOKENDAI	Structural and electronic changes at the phase transition in (5%W,V)02 thin film	4C	4日	160h
2024PF-T007	松垣直宏	PF	大阪医科薬科大学・医学部生を対象としたタンパク質結晶構造解析データ収集の演習	5A	7. 5h	7.5h
2024PF-T008	小澤健一	PF	2024年度加速器科学インターンシップ	3B	7hx2	無し

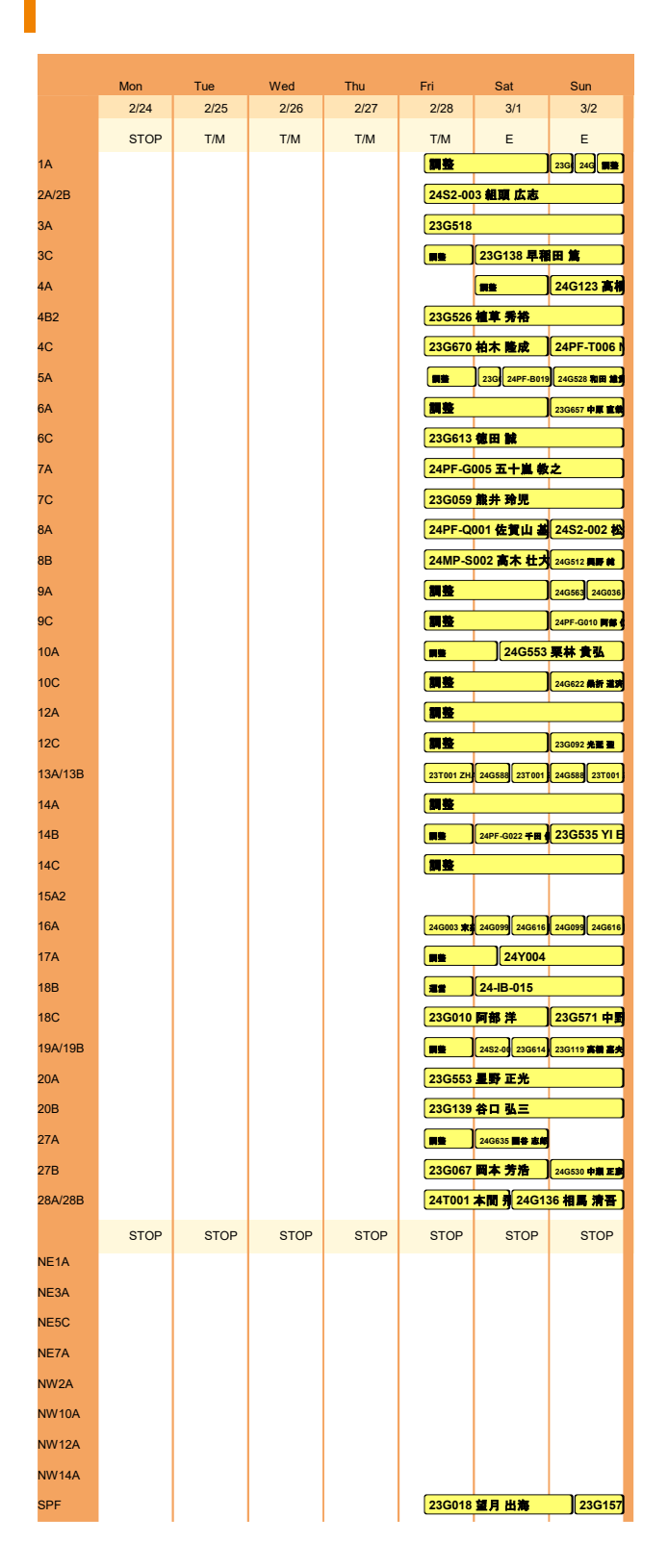
2024 年度 PF 課題 (PF-SBRC) 一覧

課題番号	申請者	所属	課題名	希望ステーション	希望ビームタイム	実施ビームタイム
2024PF-B001	松垣 直宏	PF	BINDS事業におけるビームライン技術開発	1A	62. 5h	62. 5h
2024PF-B002	鎌田 祥太郎	昭和薬科大学	PPAR受容体結晶構造解析	17A	7. 5h	7. 5h
2024PF-B003	石田 英子	慶應義塾大学 薬学部	Keap1-Nrf2のPPI阻害剤の合理的分子設計を目指した新規PPI阻害剤とKeap1の複合体のX線結晶構造解析	17A	46. 5h	46.5h
2024PF-B004	松浦 友亮	東京工業大学 地球生命研究所	PPK2 classIII酵素の構造解析	17A	23h	23h
2024PF-B005	藤山 敬介	理化学研究所 環境資源科学研 究センター	アブシジン酸生合成・代謝に関わる酵素群の構造 解析	1A	23h	23h
2024PF-B006	加藤 悦子	東洋大学 大学 院食環境科学研 究科	歯周病細菌の増殖因子PgAckと活性阻害物質複合体のX線構造解析	1A/17A	38. 5h	38.5h
2024PF-B007	佐々木 大輔	和歌山県立医科 大学 薬学部	凝集性ペプチドの構造解析	1A	31h	31h
2024PF-B008	郷田 秀一郎	創価大学理工学 部	溶血性レクチンの膜孔形成機構の解明	15A2	48h	48h
2024PF-B009	宮川 拓也	京都大学大学院 生命科学研究科	植物特異的DOF転写因子の転写制御機構の解明に向けた構造解析	1A	7. 5h	7. 5h
2024PF-B010	庄村 康人	茨城大学学術研 究院 応用理工 学野	カロテノイド結合タンパク質の構造解析	1A	15h	15h
2024PF-B011	庄村 康人	茨城大学学術研 究院 応用理工 学野	水素酸化細菌由来可溶性ヒドロゲナーゼの会合状態の決定	10C	24h	24h
2024PF-B012	勝山 陽平	東京大学 大学院 農学生命科学研 究科	ATP依存型ジアゾ基合成酵素のクライオ電子顕微鏡 を利用した構造解析	17A	22. 5h	22. 5h
2024PF-B013	野口 耕司	東京理科大学 薬学部	抗SARS-CoV-2二重特異性抗体とエピトープとの結合構造の解析	1A	7. 5h	7.5h
2024PF-B014	橋口 隆生	京都大学 医生 物学研究所	新型コロナウイルス変異株由来スパイクタンパク 質と受容体複合体のX線結晶構造解析	1A	15. 5h	15. 5h
2024PF-B015	田辺 幹雄	SBRC	シャルコー・マリー・トゥース病の原因遺伝子産物PMP22およびMPZのX線結晶構造解析	1A	7. 5h	7. 5h
2024PF-B016	佐々木 大輔	和歌山県立医科 大学 薬学部	神経変性疾患因子の構造解析	1A	15.5h	15. 5h
2024PF-B017	藤間 祥子	奈良先端科学技 術大学院大学 先端科学技術研 究科	蛋白質アルギニンメチル基転移酵素PRMT1dimer型 変異体と基質複合体の結晶構造解析	5A	15. 5h	15. 5h
2024PF-B018	田辺 幹雄	SBRC	RRMによるRNA認識機構の解明	1A	7. 5h	7. 5h
2024PF-B019	長江 雅倫	大阪大学	自然免疫受容体のX線結晶構造解析	5A	15.5h	15.5h
2024PF-B020	尾瀬 農之	北海道大学	乳がん特異的キナーゼが,自己不活性化を防ぐた めに採用している機構の解析	15A2	24h	24h

2024 年度 PF 課題(PF-CIQuS)一覧

課題番号	申請者	所属	課題名	希望ステーション	希望ビームタイム	実施ビームタイム
2024PF-Q001	佐賀山 基	CIQuS	マテリアルDX連携課題 一新規強誘電体の構造評価ー	8A	8A:48h+8B:24h	8A:280h+8B:216h
2024PF-Q002	宮坂 茂樹	兵庫県立大学 大学院理学研究 科	鉄系超伝導体母物質における多彩な磁気秩序構造 と電荷ネマティック相の関係	8B	48h	48h
2024PF-Q003	山田 悟史	CIQuS	小角散乱法を用いたリン脂質ベシクルへのPFAS吸 着メカニズムの解明	6A	24h	24h
2024PF-Q004	佐賀山 基	CIQuS	マテリアルDX連携課題-新規励起子絶縁体候補物質の構造評価-	8A	48h	48h

2024 年度第 3 期配分結果一覧



	Mon	Tue	Wed	Thu	Fri	Sat	Sun
	3/3	3/4	3/5	3/6	3/7	3/8	3/9
1A	E 24C20	E 23G	В	E	E 2 24Y	E	24PF 24PF-B007
			24日 23日 金曲日				
2A/2B		本間 景島 24G14				23G587 朝倉	
3A		23G524 中村	音響		23G611 HI	RSCHBERGE	K Maximilian
3C	23G138 早程						
4A		24G564 三河	内 岳	24G637 佐州		24G023 石榴	
4B2	24G543 三宅			23G526 植草			24G555 部井 孝太
4C		IGUYEN Le T			23G644 白海		
5A	23G 246 金 自			23G 24G 金 亩			
6A		23G019 中川 恒太			24G125 上野 独	23G079 上野 職	
6C	23G569 杉山		24G501 坂井			24G080 山本	篤史郎
7A	23G147 進崩	理	24G5	94 吉田 健文	24G576 遠蘭	理	
7C	23G059 龍井	- 玲児		23G104 前	井 玲児		
8A	24S2-002 松	村武	23G059 龍井	: 玲児	24G048 二瓶	推之	
8B	23G059 熊井	- 玲児			24PF-Q001 佐賀山	24G532 客 野	3
9A	23P011 東差 機	23P008 機上 慎二		23G536 阪東 卷子	24G612 保倉 明子	24G123 高相	嘉夫 24Y031
9C		24Y012	24Y035	23G561 福田 康宏	24Y036	24G571 淮本 弘之	23G114 24G016
10A	24G543	三宅 亮	24G505 吉尊	朝	23G618 松石	滑人	
10C	23P009 正井 博和	24G108 三宅 亮介	23G166 小田 職	23G529 養田 真史	23G589 桑田 巧	24G567 高橋 治	23G654 高橋 浩
12A	調整	23G579 志輔	成友				
12C	23G017 前之間 個	23G539 北野 敦明	23G673 黒田 眞司	24G607 野帰 後介	ll	23G005 原田	雅史
13A/13B	24G588 近藤 寛	24G593 近藤	文		23G522 豊島	速	23G096 吉信
444							
14A	調整					調整	
14A 14B	調整 23G535 YI E	unjue	23G663 鳥 類	大介		調整 24G582 砂口	尚輝
	23G535 YI E	unjue 24G619 権田			23G089 備木 大地	24G582 砂口	尚輝
14B	23G535 YI E			23G633 機田 幸祐		24G582 砂口	
14B 14C	23G535 YI E	24G619 権田		23G633 権田 申報	23G117 石毛 亮平	24G582 % C	23G061 戸木田 場
14B 14C 15A2	23G535 YI E 24G585 米山 明男	24G619 権田	幸祐	23G633 権田 申補 23G661 申替根 補	23G117 石毛 亮平 24G630 山崎 格一	24G582 砂口24C210	23G061 戸木田 朝
14B 14C 15A2 16A	23G535 YI E 24G585 兼山 明男 23G 24G615	24G619 権田 開業 石井 祐太 24Y 24Y	幸祐	23G633 権田 申補 23G661 申替根 補	23G117 石毛 亮平 24G630 山崎 格一	24G582 70 C 24G210 23G167 4# 8.8 24S2-00 24G630 23G562 CHA Sun	23G061 戸木田 朝
14B 14C 15A2 16A 17A	23G535 YI E 24G585 未山 明男 23G 24G615 24Y015 】 全部	24G619 権田 剛整 石井 祐太 24Y 24Y	236 236 2360	23G633 権田 申報 名 23G661 中曾観 名 23G558 版 24G001 佐藤 東太	23G117 石毛 亮干 24G630 山崎 十一 24G 24G 全自	24G582 70 C 24G210 23G167 4# 8.8 24S2-00 24G630 23G562 CHA Sun	23G061 戸木田 棚 23G670 柏木 隆卓 24G
14B 14C 15A2 16A 17A 18B	23G535 YI E 24G585 米山 明男 23G 24G615 24Y015] 全部 24-IB-015 23G571 中国	24G619 権田 剛整 石井 祐太 24Y 24Y	236 236 2360 24-IB-016 24-P017 鈴木	23G633 権田 申報 名 23G661 中曾観 名 23G558 版 24G001 佐藤 東太	23G117 石毛 亮干 24G630 山崎 十一 24G 24G 全自	24G582 **D C	230061 戸木田書 230670 柏木 監網 246)
14B 14C 15A2 16A 17A 18B 18C	23G535 YI E 24G585 米山 明男 23G 24G615 24Y015] 全部 24-IB-015 23G571 中国	24G619 権田 開業 石井 祐太 24Y 24Y 電管 24G630 山橋	236 236 2360 24-IB-016 24-P017 鈴木	23G633 被用 申報 23G661 中管領 箱 23G558 波 24G001 位露 東太	24G50 山崎 十一24G 24G 全部	24G582 砂口 24C210 23G167 本# 基準 24S2-0 ² 24G530 23G562 CHA Sun	23G061 戸木田 書 23G670 柏木 配成 24G
14B 14C 15A2 16A 17A 18B 18C 19A/19B	23G535 YI E 24G585 未山 明男 23G (24G615 24Y015 () 全面目 24-IB-015 23G571 中蜀 23G573 重要 23G553 重要	24G619 権田 開業 石井 祐太 24Y 24Y 電管 24G630 山橋	23G 23G 23G 23G 23G 24-IB-016 24P017 鈴木 23G165 宮崎	23G633 被用 申報 23G661 中管領 箱 23G558 波 24G001 位露 東太	24G50 山崎 十一24G 24G 全部	24G582 砂口 24G210 23G167 共年 基為 24S2-0 24G530 23G562 CHA Sun 并 航	23G061 戸木田 書 23G670 柏木 配成 24G
14B 14C 15A2 16A 17A 18B 18C 19A/19B 20A	23G535 YI E 24G585 未山 明男 23G (24G615 24Y015 () 全面目 24-IB-015 23G571 中蜀 23G573 重要 23G553 重要	24G619 権田 順差 石井 祐太 24Y 24Y 無常 24G630 山崎 正光	23G 23G 23G 23G 23G 24-IB-016 24P017 鈴木 23G165 宮崎	23G633 被用 申報 23G661 中管領 箱 23G558 波 24G001 位露 東太	24G513 山/ 24G2630 山崎 十 24G 24G 全部 24G26	24G582 砂口 24G210 23G167 共年 基為 24S2-0 24G530 23G562 CHA Sun 并 航	23G001 戸木田 型 23G670 柏木 脂膚 24G
14B 14C 15A2 16A 17A 18B 18C 19A/19B 20A 20B	23G555 YI E 24G555 #山 明期 23G	24G619 植田 田本 石井 祐太 24V 24V 24V 24V 24V 24V 24V 24V 24V 24V	230g 230g 230g 24-IB-016 24-IB-016 24-IB-016 24-IB-016 23-IB-016 23-IB-016 23-IB-016 24-IB-016	230653 撤回 申納 230661 中旬最	24G530 山崎 十 24G530 山崎 十 24G 24G 全自日 24G513 山ノ 24G526 24G580 中川 滑子	24G582 砂口 24C210 23G167 九年 弘和 2452.00 24G6830 23G562 CHA Sun 并献:23G552 23G119 素明 最久 23G552 北唐	23G001 戸木田 書 23G670 他木 臨唐 24G 重要 32 川村 幸格 23S2-001 高者書 重史
14B 14C 15A2 16A 17A 18B 18C 19A/19B 20A 20B 27A	23G535 YI E 24G555 米山 明月 23G (24G615 24V015 () 全由 24-IB-015 23G571 中貝 23S2-001 第8書 23G553 星貝 24G057 本田 24G057 本田	24G619 権田 IIIII 石井 柏太 227 (227) IIII IIII IIII IIII IIII IIII IIII	23G 23G 23G 23G 24-IB-016 24-P017 鈴木 卷一 23G165 宮崎 口 博隆 23G655 教仏	23G653 推明 中部 23G651 中間 23G651 中間 24G651 中間 24G655 並 24G651 企業 東大	240617 有色表明 240620 加州 第一 240 240 全自 24026	24G582 砂口 24G210 23G4F	230001 戸木田 書 230670 柏木 貼成 240 重要 231川村 幸格 2352-001 賞者書 晶史
14B 14C 15A2 16A 17A 18B 18C 19A/19B 20A 20B 27A	23G535 YI E 24G555 米山 明月 23G (24G615 24V015 () 全由 24-IB-015 23G571 中貝 23S2-001 第8書 23G553 星貝 24G057 本田 24G057 本田	24G619 権田 IIIII 石井 柏太 227 (227) IIII IIII IIII IIII IIII IIII IIII	23G 23G 23G 23G 24-IB-016 24-P017 鈴木 卷一 23G165 宮崎 口 博隆 23G655 教仏	23G653 推明 中部 23G651 中間 23G651 中間 24G651 中間 24G655 並 24G651 企業 東大	240617 有色表明 240620 加州 第一 240 240 全自 24026	24G582 砂口 24G210 23G167 朱林 弘 24G230 23G62 CHA Sur 并 航 23G55 23G19 黑南 温舟 23G552 北唐	230001 戸木田 書 230670 柏木 貼成 240 重要 231川村 幸格 2352-001 賞者書 晶史
14B 14C 15A2 16A 17A 18B 18C 19A/19B 20A 20B 27A 27B 28A/28B	23G535 YI E 24G555 未址 明男 2200 24G615 24V15	24G619 相田 四曲 石井 枯太 200 200 重章 智志 24G630 山崎 正光 1 23G152 山 充紀 38 坂野 昌人	230g 230g 230g 230g 24-1B-016 24-P017 鈴木 格一 23G165 宮崎 口 博藤 230G655 秋山 23MP-E003	230653 韓田 中報 230651 中報表報 230558 建 240001 佳惠 東大 章	24G513 山 (24G530 山南 株) 24G 24G (全省) 24G 24G (全省) 24Y028 24Y028 24Y028 24G513 山 / 23G030 24G580 中州 東子 23G92 朱井 龍之	24G582 砂口 24G210 23G167 本种 基角 24S2-0 24G200 23G682 CHA Surr 并 航	230061 戸木田 書 230670 絵木 監轄 240 至2 川村 幸格 2352-001 書籍書 品史 清報 法明 240555 本林 正規
14B 14C 15A2 16A 17A 18B 18C 19A/19B 20A 20B 27A 27B 28A/28B	23G535 YI E 24G555 未址 明男 2200 24G615 24V15	24G619 相田 四曲 石井 枯太 200 200 重章 智志 24G630 山崎 正光 1 23G152 山 充紀 38 坂野 昌人	230g 230g 230g 230g 24-1B-016 24-P017 鈴木 格一 23G165 宮崎 口 博藤 230G655 秋山 23MP-E003	230653 韓田 中報 230651 中報表報 230558 建 240001 佳惠 東大 章	24G513 LL / 24V026 24G500 dim th- 24G 24G 4 ft 24V026 24V026 24G500 plm th- 23G502 4 ft	24G582 砂口 24G210 23G167 本种 基角 24S2-0 24G200 23G682 CHA Surr 并 航	230061 戸木田 書 230670 絵木 監轄 240 至2 川村 幸格 2352-001 書籍書 品史 清報 法明 240555 本林 正規
14B 14C 15A2 16A 17A 18B 18C 19A/19B 20A 20B 27A 27B 28A/28B	23G535 YI E 24G555 未址 明男 2200 24G615 24V15	24G619 相田 四曲 石井 枯太 200 200 重章 智志 24G630 山崎 正光 1 23G152 山 充紀 38 坂野 昌人	230g 230g 230g 230g 24-1B-016 24-P017 鈴木 格一 23G165 宮崎 口 博藤 23G655 秋山 23MP-E003	23G653 推開 申報 23G651 中型世 報 23G655 放 24G001 位 第 等 次 次 次 (大 報 (公 四) 23G122 T/M 24PF-G	24G513 LL / 24V026 24G500 dim th- 24G 24G 4 ft 24V026 24V026 24G500 plm th- 23G502 4 ft	24G582 砂口 23G167 A株 基局 24S22 0 24G530 23G582 CHA Suiii 井 航 23G552 23G119 高田 国A 23G552 北 康 福 勝 25G652 北 康 11 ZHANG X IS	230061 戸木田 書 230670 絵木 監轄 240 至2 川村 幸格 2352-001 書籍書 品史 清報 法明 240555 本林 正規
14B 14C 15A2 16A 17A 18B 18C 19A/19B 20A 20B 27A	23G535 YI E 24G555 未址 明男 2200 24G615 24V15	24G619 相田 四曲 石井 枯太 200 200 重章 智志 24G630 山崎 正光 1 23G152 山 充紀 38 坂野 昌人	230g 230g 230g 230g 24-1B-016 24-P017 鈴木 格一 23G165 宮崎 口 博藤 23G655 秋山 23MP-E003	23G653 抽用 中部 23G651 中型	24G503 山市 第一 24G 24G 全点 24G 24G 全点 24Y028 24Y028 24Y028 24G503 中川 第子 23G932 朱州 第全 23G932 朱州 第全	24G582 砂口 23G167 A株 基局 24S22 0 24G530 23G582 CHA Suiii 井 航 23G552 23G119 高田 国A 23G552 北 康 福 勝 25G652 北 康 11 ZHANG X IS	230061 戸木田 書 230670 絵木 監轄 240 至2 川村 幸格 2352-001 書籍書 品史 清報 法明 240555 本林 正規
14B 14C 15A2 16A 17A 18B 18C 19A/19B 20A 20B 27A 27B 28A/28B NE1A NE3A NE5C	23G535 YI E 24G555 未址 明男 2200 24G615 24V15	24G619 相田 四曲 石井 枯太 200 200 重章 智志 24G630 山崎 正光 1 23G152 山 充紀 38 坂野 昌人	230g 230g 230g 230g 24-1B-016 24-P017 鈴木 格一 23G165 宮崎 口 博藤 23G655 秋山 23MP-E003	23G653 抽用 中部 23G651 中型	24G553 山 / 24V256	24G582 砂口 23G167 A株 基局 24S22 0 24G530 23G582 CHA Suiii 井 航 23G552 23G119 高田 国A 23G552 北 康 福 勝 25G652 北 康 11 ZHANG X IS	23G061 戸木田 朝 23G670 総木 臨網 24G 重要 32 川村 幸格 23S2-001 賞者 書 編史
14B 14C 15A2 16A 17A 18B 18C 19A/19B 20A 20B 27A 27B 28A/28B NE1A NE3A NE5C NE7A	23G535 YI E 24G555 未址 明男 2200 24G615 24V15	24G619 相田 四曲 石井 枯太 200 200 重章 智志 24G630 山崎 正光 1 23G152 山 充紀 38 坂野 昌人	230g 230g 230g 230g 24-1B-016 24-P017 鈴木 格一 23G165 宮崎 口 博藤 23G655 秋山 23MP-E003	23G653 計画 中部 23G651 中間	24G553 山 / 24V256	24G582 砂口 23G167 A株 基局 24S22 0 24G530 23G582 CHA Suiii 井 航 23G552 23G119 高田 国A 23G552 北 康 福 勝 25G652 北 康 11 ZHANG X IS	230001 戸木田 書 230670 柏木 脂膚 240 重型 250670 柏木 脂膚 240 重型 250670 柏木 脂膚 25001 青着湯 正 240586 小井 正卿 E
14B 14C 15A2 16A 17A 18B 18C 19A/19B 20A 20B 27A 27B 28A/28B NE1A NE3A NE5C NE7A	23G535 YI E 24G555 未址 明男 2200 24G615 24V15	24G619 相田 四曲 石井 枯太 200 200 重章 智志 24G630 山崎 正光 1 23G152 山 充紀 38 坂野 昌人	230g 230g 230g 230g 24-1B-016 24-P017 鈴木 格一 23G165 宮崎 口 博藤 23G655 秋山 23MP-E003	230653 韓田 申報 230651 中報 中報 240651 中報 中報 240655 東 24001 在第 東大 1 東東 24012 24012 24032 24032 24032 24032	24G550 山崎 第一 24G 24G 全相 24G 24G 全相 24G 24G 全相 24G513 山 / 24V026 24G550 中川 第字 22G592 未升 租之 25G92 未升 租之 25G92 未升 租之 25G92 未升 租之	24G582 砂口 24G210 23G647 木林 生命 24G220 23G647 木林 生命 24G230 23G652 CHA Surr 并 航	230001 戸木田 書 230670 柏木 脂膚 240 重要 32 川村 幸裕 2352-001 賞者書
14B 14C 15A2 16A 17A 18B 18C 19A/19B 20A 20B 27A 27B 28A/28B NE1A NE3A NE5C NE7A NW2A NW10A NW10A	23G535 YI E 24G555 未址 明男 2200 24G615 24V15	24G619 相田 四曲 石井 枯太 200 200 重章 智志 24G630 山崎 正光 1 23G152 山 充紀 38 坂野 昌人	230g 230g 230g 230g 24-1B-016 24-P017 鈴木 格一 23G165 宮崎 口 博藤 23G655 秋山 23MP-E003	230653 計画 中部 230651 中型 表 230656 社 240001 住意 等太 次 下 「 大 間 240652 240632 240632 240632 240632 240632	24G513 山/ 24G513 山/ 24G513 山/ 24V25 24G513 山/ 24V25 2	24G582 砂口 24G210 23G647 未年 集 24S220 24G582 24G582 24G582 25G582 CHA Surr # 解	230001 戸木田 書 230670 柏木 脂膚 240 重要 32 川村 幸裕 2352-001 賞者書
14B 14C 15A2 16A 17A 18B 18C 19A/19B 20A 20B 27A 27B 28A/28B NE1A NE3A NE5C NE7A NW2A NW10A	23G535 YI E 24G555 未址 明男 2200 24G615 24V15	24G619 相田 田田 石井 祐太 24V	230g 230g 230g 230g 24-1B-016 24-P017 鈴木 格一 23G165 宮崎 口 博藤 23G655 秋山 23MP-E003	23G653 抽用 中部 23G651 中型 表 23G651 中型 表 24G601 位 第 等太 次 次 次 次 24G752 24G651 1 24G652 24G651 1 24G652 1 24G651	24G513 山 / 24G513 山 / 24G513 山 / 24G513 山 / 24Y026 24G510 中期 李子 20G592 朱井皇之 23T006 樂略 格蘭 鈴木 昭夫 久保 友明 24G101 野桐	24G582 砂口 24G210 23G647 未年 集 24S220 24G582 24G582 24G582 25G582 CHA Surr # 解	230001 戸木田 製 230670 他木 施州 240

	Mon	Tue	Wed	Thu	Fri	Sat	Sun		Mon	Tue
	3/10	3/11 E	3/12	3/13	3/14	3/15	3/16		3/17	3/1 HB
1A	23G 23G		B 24G 24G	М	М	E	E 24G	1A	М	246 246
2A/2B	24G544 木井		23G631 中壯 寅			23G164 富依		2A/2B		23G083 🖀
3A		S 24G615 石	井 祐太			24G615 石井		3A		24G552
3C	23G138 早和	, <u> </u>				24G520 號 ź		3C		23G159
4A	24G123 高権	嘉夫				24G539 小澤 佳祐		4A		24G612
4B2	24Y037 24G	555 藤井 孝太	邮					4B2		
4C	24Y034	24G041 中 月	松則			24G041 中風 機関	24G005 若林 格助	4C		24G005 着
5A	24Y(24Y	24G119 1	24G528 和田 輸賃			23G 23G		5A		23G 24
6A	24G078 小泉 輸出	23G124 武仲 龍子	24G587 浅間 定申			23G574 磁節 新也	23G567 竹下 宏樹	6A		23G537 📸
6C	24G597 株 舒一	24G614 木本	耕治			24G062 八方 直久	23G622 手塚 泰久	6C		23G074 (a
7A	23Р006 田中 慶大	23G069	同井 捌			23G087 奥平	2 幸司	7A		22MP0
7C	23G104 熊井	23G613	信田 論 23G627			23G627 JIJ	透	7C		24G577
8A	23G104 龍井	玲児				23G639 神戸	高志	8A		24G116
8B	23G104 熊井	玲児				23G027 田民 巻之	23G513 美藤 正樹	8B		23G520 🏶
9A	24C203	23G077 24G123	開 整			23G161 椰 炒	24G036	9A		24G123 🙇
9C	24Y008	23G131	24G147 野郷 後介			23G141 畠山 鶴翔	24G058 本倉 個	9C		24PF-G01
10A	23G618 松石	清人				23G568 栗林	黄弘	10A		23G568
10C	23P014 SZABO L	24G067 今村 比呂	24G542 矢貝 史模			23G078 中沢 寛光	23G053 上久保 福	10C		24G657 \$
12A	24G575 國田 宙志	24G086 椎名	連雄			24G112 羽多	野忠	12A		24G112
12C	24PF-G016 君島 !	23G161 邮 次	智			24G123 高棒	嘉夫	12C		24Y009
13A/13B	23G096 吉信	24G588 23G003	24G588 24T001			24G588 23G087	24G588 24T004	13A/13B		24G558 2
14A	調整	1				調整		14A		調整
14B	24G582 砂口	尚輝	24G022 平勝 卷一			24G022 平野	#-	14B		
14C	23G098 Thet The	23G544 山田	重人			24G037 松下	701	14C		
15A2	24G028 森田 剛	24	24			24G013 山本 勝宏	24PF-B020 尾瀬	15A2		23G573 ф
16A	23G070 24G630	23G670 柏木 隆成	24G630 山崎 十十一			24S2-002 松村 賞	24G054 多板 南	16A		24G 23G
17A		2 24G 23G1	23G 24G583 井I			東京 全自物規定		17A		23G 23G
18B	24-IB-017	· · · · · · · · · · · · · · · · · · ·				24-IB-018		18B		24-IB-018
18C	23G580 飯坂	理子 23G1	45 麓 裕之			24G082 石井	陽祐	18C		23G06
19A/19B	24L010 22S2-00	24Y022 22S2-00	24Y022 23G119			2382-001 高橋 嘉	23G678 23S2-00	19A/19B		開整 2
20A	23G552 北島	昌史				23G552 北島	- 昌史	20A		24G107
20B	23G030 橋 I	9				23G642 水蜀	F XX	20B		23G642
27A	調整	J				24G635 國各 志郎	24G530 中瀬 正廊	27A		23G674
27B	24G608 松油	23G040 增酶 數個	23G066 関本 芳油			23G066 岡本	芳浩	27B		24G580 ф
28A/28B	23G548 大均	嘉之				24S2-001 佐	藤 宇史	28A/28B		
	E	E	В	М	М	E	E	NE1A	E 23G6	E
NE1A	24G115	池田修悟				24G115 池田		NE3A	[Z360	303 SKR4 1
NE3A	全自斯斯坦					24日 全自動別党		NE5C	調整	23G519
NE5C		24G096 浦川	暋			24G096 浦川		NE7A	24G032 鈴 2	
NE7A	24G644 後度	佑太	開整			開催 24G032	鈴木 昭夫	NW2A		
NW2A								NW10A	23G011 CH	
NW10A	24Y009 24Y012		24P012 SUN HON				23G011 CH	NW12A	24G039 陳	
NW12A	23G	24G004 佐	木 裕次			24G039 陳		NW14A	24G590 KIN	
NW14A	23G135 深名	売					23G647 KIM Your	SPF	23G 24G132	
SPF	調整					23G626 花田	黄			

「PF ニュース」からのお知らせ

平成24年度のPF-UAの発足に伴い、PFニュースはウェブ版が主体となりましたが、引き続き冊子版も発行し、ご愛読を賜り感謝致します。今後も新しい企画記事の連載など誌面の充実につとめ、PFニュースをより魅力あるものにしていきます。ウェブ版 PFニュースには、冊子版では白黒となっている図等もオリジナルのカラーのものを掲載しています。ウェブ版もお楽しみ頂ければと思います。

ウェブ掲載時にはメールでお知らせするシステムも運用 しています。希望される方は、どうぞご登録下さい。

(https://www2.kek.jp/imss/pf/pfnews/oshirase.html)

PF ニュース編集委員一同

投稿のお願い

【最近の研究から】

PF で行われた実験、研究の成果をお寄せ下さい。

【建設・改造ビームラインを使って】

特にビームラインの改良点,他のビームラインとの比較, 要望等を是非お聞かせ下さい。

【ユーザーとスタッフの広場】

PF での実験の成果等が認められ受賞された方,海外放射光施設に滞在,訪問された方,国際会議等に参加された方,修士論文等,どうぞご投稿下さい。また PF に対するご意見等がありましたら是非ご投書下さい。

詳細は PF ニュース HP をご覧下さい。

宛 先

〒 305-0801 茨城県つくば市大穂 1-1 高エネルギー加速器研究機構 物質構造科学研究所 放射光実験施設内 PF ニュース編集委員会事務局

TEL: 029-879-6196 FAX: 029-864-2801 Email: pf-news@pfiqst.kek.jp URL: https://www2.kek.jp/imss/pf/pfnews/

編集後記

編集後記執筆時の4月現在,長かった寒さがようやく収 まり、厚手の上着を押し入れにしまい込み、春の訪れを実 感する。私はまだ寒さ厳しい今年初めに、地方大学から KEK 近くのとある研究機関に異動した。大学では放射光 を積極的に使った仕事をしており、新しい異動先でも放射 光を使った実験が何かできないかと模索している。私は大 学職員時代, PF 創設時から存続すると噂の, とある老齢 な BL のヘビーユーザーとなった。当時の研究室の教授か ら最初にそのBLへ案内されたときはとても驚いた。なに しろ MS-DOS とかいう厳めしい名前の OS を搭載したパ ソコンが BL に鎮座していたからだ。誰かにこのパソコン はシングルタスクだから不便かもと言われ、最初はその意 味がよく分からなかった。実際にパソコンを触ってみると、 二つのアプリケーションを同時に開くという現代人にとっ ては当たり前の作業ができないという意味だと分かった。 この BL での実験では、ここでは書ききれないようなこと が様々あったが、現在ではこのパソコンは Windows OS に 置換されている。1.5 MB 以上あるデータはフロッピー2 枚で分割して,, なんていうめんどくさい作業も今となっ てはいい思い出で、この BL の改造を通して放射光のこと をとても深く理解でき(もちろん放射光施設の職員の方々 には遠く及ばない), まさに祖父母に育てて貰った感覚で ある。今後も思い入れのある KEK をユーザーとして下支 えしたい。(R.Y.)

* 2025 年度 PF ニュース編集委員*

委員長 熊井 玲児 物質構造科学研究所 副委員長 鈴木真粧子 群馬大学 大学院理工学府

委員 朝倉 大輔 産業技術総合研究所省エネルギー研究部門

字佐美徳子 物質構造科学研究所 川端 庸平 酪農学園大学 農食環境学群城戸 大貴 物質構造科学研究所 木村 耕治 名古屋工業大学物理工学科

 佐々木大輔
 和歌山県立医科大学薬学部
 高木 宏之
 加速器研究施設

 武田 崇仁
 東京大学大学院工学系研究科
 田辺 幹雄 物質構造科学研究所

 中尾 裕則
 物質構造科学研究所
 引田 理英 物質構造科学研究所

松井 高史 富士フイルム (株) 解析技術センター

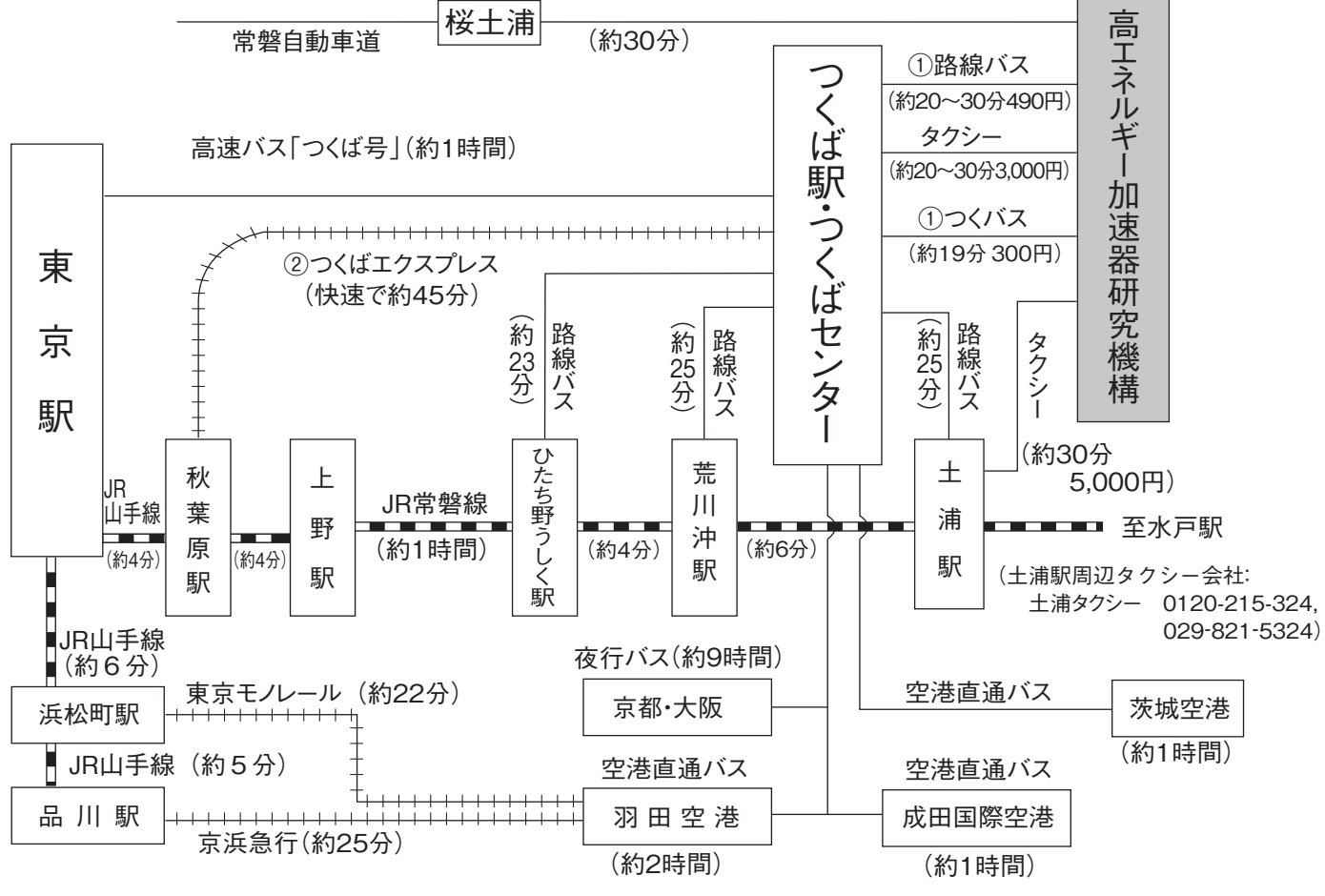
山根 崚 物質・材料研究機構 電子・光機能材料研究センター

和田 健 物質構造科学研究所

事務局 加世田 薫/高橋 良美 物質構造科学研究所

KEK アクセスマップ・バス時刻表

※ご利用の際には 事前にご確認下さい。



KEK周辺タクシー会社:大曽根タクシー 0120-000-302, 029-864-0301

大曽板ダクシー 0120-000-302, 029-864-0301 (受付: 5時〜25時※配車は6:00〜 早朝の利用は事前予約推奨) つくば〜空港直通バス: https://www.bus-ibaraki.jp/hwbus/highway.html

松見タクシー 029-851-1432 (24時間)

①つくばセンター ←→ KEK

(2025年4月1日改定)

関東鉄道バス 所要時間 約20~30分 運賃 490円 (KEK-土浦駅間の料金は830円) つくばセンター乗り場5番

18 系統:土浦駅東口~つくばセンター~ KEK ~つくばテクノパーク大穂 C8 系統:つくばセンター~ KEK ~つくばテクノパーク大穂 71 系統:つくばセンター~ (西大通り) ~ KEK ~下妻駅(筑波大学は経由しません)

つくバス 所要時間 約20~30分 運賃 300円 つくばセンター乗り場3番 HB/HA (北部シャトル): つくばセンター~ KEK ~筑波山口(筑波大学には停まりません) HAのつくばセンター行きは10分程度早着することもありますのでご留意下さい。

☆は大型バスのため大穂窓口センター通過

【平日】下り

系統	つくば センター	KEK	系統	つくば センター	KEK	系統	つくば センター	KEK	系統	つくば センター	KEK
HB	6:55	7:17	C8A	10:00	10:16	НВ	14:00	14:22	HB	18:10	18:32
НВ	7:20	7:42	71	10:05	10:26	НВ	14:35	14:57	C8	18:30	18:45
C8	7:20	7:42	НВ	10:10	10:32	НВ	15:10	15:32	НВ	18:50	19:12
НВ	7:50	8:12	НВ	10:45	11:07	HB	16:10	16:32	71	19:13	19:34
C8	7:50	8:12	71	11:00	11:21	C8 71	16:25	16:40	НВ	19:30	19:52
C8	8:12	8:27	НВ	11:25	11:47	C8	16:43 17:00	17:04 17:15	НВ	20:10	20:32
НВ	8:25	8:47	НВ	11:50	12:12	HB	16:55	17:17	НВ	21:10	21:32
НВ	9:15	9:37	НВ	12:25	12:47	HB	17:30	17:52	НВ	21:50	22:12
НВ	9:40	10:02	НВ	13:00	13:22	C8	17:55	18:10	НВ	22:20	22:42

【平日】上り

系統	KEK	つくば センター	系統	KEK	つくば センター	系統	KEK	つくば センター	系統	KEK	つくば センター
HA	6:14	6:45	НА	9:24	9:55	HA	15:29	16:00	C8	19:30	19:50
71	6:28	6:55	HA	9:59	10:30	HA	16:09	16:45	HA	20:24	20:55
HA	6:39	7:10	HA	10:44	11:15	HA	16:39	17:15	HA	21:04	21:35
HA ☆	7:04	7:35	C8	10:55	11:19	C8	17:20	17:45	HA	21:39	22:10
HA	7:04	7:35	HA	11:09	11:40	HA	17:24	18:00			
71	7:28	8:00	HA	11:44	12:15	C8	17:50	18:15			
HA	7:39	8:15	HA	12:19	12:50	71	17:58	18:28			
HA	8:29	9:05	HA	13:19	13:50	HA	18:04	18:40			
C8	8:50	9:14	HA	13:54	14:25	HA	18:44	19:20			
HA	8:54	9:30	HA	14:29	15:00	18	18:45	19:15			
C8	9:25	9:49	71	15:28	15:58	НА	19:19	19:55			

18系統のつくばセンター→土浦駅東口は22分間です。

【土曜・休日】下り

※HB/HA <つくば北部シャトル>は土日・祝日限定で1日乗車券500円が利用可能です。 【交通系ICカード利用可】

系統	つくば センター	KEK									
НВ	7:10	7:32	НВ	10:55	11:17	НВ	14:50	15:12	НВ	18:20	18:42
НВ	7:40	8:02	НВ	11:40	12:02	НВ	15:40	16:02	НВ	19:15	19:37
НВ	8:25	8:47	НВ	12:30	12:52	НВ	16:50	17:12	НВ	19:55	20:17
НВ	9:25	9:47	НВ	13:10	13:32	НВ	17:30	17:52	НВ	20:55	21:17
НВ	10:10	10:32	НВ	14:05	14:27	71	17:50	18:11	НВ	21:40	22:02
									НВ	22:20	22:42

【土曜・休日】上り

系統	KEK	つくば センター	系統	KEK	つくば センター	系統	KEK	つくば センター	系統	KEK	つくば センター
НА	6:19	6:50	НА	9:24	9:55	НА	13:19	13:50	НА	17:29	18:05
HA	6:59	7:30	HA	10:09	10:40	HA	14:09	14:40	HA	18:24	19:00
HA☆	7:04	7:35	HA	10:59	11:30	HA	14:54	15:25	HA	19:04	19:40
HA	7:39	8:15	HA	11:44	12:15	HA	16:04	16:35	HA	20:09	20:45
HA	8:39	9:15	HA	12:24	12:55	HA	16:44	17:20	HA	20:54	21:25
									HA	21:34	22:05

それ以外の時刻等については、下記よりご確認下さい。



つくばエクスプレス



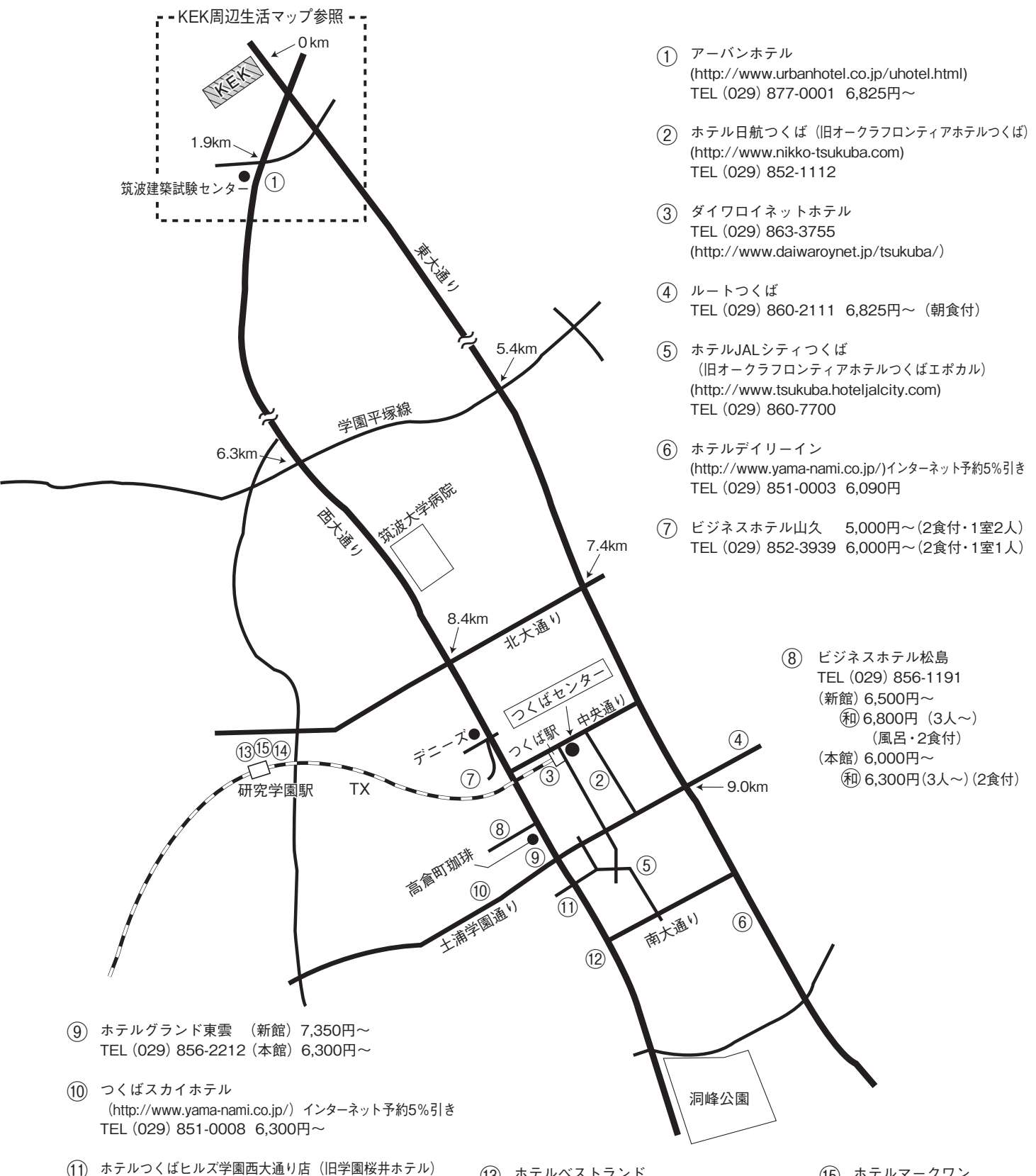
高速バス「つくば号」



つくばセンター・羽田空港

つくば市内宿泊施設

※料金は参考値です。



12 ビジネス旅館二の宮 TEL (029) 852-5811 5,000円~ (二人部屋のみ 2食付)

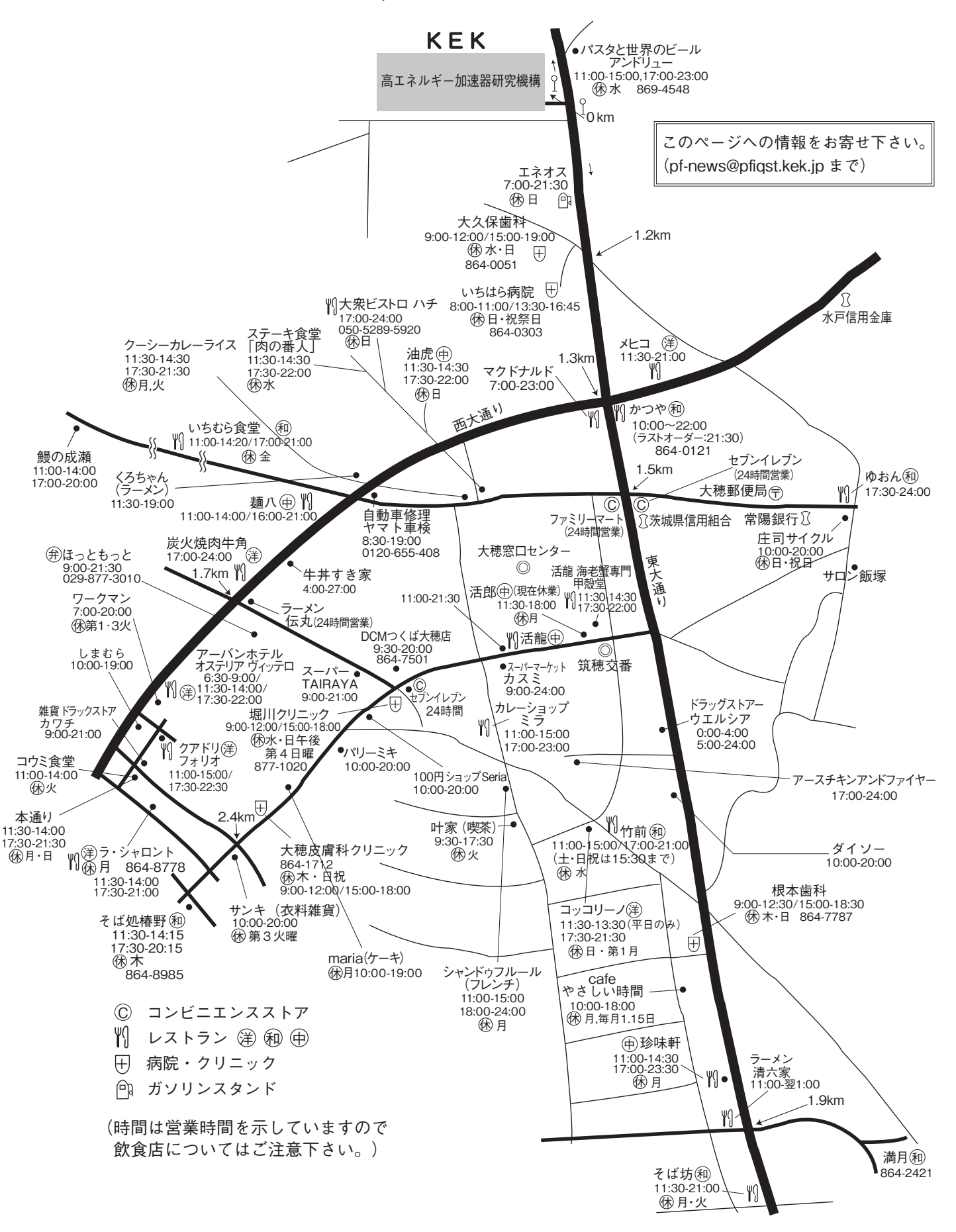
TEL (029) 851-3011 6,878円~

(https://breezbay-group.com/tsukuba-hills/)

- (3) ホテルベストランド (http://www.hotel-bestland.co.jp) TEL (029) 863-1515
- (5) ホテルマークワン (http://www.mark-1.jp/) TEL (029) 875-7272
- (4) 東横イン (http://www.toyoko-inn.com/hotel/00228/) TEL (029) 863-1045

KEK 周辺生活マップ

放射光実験施設研究棟、実験準備棟より正面入口までは約800 m



KEK内福利厚生施設

ユーザーの方は、これらの施設を原則として、機構の職員と同様に利用することができます。各施設の場所は裏表紙の「高エネルギー加速器研究機構平面図」をご参照下さい。

●共同利用研究者宿泊施設(ドミトリー) (管理人室 TEL/FAX:029-864-5574 PHS:2920)

シングルバス・トイレ付き

・3号棟、4号棟・5号棟シングルバス・トイレなし2,600円3,100円

- ドミトリーは夜の22時から朝の8時までは施錠されます。また、この時間帯は管理人が不在ですので、22時以降にドミトリーに到着される方はインフォメーションセンター(029-864-5572, PHS:3398)でドミトリーの部屋の鍵を受け取って下さい。
- 支払いはユーザーズオフィスにて、現金の他、クレジットカード、デビットカードが利用可能です。 また宿泊が週末等になり、ユーザーズオフィスで 支払えない場合は銀行振込または管理人による現金での領収(土、日、祝のみ)も可能です。
- ●図書室(研究本館1階 内線3029)

開室時間:月~金 9:00~17:00

閉 室 日:土,日,祝,年末年始,夏季一斉休業日 機構発行のIDカードがあれば開室時間以外でも入館 可能。

●健康相談室(医務室)(内線 5600)

勤務時間中に発生した傷病に対して, 応急処置を行うことができます。健康相談も行っていますので, 希望者は事前に申し込んでください。

場 所 先端計測実験棟 開室時間 8:30~12:00/13:00~17:00 (月曜日~金曜日)

●食 堂(内線 2986)

営 業 火・水・木 ただし祝日及び年末年始は休業 昼食 11:30~13:30 夕食 17:30~18:30

●喫茶室 Suzu Cafe (スズカフェ) (内線 3910) 昼食のみ (11:30 ~ 15:00)。ただし、毎週木曜日は 休業。

【平日】

昼食のみ 11:30~15:00まで (ラストオーダー14:30)

【土・日・祝日】

昼食のみ 11:30~15:00まで (ラストオーダー14:30) ●売 店 (いいじま) (内線 2987)

弁当,パン,食料品,軽食,菓子類,日用品,雑誌,切手等,KEKオリジナルグッズの販売,宅配便(ヤマトのみ)等。

月~金 8:30~18:00 (国民の祝日, 年末年 始, 夏季一斉休業日は 除く)

土 (運転期間中のみ) 11:00~14:00

※PF研究棟1階ユーザー控室近くで、PayPay等の キャッシュレス決済で支払いができる無人販売が あります。

- ●宅配便(宅配荷物室はPF研究棟1階)
- ★荷物は基本的に置配となります(冷蔵便・冷凍便 含む)。
- ★荷物の発送はご自身でお願いいたします。 宅配荷物室に設置したファイルで,業者への発送 依頼方法を必ずご確認ください。
- ★伝票の記載方法

〒305-0801 茨城県つくば市大穂 1-1 高エネルギー加速器研究機構 放射光実験施設 【PFで荷物を受け取る場合】PF宅配荷物室 BL-○○ (ステーション名) + 受取人名 【PF-ARで荷物を受け取る場合】PF-AR共同 研究棟 N○○○ (ステーション名) + 受取人 名

※電話番号は、受取人の携帯電話番号等を記入してください。

PF事務室の電話番号は記入しないようにお願い します。

- ●自転車貸出方法(受付[監視員室]内線3800)
- ・貸出は実験ホール入口の監視員室で行う。
- ・貸出は一往復とし、最長でも半日とする。
- ・使用後は所定の自転車スタンドへ戻し、鍵は監視 員室へ速やかに戻す。

(PF-ARでも自転車を10台用意していますので利用したい方はビームライン担当者または運転当番 [PHS 4209] に連絡して下さい。)

ユーザーズオフィスでも自転車の貸出を行っています (約50台)。

●郵便ポスト (計算機棟正面玄関前) 収集時間:10:30 (平日・土曜), 10:00 (休日)

●ユーザーズオフィスについては、https://www2. kek.jp/usersoffice/をご覧下さい。

Tel: 029-879-6135, 6136 Fax: 029-879-6137

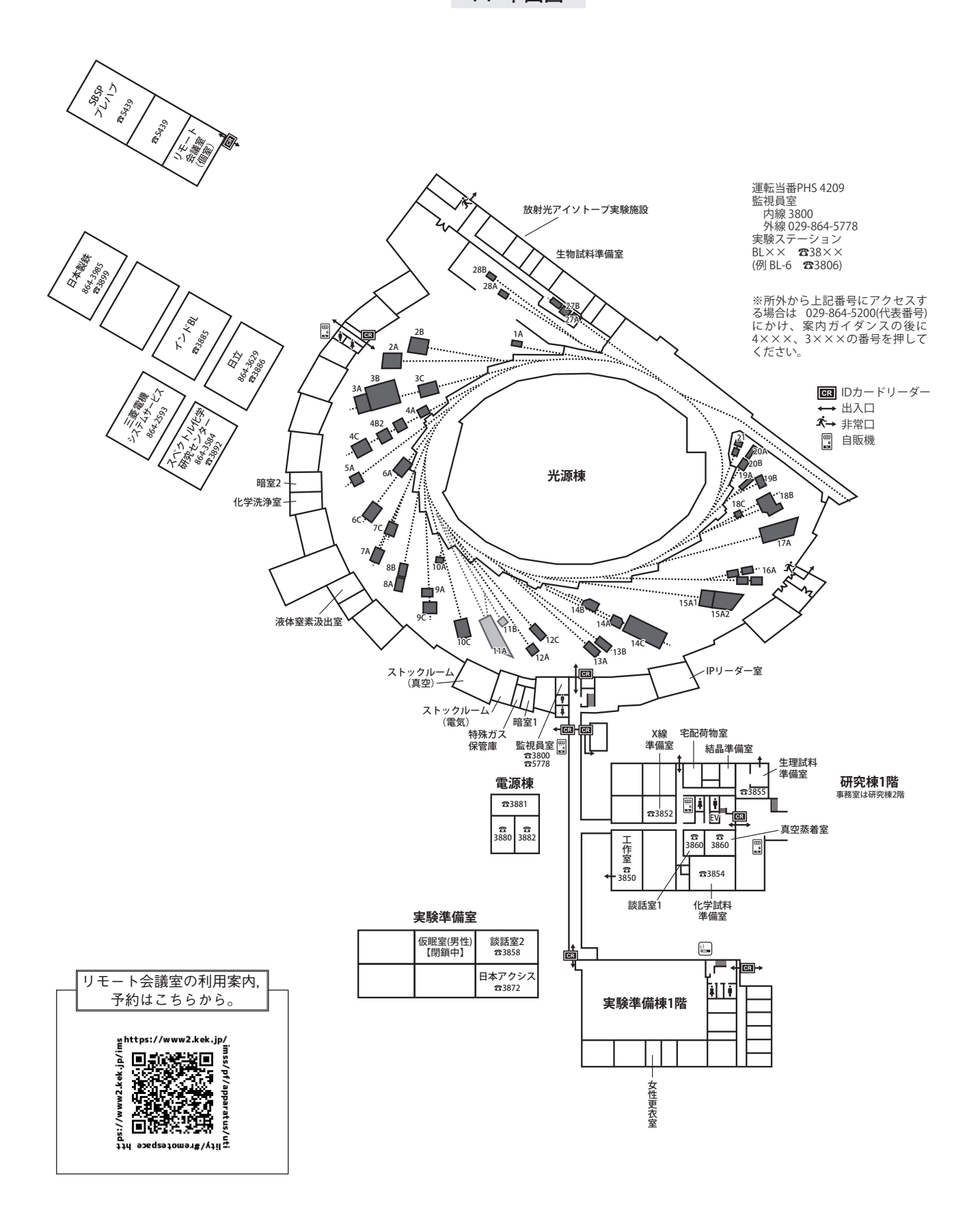
Email: usersoffice@mail.kek.ip

ビームライン担当一覧表 (2025. 5. 1)

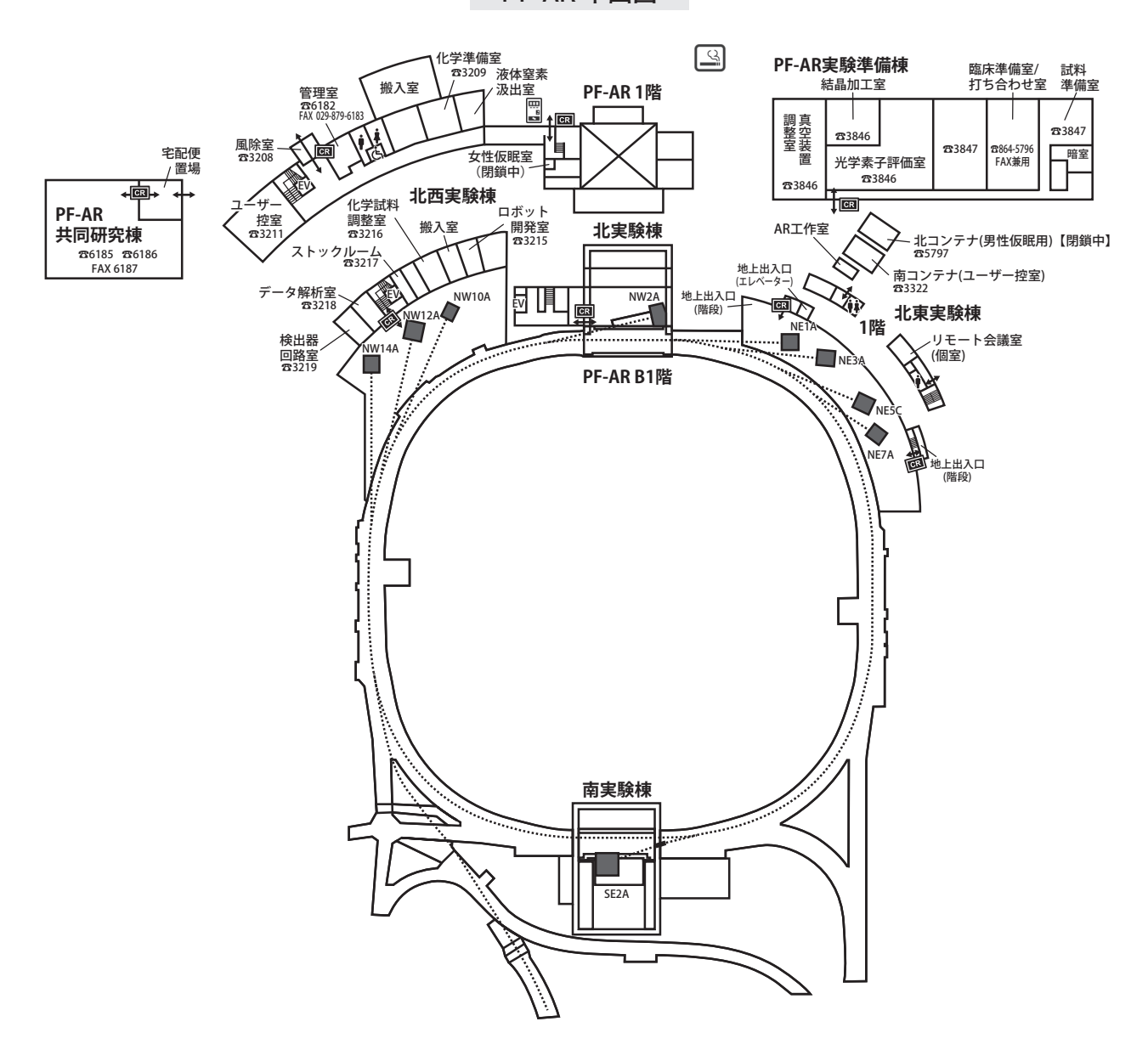
ビームライン	光源	BL担当者
ステーション 形態	ステーション/実験装置名	担当者 担当者 (所外)
(●共	同利用, ○建設/立ち上げ中, ◇所外, ☆教育用]	BL, ★UG運営ST)
BL-1	U	松垣
BL-1A	タンパク質結晶構造解析ステーション	松垣
BL-2	U	大東
BL-2A/B	MUSASHI:表面・界面光電子分光,広エネルギー帯域軟 X線分光	大東
BL-3	U (A) / B M (B, C)	中尾
BL-3A	極限条件下精密単結晶X線回折ステーション	中尾
BL-3B ●★	真空紫外光電子分光ステーション	小澤 櫻井 (筑波大)
		吉信(東大)
BL-3C	X線光学素子評価/白色磁気回折ステーション	平野
BL-4	ВМ	中尾
BL-4A ●★	蛍光X線分析/マイクロビーム分析	丹羽 宇尾 (科学大)
BL-4B2 ●★	多連装粉末X線回折装置	奥山 植草 (科学大)
BL-4C	精密単結晶X線回折ステーション	中尾
BL-5	MPW	松垣
BL-5A	タンパク質結晶構造解析ステーション	松垣
BL-6	ВМ	高木(秀)
BL-6A	X線小角散乱ステーション	高木 (秀)
BL-6C ●★	X線回折/散乱実験ステーション	奥山 八方(広島市大)
BL-7	ВМ	雨宮(岡林:東大)
BL-7A ♦	軟X線分光(XAFS, XPS)ステーション	雨宮 岡林(東大)
(東大・スペクトル)		
BL-7C	汎用X線ステーション	杉山
BL-8	ВМ	奥山
BL-8A	多目的極限条件下ワンセンベルグカメラ	奥山
BL-8B	多目的極限条件下ワンセンベルグカメラ	奥山
BL-9	ВМ	阿部
BL-9A	XAFS(高強度)実験ステーション	阿部
BL-9C	XAFS(その場)実験ステーション	阿部
BL-10	ВМ	高木(秀)
BL-10A ●★	垂直型四軸X線回折装置	熊井 栗林(東北大)
BL-10C	X線小角散乱ステーション	高木 (秀)
BL-11	ВМ	若林
BL-11A O	開発研究多機能ビームライン(建設中)	若林
BL-11B	開発研究多機能ビームライン(建設中)	若林
BL-12	ВМ	大東
BL-12A	広波長域軟X線ビームライン	大東
BL-12C	XAFS(ハイスループット)実験ステーション	城戸
BL-13	U	間瀬
BL-13A/B	表面化学研究用真空紫外軟 X 線分光ステーション	間瀬
BL-14	VW	平野
BL-14A •	単結晶構造解析・検出器開発ステーション	佐賀山
BL-14B	精密X線光学実験ステーション	平野
BL-14C	X 線イメージングおよび汎用 X 線実験ステーション	
BL-15	U	丹羽
BL-15A1	XAFS(セミマイクロビーム)実験ステーション	
BL-15A2	高輝度X線小角散乱実験ステーション	高木(秀)
BL-16	U	雨宮
BL-16A •	 可変偏光軟 X 線分光ステーション	雨宮
	A TO MIND DIVITE WAY OF DISTRICT A THE A	114 🖂

BL-17	U	引田
BL-17A	タンパク質結晶構造解析ステーション	引田
BL-18	ВМ	熊井
BL-18B(インド・DST) ◇	Multipurpose Monochromatic Hard X-ray Station	中尾 Subhadip Chowdhury (JNCASR)
BL-18C	★ 超高圧粉末X線回折計	柴崎 鍵 (東大)
BL-19	U	山下
BL-19A/B	軟X線顕微/分光実験ステーション	山下
BL-20	ВМ	足立
BL-20A	★ 3 m直入射型分光器	足立 彦坂(富山大)
BL-20B	白色・単色 X線トポグラフィ/X線回折実験ステーション	シ 杉山
BL-27	ВМ	宇佐美
BL-27A	★ 放射性試料用軟X線実験ステーション	宇佐美横谷(量研機構)
BL-27B	★ 放射性試料用X線実験ステーション	宇佐美 岡本(原研機構)
BL-28	HU	小澤
BL-28A/B	可変偏光 VUV·SX 不等間隔平面回折格子分光器 高分解能角度分解光電子分光実験ステーション	小澤
PF-AR		
AR-NE1	EMPW	柴崎
AR-NE1A	レーザー加熱超高圧実験ステーション	
AR-NE3	U	松垣
AR-NE3A	タンパク質結晶構造解析ステーション	
AR-NE5	ВМ	柴崎
AR-NE5C	高温高圧実験ステーション /MAX80	柴崎
AR-NE7	ВМ	平野
AR-NE7A	X 線イメージングおよび高温高圧実験ステーション	平野
AR-NW2	U	丹羽
AR-NW2A	時間分解 DXAFS / X線回折実験ステーション	丹羽
AR-NW10	ВМ	城戸
AR-NW10A	XAFS(高エネルギー)実験ステーション	城戸
AR-NW12	U	引田
AR-NW12A	タンパク質結晶構造解析ステーション	引田
AR-NW14	U	野澤
AR-NW14A	ピコ秒時間分解X線回折・散乱・分光	野澤
AR-SE2A	(電子ビーム)	素粒子原子核研究所・測定器開発センター
AR-SE2A	測定器開発テストビームライン	(五十嵐)
低速陽電子		和田
SPF-A3	全反射高速陽電子回折 (TRHEPD) ステーション	和田
SPF-A4	低速陽電子回折(LEPD)ステーション	和田
SPF-B1	汎用低速陽電子実験ステーション	和田
SPF-B2	ポジトロニウム飛行時間測定ステーション	和田
【UG 運営装置】	AR-NE7A 高温高圧実験装置(MAX-III) 久保	是友明(九州大)
【所外ビームライン】	BL-7A 東大 RCS 岡林 潤(東大) BL-18B インド DST Subhadip Chowdhury 029-	jun@chem.s.u-tokyo.ac.jp 879-6237 [2628] s.karmakar.vb@gmail.com
【共同利用ユーザーに	関するその他設備の担当者一覧】	
【共通設備】 X線準備室 生物試料準備室 生理試料準備室 結晶準備室・低温室 蒸着室 暗室 化学試料準備室 工作室 PF PF-AR		81) 化学薬品・特殊ガス 北島 (4279) 20) ボンベ 内田 (4599) 62) 液体窒素・液体ヘリウム 森 (4361) 20) 放射線安全 仁谷 (4900)

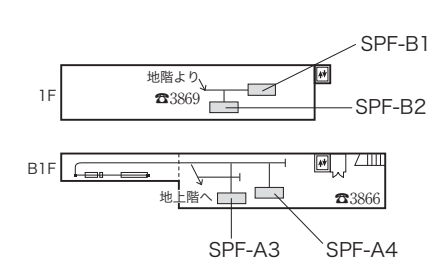
PF 平面図



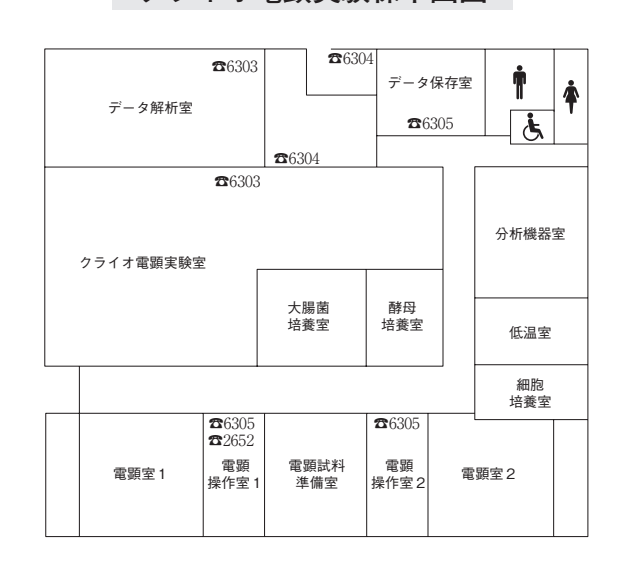
PF-AR 平面図



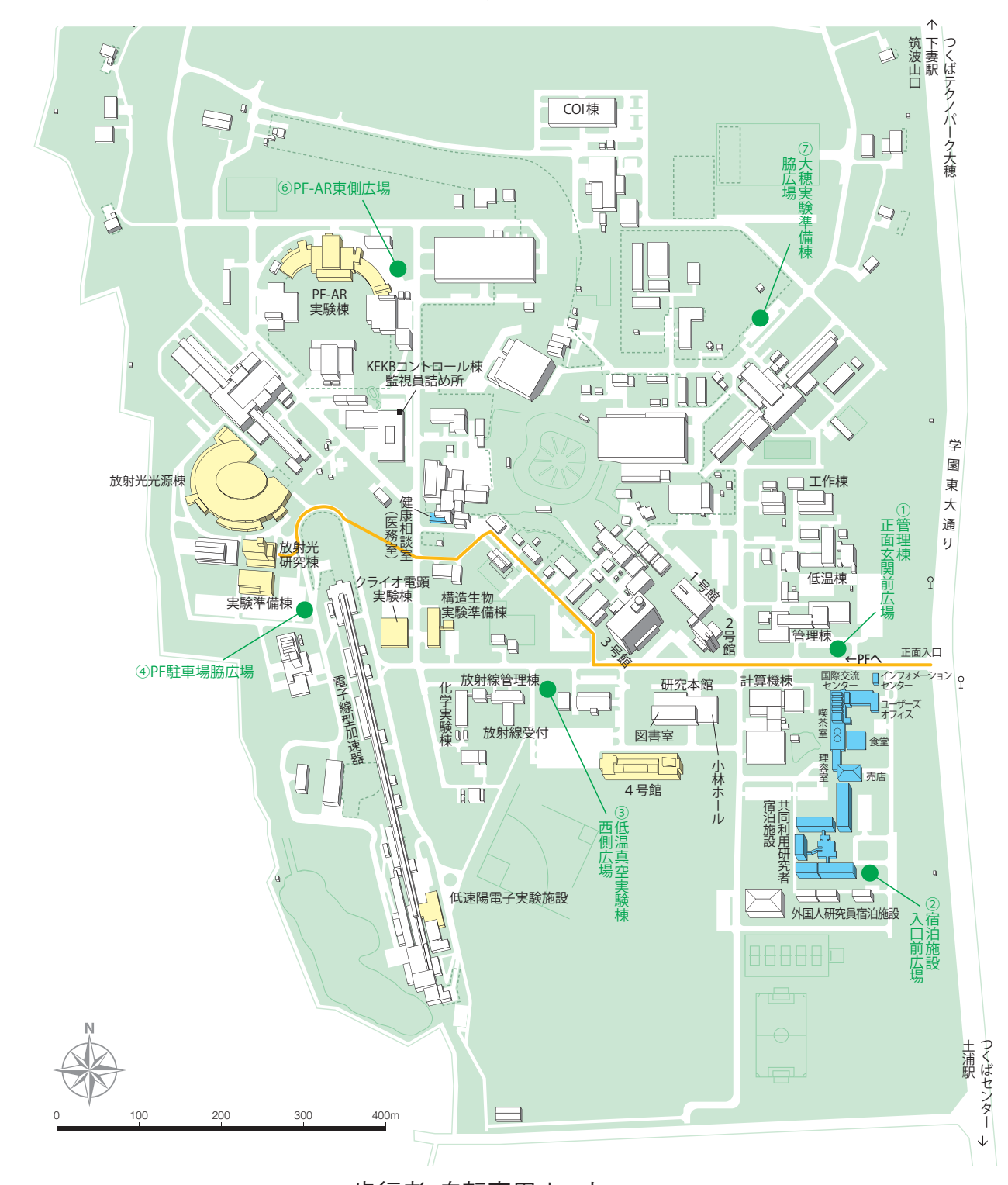
低速陽電子実験施設平面図



クライオ電顕実験棟平面図



高エネルギー加速器研究機構平面図



歩行者・自転車用ルート

緊急時避難場所 Emergency Assembly Area

非常の際は、運転当番 4209 インフォメーションセンター 3399



